

وزارة الجامعات
Ministère aux Universités

ECOLE NATIONALE POLYTECHNIQUE

DEPARTEMENT D'ELECTRONIQUE.

المدرسة الوطنية المتعددة التقنيات
BIBLIOTHEQUE — المكتبة
Ecole Nationale Polytechnique

PROJET DE FIN D'ETUDES

SUJET

ETUDE DE LA METHODE DES MOMENTS POUR LA

RECONNAISSANCE DES FORMES APPLIQUEE

AUX CARACTERES ARABES.

Proposé par : M^{me} = L. Hamami. Etudié par : M^{eur} = A. Merrouche Dirigé par : M^{me} = L. Hamami.

&

M^{eur} = S. Abdou.

PROMOTION

Juin 1991

**ETUDE DE LA METHODE DES MOMENTS POUR
LA RECONNAISSANCE DES FORMES APPLIQUEES
AUX CARACTERES ARABES**

Proposé par :
Mme HAMAMI

Etudié par :
**Mr A. MERROUCHE
Mr S. ABDOU**

DEDICACES

A la mémoire de notre regretté frère et ami
OUAHRANI MOHAMED

Je dedie ce travail :

A mes parents, pour les sacrifices consentis afin d'assurer mon avenir
A ma sœur
A mes frères
A ma famille
A mes amis

Sotiane

Je dedie ce mémoire :

A mes parents
A mon frère MOHAMED
A mes frères et sœurs
A tous mes proches
A mes amis

Ahmed

REMERCIEMENTS



On ne saurait présenter la présente étude sans exprimer nos remerciements :

- A tous les professeurs de l'ECOLE NATIONALE POLYTECHNIQUE qui ont contribué à notre formation, en particulier Madame HAMMAMI qui a bien voulu diriger cette étude.
- Au personnel du centre de calcul de l'ENP, qui n'a jamais hésité de mettre à notre disposition les moyens nécessaires pour l'élaboration de ce modeste travail.
- A tous ceux qui ont participé, de près ou de loin, à la réalisation de ce travail et trouveront ici l'expression de notre profonde gratitude.

Nous remercions également tous les membres du jury, qui ont bien voulu accepter de juger ce travail

RESUMES

الموضوع: دراسة طريقة المزوم للتعرف على الأشكال مطبقة على الحروف العربية. منضمين: في هذه الدراسة تم الجاز نظام للتعرف على الحروف العربية المعزولة. في المرحلة الأولى تم التطرق إلى طرق معالجة الصور و ضبط محيطها. انطلاقاً من إحداثيات المحيط تم التوصل على سلسلة من المزوم. برهن أن هذه المجموعة من الخصائص كافية لتصنيف الحروف العربية المعزولة.

Title : Recognition of isolated arabic characters by moments invariants.

Abstract : In this study a recognition system has been developed for the recognition of isolated arabic characters. In the first stage, methods of image processing and contour detection have been developed. After a succession of moments is obtained from the coordinates of contour points. This set of moments has proven to be sufficient for the classification of isolated arabic characters.

Titre : Etude de la methode des moments pour la reconnaissance des formes appliquee aux caracteres arabes.

Resume : Dans cette etude un système de reconnaissance a été développé pour la reconnaissance des caractères arabes isolés. Dans une première étape, des methodes de pretraitements et de detection de contours ont été développées. En fin une serie de moments est obtenue à partir des coordonnées des contours. Il a été montré que cet ensemble d'attributs était suffisant pour la classification des caractères arabes isolés.

SOMMAIRE

المدرسة الوطنية المتعددة التقنيات
المكتبة — BIBLIOTHEQUE
Ecole Nationale Polytechnique

INTRODUCTION :

DOMAINE D'APPLICATION	1
1 Reconnaissance des signaux d'origine humaine.....	2
1.1. Lecture optique-reconnaissance des caractères..	4
2 Reconnaissance des signaux d'origine naturelle.....	5

Ch I. CONFIGURATION MATERIELLE :

1. DESCRIPTION D'UN MATERIEL PROFESSIONNEL.....	7
2. CONFIGURATION UTILISEE.....	7
2.1 Description materielle.....	12
2.2 Organisation logicielle.....	13

Ch II. PRETRAITEMENT - AMELIORATION D'IMAGE :

1. MODIFICATION DE LA FORME D'HISTOGRAMME.....	17
1.1. Egalisation d'histogramme.....	17
1.2. Autre modification d'histogramme.....	19
1.3. Conclusion sur la methode des histogrammes.....	21
2. LE FILTRAGE :	
2.1. Introduction.....	21
2.2. Le filtrage lineaire.....	23
2.3. Le filtrage non lineaire.....	37
2.4. Conclusion sur le filtrage.....	41

Ch III. SEGMENTATION - EXTRACTION DES CONTOURS :

1. EXTRACTION DES CONTOURS.....	50
1.1. Definition des contours.....	51
1.2. Processus d'extraction.....	51
2. OPERATEURS DE DIFFERENTIATION.....	53
2.1. Le gradient.....	55
2.2. Le Laplacien.....	60
3. CONCLUSION SUR LA SEGMENTATION.....	61

Ch IV. BINARISATION ET OPERATEURS MORPHOLOGIQUES :

1. BINARISATION.....	70
2. OPERATEURS MORPHOLOGIQUES.....	71
2.1. Dilatation.....	72
2.2. Erosion.....	77
3. CONCLUSION.....	77

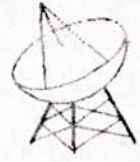
Ch V. RECONNAISSANCE :

1. EXTRACTION DES CARACTERISTIQUES.....	61
2. APPRENTISSAGE.....	85
3. RECONNAISSANCE ET DECISION.....	86
4. RESULTATS OBTENUS.....	89

CONCLUSION	95
------------------	----

ANNEXE 1 : PRINCIPALES PROCEDURES PASCAL REALISEES.....	97
ANNEXE 2 : PRISE EN MAINS DE LOGICIEL REALISE.....	115
ANNEXE 3 : BIBLIOGRAPHIE.....	119

المدرسة الوطنية المتعددة التقنيات
BIBLIOTHEQUE — المكتبة
Ecole Nationale Polytechnique



INTRODUCTION

La vision assistée par ordinateur (V.A.O), dans laquelle vient s'intégrer le traitement d'image, s'est affirmée comme un domaine de recherche privilégié. Le sens de la vue est celui qui nous apporte la plus grande quantité d'information sur ce qui nous entoure, du fait de la multiplicité de ses dimensions: spatiale, énergétique et temporelle. En effet, la vue constitue un moyen pour une machine (robot) de percevoir son environnement. Le problème de la vision consiste à identifier des formes visuelles simples à l'aide de méthodes algorithmiques de reconnaissance de formes, par exemple caractères imprimés d'un texte, objets bien localisés d'une scène, zones particulières sur une image de satellite, etc... Néanmoins, la compréhension véritable d'une scène ou d'une image nécessite d'aller au delà de ces méthodes, en se fondant sur un ensemble de connaissances propre au domaine d'application envisagé. C'est le cas d'interprétation d'images radiologiques en vue d'un diagnostic médical, de la compréhension d'un texte imprimé ou manuscrit, du contrôle de la qualité d'un objet sur une chaîne de fabrication, du guidage d'un véhicule autonome etc... Le traitement d'image a été la première application de l'intelligence artificielle sur les sites industriels.

Le terme V A O symbolise toute la chaîne visuelle, partant de l'image brute jusqu'à l'interprétation de son contenu. Il y existe donc un aspect décisionnel très important lors de la phase de compréhension, d'où l'interaction avec l'intelligence artificielle. Le traitement d'image s'intègre dans ce processus comme un outil, il n'a aucun pouvoir décisionnel et se définit comme un ensemble de tâches destinées à extraire de l'image des informations

qualitatives et quantitatives qui sont transmises au module de niveau supérieur. Ceci permet d'utiliser des langages de programmation classiques tels que le 'Pascal' ou le 'C' pour réaliser des algorithmes d'imagerie. Le système d'interprétation étant en général développé à l'aide de langages plus spécifiques tels que le Prolog ou Lisp. La Fig 1 montre les composantes d'une chaîne de reconnaissance visuelle.

Le capteur dépend du domaine d'application mais est essentiellement une caméra. Les prétraitements réalisent les tâches d'amélioration de l'image ainsi que la mise en évidence des points intéressants. L'extraction des caractéristiques a pour rôle de faire une description de l'image compatible avec la description des objets contenus dans la base de connaissances, celle-ci constitue la 'mémoire' du système de vision. Le terme d'objet est utilisé ici au sens large, dans notre cas il désigne un caractère. Enfin le système décisionnel, par comparaison des caractéristiques qui lui sont fournies et le contenu de la base de connaissance va effectuer la reconnaissance proprement dite. Il apparaît clairement que l'extraction de caractéristiques joue un rôle d'interface et est directement liée au choix du type de fonctionnement du système. Ce dernier caractérise l'aspect intelligent du système de vision par ordinateur.

DOMAINES D'APPLICATION DE LA R.F :

1 Reconnaissance des signaux d'origine humaine :

L'exemple le plus célèbre est celui de la parole dont les performances sont actuellement au stade de réalisation de

VISION PAR ORDINATEUR

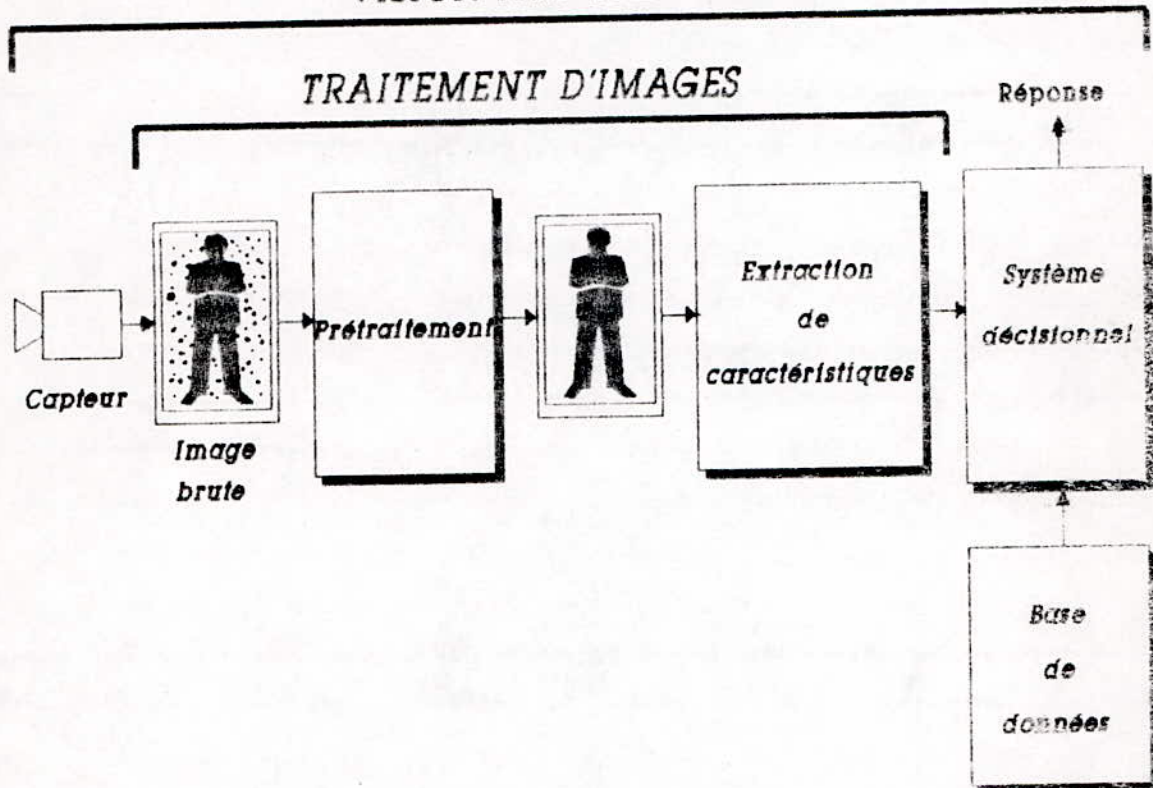


Fig 1. La chaîne de V . A . O

machine d'usage public capable de reconnaître des suites de mots choisis parmi plusieurs. Il ya aussi la reconnaissance du locuteur qui connaît de larges applications dans le domaine de la sécurité.

La RF a apporté une aide considérable dans les divers domaines notamment en médecine pour les diagnostics et dépouillements des signaux médicaux, tels l'électrocardiogramme l'électro-encéphalogramme, l'électrorétinogramme, l'analyse des chromosomes, mesure des débits sanguins, application à la psychologie. Cependant les applications les plus avancées concernent les images biomédicales : l'analyse des cellules sanguines, la cytologie (étude des segments d' A.D.N, comptage globulaire, étude des structure des virus, enzymes, comptage des grains de pollen), des cellule cérébrales, ...etc .

1.1 La reconnaissance des caractères (lecture optiques) :

Bien que les traitements d'information sont de plus en plus rapides, la saisie des données constitue un véritable obstacle aux performances des machines.

C'est pour éviter la création d'ateliers de saisie démesurés, que dès les années soixante, la reconnaissance optique des marques puis des caractères est apparu comme solution naturelle à l'automatisation des entrées massives de données. Cet autre signal important qu'est l'écriture est l'un des champs favori de la R.F, bien que les résultats restent médiocres comparés à la quantité de recherches effectuées dans ce domaine.

La complexité du problème réside dans l'infinie variabilité de l'écriture manuscrite. Cette variabilité constitue la cause essentielle des semi-échecs récoltés. Même l'être intelligent considéré comme modèle idéal n'est pas infailible : il commet 4% d'erreurs à la lecture d'un manuscrit à l'absence de contexte.

2 Reconnaissance des signaux d'origine naturelle :

Les mesures faites sur la terre, les photos satellites, les contrôles sismologiques, mesures de houle marine sont des exemples de tels signaux. Les applications sont diverses :

- Détection des ressources, météologie, prévision des phénomènes naturels, classement sur les images satellites (recherche des formes de routes, analyse de côtes marines et des rivières, etc...).

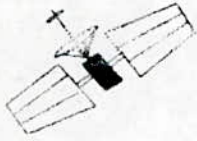
- En astronomie : connaissance des étoiles, étude des atmosphères planétaires, etc... .

- En physique des hautes énergies, les images de chambre à bulles sont traitées pour détecter et localiser des collisions particulières entre particules élémentaires, reconstitution des particules de trajectoires, etc...

- En industrie :

- * Vision robotique (reconnaissance des pièces mécaniques, analyse des composants organiques dans les produits alimentaires, analyse des circuits intégrés (V.L.S.I), contrôle de soudures, diagnostics de pannes, surveillance).

- * Télédétection : identification des espèces végétales, reconnaissances des roches etc...



CHAPITRE · I

CONFIGURATION MATERIELLE

Bien qu'étant encore au stade de développement, surtout au niveau industriel, le traitement d'image en général et la reconnaissance de formes en particulier commence à voir apparaître nombre de machines spécialisées. Celles-ci offrent l'avantage d'une architecture optimisée pour l'imagerie, ce qui leur procure une grande rapidité de traitement. Ces machines feront l'objet de ce chapitre.

1. DESCRIPTION D'UN MATERIEL PROFESSIONNEL :

Sa complexité peut-être très variable selon le domaine d'application. On peut pour cela séparer les utilisations du traitement d'images en deux domaines : celui où la contrainte du temps réel doit être impérativement satisfaite, et celui où le temps n'est pas un élément fondamental. La Fig I.1 illustre les différents éléments d'un système professionnel minimal, destiné au développement d'applications basées sur le traitement d'image. Examinons un par un chacun de ces constituants :

1.1. La caméra :

- Les cameras à tubes :

Elles sont composées d'une cible photoconductrice qu'explore un faisceau électronique. L'exploration s'effectue ligne par ligne. A chaque ligne correspond en sortie un signal analogique proportionnel à l'intensité.

- Les caméras CCD (Charge Coupled Device) :

Celles-ci sont constituées par un assemblage de photodiodes chacune d'elles délivrant une intensité

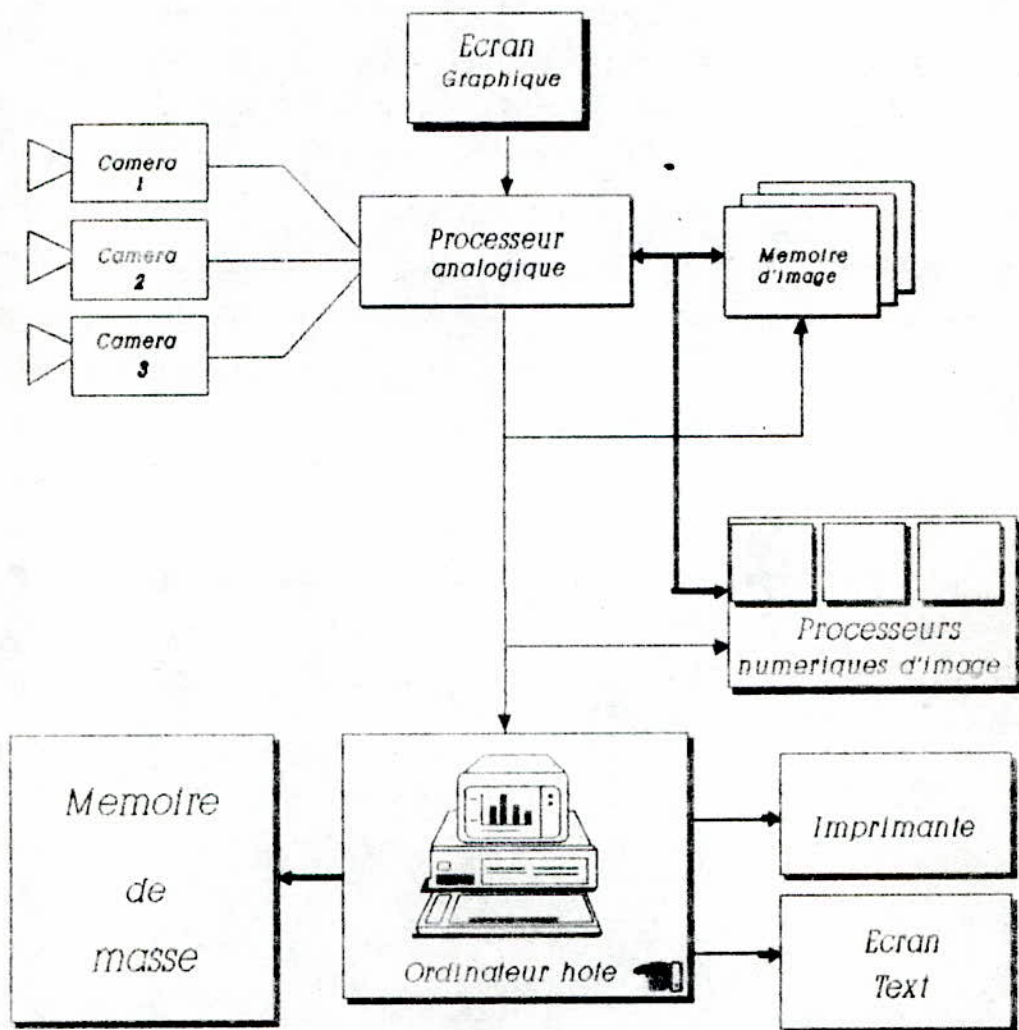


Fig I.1. Configuration matérielle d'un système professionnel.

proportionnelle à un point de l'image appelé *pixel*. Contrairement aux caméras à tubes qui fournissent un signal continu qu'il faut échantillonner spatialement pour isoler chaque pixel, les caméras CCD fournissent directement l'intensité pour chaque point de l'image puisque à chacun correspond une photodiode. On distingue deux familles de caméras CCD :

* *Les caméras matricielles* : Les photodiodes sont assemblées en une matrice de n lignes et p colonnes. Cette matrice peut-être carrée, les résolutions courantes sont alors 100×100 ou 256×256 , ou bien rectangulaires (300×512), ce qui correspond au rapport de $4/3$ d'un écran de télévision.

* *Les caméras unilignes* : Comme leur nom l'indique, les photodiodes y sont agencées suivant une seule ligne. Elles ont l'avantage de posséder une résolution supérieure (2048 points). L'obtention d'une image nécessite cependant le déplacement de la caméra afin d'acquérir plusieurs lignes, pour obtenir une image bidimensionnelle. Ce type de caméra est bien adapté à l'acquisition des documents; on déplace la feuille à vitesse constante perpendiculairement à la caméra et on fait une acquisition d'image suivant une période T .

1.2 Le processeur analogique :

Cet élément peut être considéré comme gestionnaire des entrées-sorties du système. Ses fonctions sont multiples :

- Sélection de la caméra active lorsque le système comporte plusieurs entrées et étalonnage du signal.
- Sélection de l'écran d'affichage si le système comporte plusieurs sorties.

- Acquisition du signal video effectuée par le digitaliseur: cet élément est fondamental, c'est en effet lui qui réalise l'échantillonnage spacial et le codage de l'image. L'échantillonnage correspond au découpage du signal en pixel. Nous pouvons constater que celui ci est dependant du type de cameras utilisées. Le codage correspond à la quantification de l'intensité de chaque pixel en une valeur numérique couramment appelée *niveau de gris (Gray level)*. Des codages classiques se font sur 16, 32, ou 64 bits, mais pour des raisons technologiques la valeur la plus utilisée est de 256, bien que l'œil humain ne soit pas capable de percevoir autant de nuances.

- Prétraitement de l'image lors de l'acquisition. Il s'agit généralement des opérations ponctuelles qui visent à améliorer le contraste de l'image.

1.3. La mémoire d'écran :

L'image, une fois numérisée, se présente sous la forme d'un tableau I de n lignes et p colonnes. Chaque élément $I(n,p)$ représente un pixel de l'image et à sa valeur est associée l'intensité du point qui est en général 0 pour le noir et N pour le blanc, avec $N = 255$ le plus souvent. Ce choix de 256 niveau s'explique par le fait que ce type de codage nécessite 8 bits par pixel, ce qui est une valeur commode. La mémoire d'écran se présente donc sous la forme d'une matrice de $n \times p$ cases de K bits chacune avec le plus couramment $n=p=256$ ou 512. Cette dernière valeur est la plus rencontrée car elle représente un compromis acceptable entre la définition spaciale de l'image et les temps nécessaires à son traitement. En fait, la mémoire d'image se résume rarement

à un seul tableau. En effet, il est pratique, parfois même indispensable de disposer de plusieurs matrices I_1, I_2, \dots, I_N pour effectuer un traitement. Par exemple dans I_1 se trouve l'image originale, dans I_2 une image intermédiaire et dans I_N l'image résultat.

Les échanges de données entre la mémoire d'image, le processeur analogique et le ou les processeurs spécialisés s'effectuent par l'intermédiaire d'un bus rapide.

1.4. Le processeur d'image :

Sous cette appellation se groupent un ou plusieurs processeurs spécialisés chacun pour une opération bien précise. On trouve des processeurs de filtrage, d'extraction de contours, d'opérations morphologiques etc... Une grande partie des algorithmes décrits dans cette étude sont disponibles sous forme *hardware*. Ils ont été conçus de manière à réaliser leurs traitements à grande vitesse : de l'ordre de la fréquence image, soit $1/25$ de seconde.

1.5. L'ordinateur hôte :

Il contrôle le fonctionnement décrit précédemment.

- *Le processeur analogique* : Choix de la camera, choix de l'écran de visualisation, commande d'acquisition d'image vers la mémoire d'image sélectionnée.

- *Les processeurs spécialisés* : Choix, paramétrage et lancement de l'algorithme à appliquer.

- *Les échanges mémoire de masse - mémoire d'image* : Sauvegarde d'images sur disque et vice versa.

Dans le cadre d'une application industrielle,

l'ordinateur hôte a pour rôle de piloter le système de traitement et de recueillir les informations issues de celui-ci afin d'engendrer la commande ou la décision appropriée.

Dans le cadre du développement d'un algorithme originale l'ordinateur hôte s'occupe de traitements. Dans ce cas la présence de processeurs numériques d'images dans le système n'est pas nécessaire.

1.6. La mémoire de masse :

Une image noir et blanc 512×512 sur 256 niveaux occupe 256 Ko, la même image en couleurs en occupe trois fois plus. Il est donc nécessaire de disposer d'une mémoire de masse importante.

2. CONFIGURATION DU SYSTEME UTILISE :

Il n'est cependant pas impératif de posséder le matériel décrit précédemment pour s'initier au traitement d'image pour la reconnaissance de forme. Cela en pose évidemment quelques limitations dans la représentation et la taille des images à traiter mais n'enlève rien quant à l'étendu des problèmes posés à leur compréhension.

2.1 Description matérielle :

Compte tenu des moyens disponibles, le matériel utilisé se compose de :

- Un micro-ordinateur de type compatible IBM PC/AT de 640 Ko de mémoire RAM.

- Une carte graphique VGAHi permettant une résolution de 640x480 sur 16 niveau de gris. Le rôle de la mémoire d'écran est joué par la carte graphique.

- Un écran couleur ou monochrome.

- Une unité de disquettes (3"1/2 ou 5"1/4), un disque dur.

- Une imprimante graphique permettant de garder la trace des images traitées afin de comparer les résultats.

2.2. Organisation logitielle :

Les programmes décrits ont été développés en Turbo Pascal 5.5. Ce langage s'est avéré puissant en temps de calcul et offre un graphisme de qualité.

Nous avons opté pour des images de taille 128x128, et ce pour deux raisons :

- Leur taille est modérée (16 Ko), ce qui permet de garder des temps de calcul raisonnables et rend possible l'utilisation de disques souples comme mémoire de masse.

- Il est possible d'afficher plusieurs images simultanément :

- * Carte CGA :Deux images.

- * Carte EGA :Huits images.

- * Carte VGA :Douze images.

On peut ainsi comparer le résultat d'un algorithme par rapport à l'image originale.

Nous pouvons remarquer l'absence dans notre système d'un digitaliseur. Il est donc impossible de travailler sur des images réelles. Ceci est loin d'être un inconvenient pour un apprentissage. De même, tout algorithme d'imagerie se doit d'être expérimenté au début sur des images simples et dont on connaît les caractéristiques. Cela permet d'analyser sans

ambiguïté les effets de l'opérateur. On utilise pour cela des images lues par scanner ou synthétiques générées à l'aide d'un éditeur graphique dont le principe est illustré par la procédure *CreedImage*.

Des procédures écrites en turbo pascal ont été développées illustrant tous les algorithmes qu'on étudiera. Ces dernières, ainsi que d'autres utilitaires, ont été intégrées dans un menu graphique. Cet environnement logiciel utilise le concept de fichier de travail.

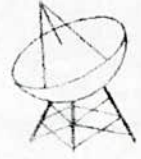
Les images générées par la procédure *CreedImage* sont sauvegardées dans des fichiers dont l'extension est ".LET". A la fin d'une transformation, l'image résultat garde le même nom avec une nouvelle extension représentant les trois premières lettres du nom de la transformation. Un manuel d'utilisation est donné en annexe 2. De manière analogue, pour le calcul des moments, le résultat est sauvegardé sous le même nom de fichier mais avec une extension ".MOM".

Les constantes utilisées par le logiciel sont les suivantes :

* *NIVMAX* : Correspond au niveau de gris le plus élevé que l'on peut avoir, soit 15 pour coder une image sur 16 niveaux.

* *MAXLIN* : Numéro de ligne le plus élevé dans l'image, soit 127 pour une image 128x128.

* *MAXCOL* : Numéro de colonne le plus élevé dans l'image, soit 127 pour une image 128x128.



CHAPITRE · II

PRETRAITEMENTS AMELIORATION D'IMAGE

Après digitalisation l'image brute acquiert une structure matricielle simple dans son organisation, mais complexe dans son contenu. Ceci est dû, d'une part à la grande quantité d'information qui y reside, d'autre part au grand nombre de processus, indépendant de l'utilisateur, qui tendent à y introduire des distortions indésirables donc à la dégrader. Parmi les éléments de perturbation on a :

- L'eclairage qui peut-être trop puissant et sature la caméra, ou bien trop faible et rendre l'image trop sombre.
- La qualité de la prise de vue.
- Le bruit électronique engendré par le système de prise de vue.
- Les défauts du système d'échantillonnage et de quantification.

L'amélioration d'image (*Image enhancement*) consiste en un ensemble de méthodes destinées à améliorer l'aspect visuel d'une image. L'ensemble des techniques ayant cette fonction fait de ce que l'on appelle :Les *prétraitements*, qui regroupent un ensemble de méthodes qui visent à atténuer les effets indésirables. Deux principales approches ont été envisagées pour améliorer une image.

- Les opérations basées sur l'examen de l'histogramme. Elles améliorent les défauts de prise de vue en jouant sur la dynamique de l'image.
- Le filtrage dont le but est de minimiser l'influence du bruit dans l'image.

1. MODIFICATION DE LA FORME D'HISTOGRAMME :

Dans une image naturelle qui a été quantifiée de manière linéaire, une majorité de pixels ont une valeur inférieure à la luminance moyenne. C'est pourquoi les détails dans les régions sombres sont difficilement perceptibles. Il est souvent donc nécessaire d'améliorer le contraste (accentuation des contours) et la dynamique de l'image; l'histogramme se prête à des opérations ponctuelles sur les pixels qui permettent des corrections artificielles, efficaces et spectaculaires.

1.1. Egalisation d'histogramme :

Elle consiste en une transformation qui recadre l'image de manière que l'histogramme de l'image résultat soit le plus proche possible d'une distribution uniforme.

Considérons l'image digitalisée sur N_i niveaux de gris, comportant p^2 pixels. Chaque pixel peut prendre une valeur aléatoire X_k de l'ensemble des niveaux de gris.

La fonction de répartition de X_k , notée $F(X_k)$ est définie comme étant la probabilité P_k pour que X_k prenne une valeur inférieure à a :

$$P_k(X_k < a) = F(a)$$

L'histogramme discret $P_k(X_k)$ (Voir Démo.II.1.2) est donné par :

$$P_k = \frac{F(X_k) - F(X_{k-1})}{p^2} = \frac{N_k}{p^2}$$

où: N_k est le nombre de pixels au niveau X_k ,
 p^2 est le nombre total de pixels dans l'image.

L'histogramme cumulé discret (Voir Démo.II.1.b) est donné par :

$$H_k = \frac{\sum_{i=0}^k n_i}{p^2} \quad [\text{ref } 2]$$

Si l'image résultat est codée sur N_F niveaux de gris, alors le nombre de pixels pour chaque niveau de l'histogramme égalisé idéal est constant, et est égale à p^2/N_F (car on a p^2 pixels dans l'image). Il est évident que le nombre de niveaux final N_F doit-être inférieur au nombre de niveaux initial N_i . (En général on prend $N_F=N_i/2$, qui est l'intégration minimale). L'histogramme final est donc séparé en bandes de taille N_i/N_F .

1.1.1. Méthode d'égalisation :

- Partant d'un niveau zéro, on calcule la valeur cumulée des niveaux suivants dans l'histogramme original, jusqu'à ce que la somme soit la plus proche possible de la valeur moyenne idéale p^2/N_F .

- Les niveaux de l'histogramme initial qui ont participé à cette somme sont remplacés par un niveau unique qui se trouve au centre de la première bande de l'histogramme final.

- On recommence en suite l'opération pour les bandes

suivantes. Notons que plus le nombre des niveaux N_f finaux est restreint, plus l'intégration est importante du fait de la valeur plus élevée de P^2/N_f .

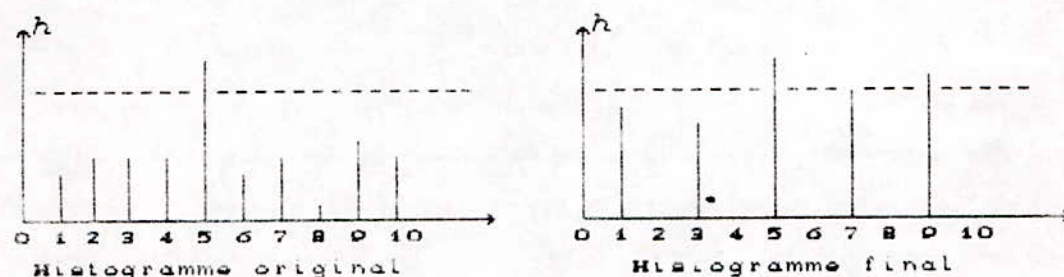


Fig II.1. Principe de l'égalisation d'histogramme.

1.1.2. Organigramme de la méthode :

Variables:

- Ima* : Image à égaliser.
- Histo* : Histogramme de l'image.
- Transfo* : Table d'égalisation.
- iDebut* : Fixe le début de la zone d'intégration sur Histo.
- Ifin* : Fixe la fin de la zone d'intégration.
- Bande* : Largeur de la bande finale N_i/N_f .
- CentreBande* : Fixe le centre de la bande courante.
- Cumul* : Somme des niveaux de gris.

Le schéma de l'organigramme est sur la Fig II.2.

1.2. Autre modification d'histogramme :

L'égalisation n'est pas la seule technique de transformation d'histogramme, on peut imaginer des transformations d'histogramme qui recadrent l'image de manière que l'histogramme final se rapproche d'une forme exponentielle

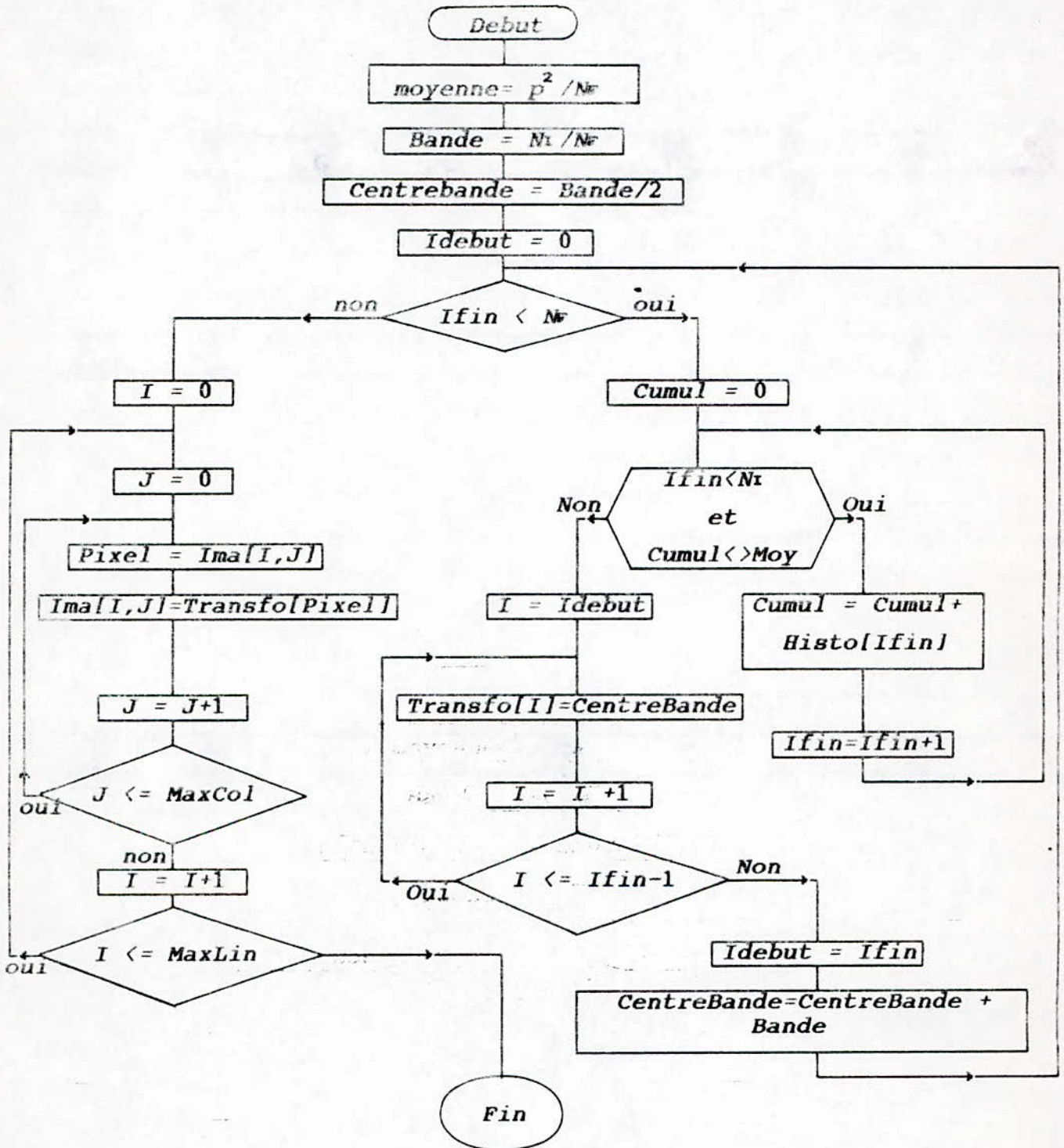


Fig II.2. Organigramme de la methode d'egalisation.

ou hyperbolique. Dans ce cas, la méthode décrite reste valable, les seuls changements interviennent dans le calcul de la valeur idéale. Celle-ci, au lieu d'être constante et égale à P^2/N_F , devient variable et suit l'équation de la courbe désirée.

1.3. Conclusion sur la méthode des histogrammes :

L'égalisation est la méthode la plus employée pour améliorer le contraste et renforcer la dynamique de l'image, les contours sont accentués, mais en même temps l'image prend un aspect dur et les bruits sont renforcés.

L'aspect dur de l'image égalisée est dû à la présence de fortes différences entre les différents pics de l'histogramme original. En effet, lorsqu'un pic est largement supérieur à la valeur moyenne idéale, il ne peut être divisé pour occuper plusieurs régions de manière arbitraire. Cela n'aurait pas de sens car cela signifierait qu'un niveau de gris initial pourrait avoir plusieurs niveaux de gris finaux. Ce pic de grande taille concerne donc un nombre de pixels qui pourraient occuper plusieurs bandes et qui finalement n'en occupe qu'une, d'où une contraction vers la gauche (zones sombres) de l'ensemble des pics suivants. *[ref 2]*

Dans le cas d'image binaire, l'égalisation n'apporte pas de changements.

2. LE FILTRAGE :

2.1. Introduction :

2.1.1. Le bruit, ennemi du signal image :

Dans de nombreux domaines scientifiques, le bruit joue un rôle fondamental. Il est à l'origine d'un grand nombre de difficultés lorsque l'on desire analyser un quelconque signal. Le bruit dans une image est le résultat du bruit électronique du capteur et de la qualité du digitaliseur. L'existence du bruit n'est pas seulement liée au matériel utilisé, mais aussi à l'image elle-même : zones de fort contraste, parties plus ou moins sombres, etc...

Dans une première approximation, on peut caractériser le bruit par un bruit dit *impulsionnel*. C'est à dire un bruit affectant de brusques variations des pixels isolés. Ce modèle permet de gérer de manière simple du bruit dans une image et a l'avantage d'être aisé à programmer en utilisant une fonction aléatoire paramétrée en amplitude et en densité. La densité va déterminer la proportion moyenne de pixels atteints par le bruit, l'amplitude va en déterminer le niveau. C'est le principe de la procédure *IntroBruit*. Celle-ci permet de donner un aspect plus réaliste à des images synthétiques et est très utile pour évaluer les performances des algorithmes de filtrage que nous étudierons.

2.1.2. Le filtrage :

Nous avons vu dans le paragraphe précédent, des techniques qui visaient à améliorer le contraste de l'image. Elles portaient le nom de *Transformations Ponctuelles* car chaque pixel était transformé indépendamment de la valeur de ses voisins.

Or l'image possède une certaine redondance spatiale : des pixels voisins ont généralement ou pratiquement les mêmes caractéristiques.

Nous avons défini le bruit comme un phénomène de brusques variations d'un pixel isolé par rapport à ses voisins.

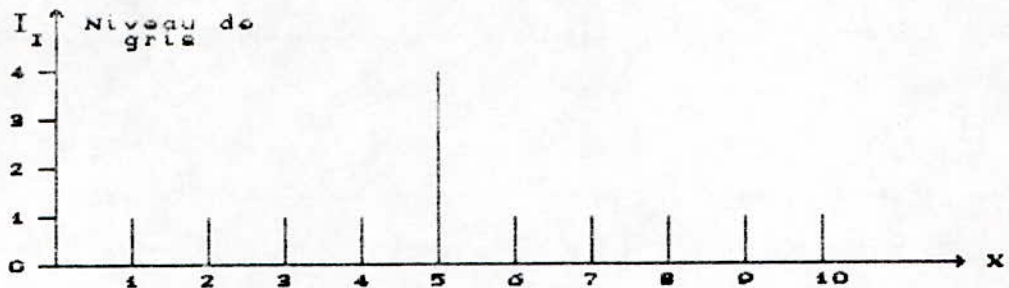
Ces considérations nous amènent à déduire que pour lutter contre les effets du bruit, il est nécessaire d'opérer des transformations qui pour chaque pixel tiennent compte de son voisinage. Dans ce but plusieurs techniques dites *Filtrage de l'image* sont utilisées. Le bruit considéré apporte une importante contribution au spectre hautes fréquences d'où l'utilisation de filtre passe bas. On distingue deux types de filtrage passe bas : *Le filtrage linéaire* où la transformation d'un pixel est le fruit d'une combinaison linéaire des pixels voisins, et *Le filtrage non linéaire* où les pixels voisins interviennent suivant une loi non linéaire.

2.2. Le filtrage linéaire :

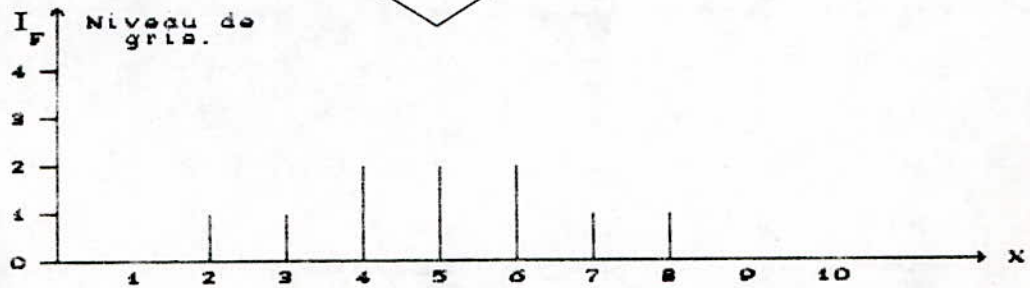
2.2.1. Introduction :

On désire filtrer une image bruitée, c'est à dire, si ce n'est éliminer complètement le bruit, du moins en diminuer sensiblement les effets. Une méthode simple consiste à considérer chaque point de l'image et d'en faire la moyenne avec les huit pixels qui lui sont voisins comme indiqué sur la Fig II.3 : C'est le principe du *filtre moyen*.

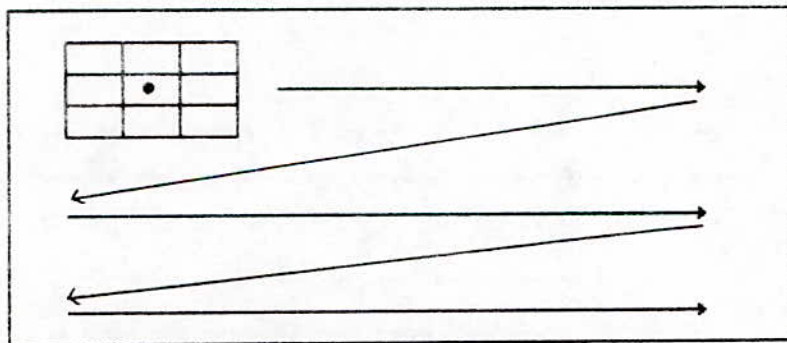
D'une façon générale, le filtrage spatial consiste en une convolution de l'image initiale I_1 avec un masque carré



.a.



$$I_F(x) = \frac{I_x(x-1) + I_x(x) + I_x(x+1)}{3}$$



.b.

$$I_F(x,y) = \frac{1}{9} \left[I_x(x-1,y-1) + I_x(x-1,y) + I_x(x-1,y+1) + I_x(x,y-1) + I_x(x,y) + I_x(x,y+1) + I_x(x+1,y-1) + I_x(x+1,y) + I_x(x+1,y+1) \right]$$

Fig II.3 : Principe du filtrage par moyenne.

(a) Cas unidimensionnel, (b) Cas bidimensionnel

dont les coefficients déterminent la nature du filtre utilisé. Partant d'une image initiale I_I sur laquelle on veut opérer un filtrage à l'aide d'un masque H de taille $(n+1)(n+1)$, dont la somme des coefficients est K , l'image finale s'écrit pour tout point x, y :

$$I_F(x, y) = \frac{1}{K} \sum_{i=-n/2}^{n/2} \sum_{j=-n/2}^{n/2} H(i+n/2, j+n/2) \cdot I_I(x+i, y+j)$$

2.2.2. Notion sur la convolution :

La formule précédente n'est autre que l'expression, en chaque point de l'image, d'un produit de convolution discrète et l'on peut écrire pour l'image entière.

$$I_F = H \otimes I_I$$

où " \otimes " symbolise l'opérateur de convolution.

H , est connu en traitement de signal comme étant ce que l'on appelle 'La réponse impulsionnelle du filtre'. Celle ci correspond à l'image obtenue en appliquant le filtre à une image composée d'un seul pixel sur fond noir (Impulsion de DIRAC :élément neutre de la convolution).

Nous venons de voir que le filtrage consiste en la convolution de l'image avec un masque appelé noyau (Kernel). La convolution est une notion très importante en traitement d'image, en particulier du fait d'une de ses propriétés concernat la transformée de Fourier.

Rappelons la définition de celle ci dans le cas continu

bidimensionnel:

$$\begin{aligned}g(w_x, w_y) &= \int_{-\infty}^{+\infty} \int_{-\infty}^{+\infty} G(x, y) \exp(-j(w_x x + w_y y)) dx dy \\ &= F[G(x, y)]\end{aligned}$$

où w_x, w_y sont les fréquences spatiales et ' j ' l'imaginaire pur de carré -1.

Une propriété fondamentale du produit de convolution par rapport à sa transformée de Fourier est :

$$F[H(x, y) \otimes I(x, y)] = F[H(x, y)] F[I(x, y)]$$

Donc la transformée de Fourier d'un produit de convolution est égale au produit simple des transformées de Fourier. On voit donc qu'un filtrage peut aussi être réalisé de la manière suivante, si H est le noyau et I l'image :

- On effectue séparément les transformées de Fourier de H et de I .
- On multiplie ces deux transformées.
- On applique au produit la transformée de Fourier inverse, on obtient ainsi l'image filtrée.

Ce type de filtrage dit fréquentiel, revient cher car il faut, par transformée de Fourier, passer de I, H à i, h , et par la transformée de Fourier inverse passer du produit $(i.h)$ à l'image finale I_f . [ref 2]

2.2.3. Effet de bord :

Jusqu'à présent nous n'avons pas parlé des problèmes liés au bords de l'image. En effet, si l'on applique par exemple un filtre H au point de l'image de coordonnées $(0,0)$, nous voyons que ceci n'est pas possible puisque le filtre fait alors appel à des points de coordonnées négatives qui n'appartiennent pas à l'image. De manière générale, pour un filtre de taille $(n+1)(n+1)$, il y a tout autour de l'image un cadre d'épaisseur $n/2$ où le filtre n'est à priori pas applicable (Voir Fig II 4.a). Les différentes possibilités sont alors :

- Filtrer uniquement la partie intérieure de l'image variant de $n/2$ à $p-n/2$. L'image résultat est alors de taille $(p+1-n)(p+1-n)$. C'est la possibilité que nous avons utilisée pour nos procédures de filtrage.

- Réaliser un effet dit de miroir. On ajoute autour de l'image initiale un cadre d'épaisseur $n/2$ dans lequel on recopie les $n/2$ lignes du bord de l'image comme illustré sur la Fig II.4.b. Dans ce cas l'image résultat est de taille $p \times p$.

- On reprend la méthode précédente mais on remplit le cadre de 0. Voir Fig II.4.c.

2.2.4. Filtre moyen :

2.2.4.1. Principe :

Ce type de filtre utilisant la moyenne non pondérée des voisins peut être mis sous la forme d'un masque tel que celui

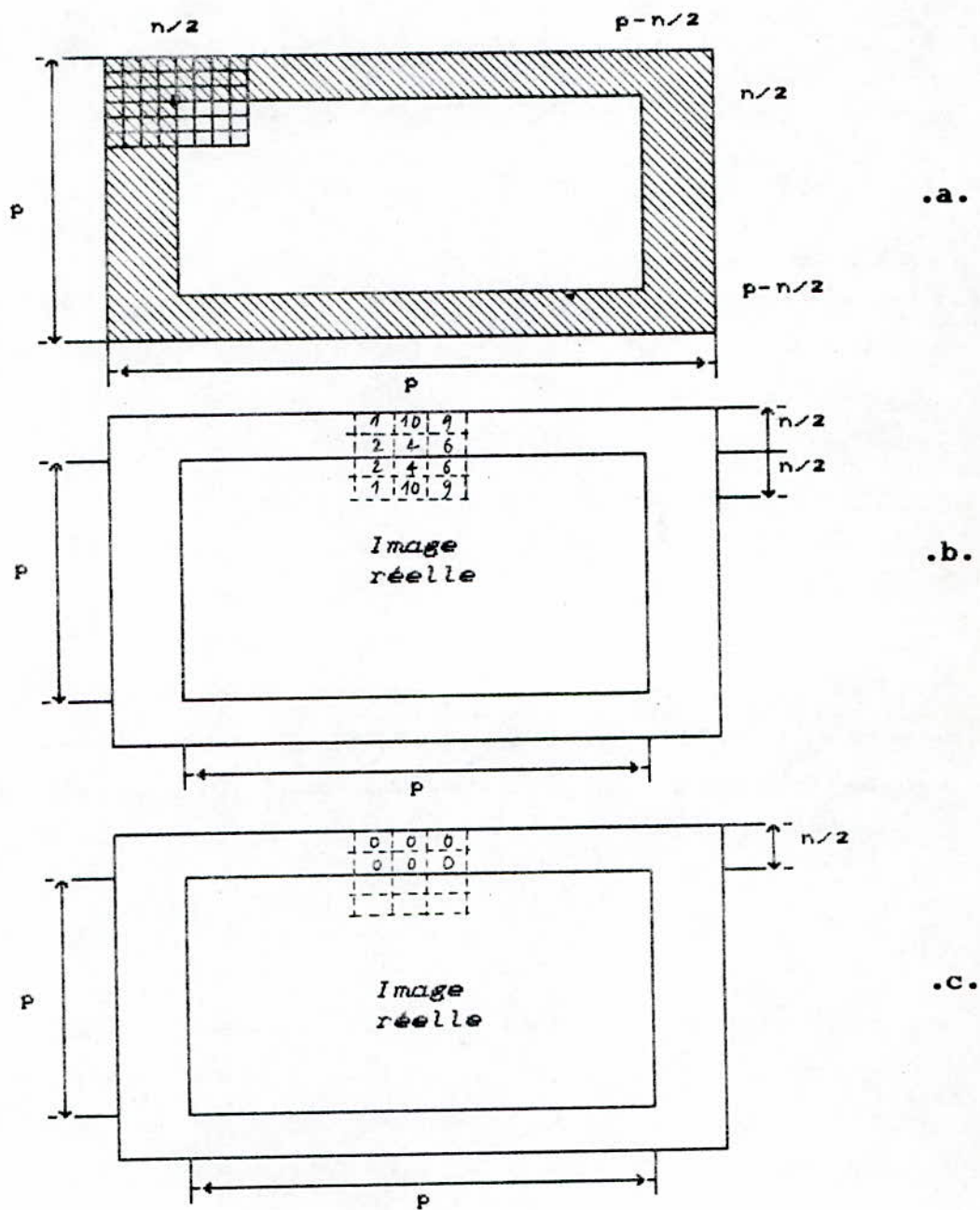


Fig II.4. Résolution des effets de bords
 (a) Domaine d'utilisation du filtre, (b) Effet de miroir,
 (c) Mise à zéro de la couronne.

ci :

$$H_1 = \frac{1}{9} \begin{pmatrix} 1 & 1 & 1 \\ 1 & 1 & 1 \\ 1 & 1 & 1 \end{pmatrix}$$

On va alors déplacer ce 'masque' sur toute l'image, le pixel affecté par la transformation étant le pixel central du masque. Le facteur $1/9$ est égal à la somme des coefficients du masque et sert à normaliser le filtre de manière que celui-ci n'influe pas sur l'intensité globale de l'image. Nous avons alors pour chaque pixel de coordonnées x, y :

$$I_F(x, y) = \frac{1}{9} \sum_{i=-1}^1 \sum_{j=-1}^1 H_1(i+1, j+1) I_i(x+i, y+j)$$

Ce filtrage est la technique la plus directe pour adoucir une image trop heurtée dans ses contours par manque de dégradés ou abimée par un bruit à haute fréquence. Mais crée du flou sur les bords d'objets et autres détails à fort gradient d'intensité. (Voir Démo.II.2)

D'autres filtres ont été réalisés en utilisant des coefficients de pondération différents. Par exemple :

$$H_2 = \frac{1}{10} \begin{pmatrix} 1 & 1 & 1 \\ 1 & 2 & 1 \\ 1 & 1 & 1 \end{pmatrix} \quad H_3 = \frac{1}{16} \begin{pmatrix} 1 & 2 & 1 \\ 2 & 4 & 2 \\ 1 & 2 & 1 \end{pmatrix}$$

Le filtre H_2 donne plus de poids au pixel central, ce qui le rend moins actif que le filtre H_1 , le filtre H_3 privilégie

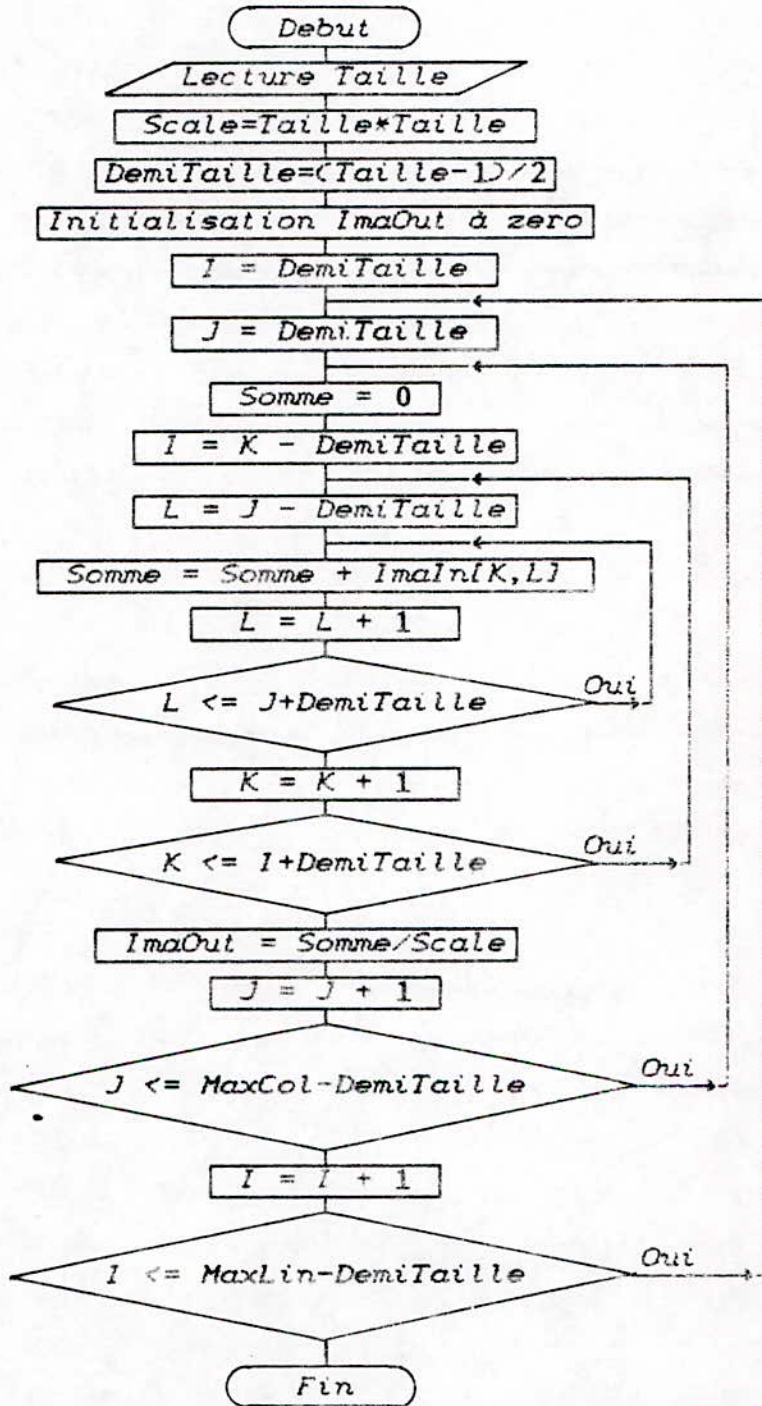


Fig II.5. Organigramme du filtre moyen.

les directions X et Y. Plus la taille du filtre est large plus le filtrage est important mais aussi plus l'image filtrée perd de sa netteté. [ref 8]

2.2.4.2. Organigramme :

Variables :

ImaIn : Image Initiale.
ImaOut : Image finale.
Taille : Taille du filtre.
DemiTaille : Demi taille du filtre.
Scale : Somme des coefficients du filtre.
Somme : Somme des produits.

Le schéma de l'organigramme est sur la Fig II.5.

2.2.5. Filtre de Gauss :

2.2.5.1. Principe :

Il existe une grande variété de filtres plus au moins utilisés, et il serait fastidieux de vouloir tous les décrire. Le filtre de Gauss représente l'un des filtres linéaires les plus utilisés, vue sa facilité de mise en œuvre et la bonne qualité de ses résultats. Ce filtre tire son nom de la valeur de ses coefficients qui sont ceux d'une courbe de Gauss à deux dimensions.

Rappel : courbe de Gauss à une dimension :

L'équation de la courbe de Gauss s'écrit [ref 6] :

$$G(x, \sigma) = 1 / \left[\sqrt{2\pi} \sigma \right] \exp \left[- \frac{x^2}{2\sigma^2} \right]$$

Cette courbe est positive, symétrique (Voir Fig II.6), et possède les propriétés suivantes :

$$\int_{-\infty}^{+\infty} G(x, \sigma) dx = 1$$

$$\int_{-2\sigma}^{+2\sigma} G(x, \sigma) dx = 0.95$$

$$\int_{-3\sigma}^{+3\sigma} G(x, \sigma) dx = 0.999$$

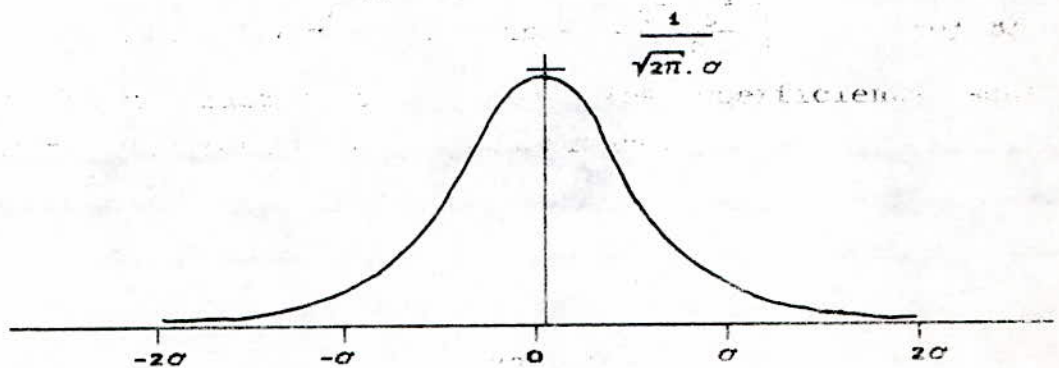


Fig II.6. Courbe de Gauss à une dimension.

Cas bidimensionnel - Calcul du filtre

Un filtrage gaussien consiste en la convolution d'une image I_1 avec une gaussienne $G(x, y, \sigma)$:

$$I_F = I_1 \otimes G$$

avec

$$G(x, y, \sigma) = 1 / \left[\sqrt{2\pi} \sigma \right] \exp \left[- \frac{x^2 + y^2}{2\sigma^2} \right] \quad [\text{ref 8}]$$

où G est un masque carré dont les coefficients sont les éléments discrétisés de la gaussienne.

Comme le masque est de taille $(n+1)(n+1)$ finie et que la courbe de Gauss est définie de moins l'infini à plus l'infini, il est nécessaire d'en prendre une portion finie. Or nous avons vu dans le précédent paragraphe que pour une largeur de 4σ , nous avons 95% de la courbe, et 99.9% pour 6σ . Il faut donc, pour obtenir une bonne approximation choisir un masque G de taille N égale à au moins 4σ .

Un rapide calcul montre que pour un masque de taille $N \times N$ pixels, il faut réaliser $N^2 = 36\sigma^2$ multiplications, et $N^2 - 1 = 36\sigma^2 - 1$ additions par point de l'image pour effectuer la convolution. Donc le temps de calcul est proportionnel au carré de la taille du filtre, ce qui peut devenir prohibitif pour un filtre de grande taille.

Or la fonction $G(x, y, \sigma)$ est séparable, c'est à dire qu'elle est réalisable soit par une convolution par un filtre $N \times N$, soit par une succession de deux convolutions par des filtres de tailles $N \times 1$.

En effet, si F représente la transformée de fourrier. La convolution est :

$$I_F = I_I \otimes G$$

d'où :

$$F(I_F) = F(I_I) \cdot F(G)$$

$$\begin{aligned} &= F(I_I) \cdot 1 / \left[\sqrt{2\pi} \sigma \right] \int_{-\infty}^{+\infty} \int_{-\infty}^{+\infty} \exp\left[-\frac{x^2 + y^2}{2\sigma^2}\right] e^{-j(w_x x + w_y y)} dx dy \\ &= F(I_I) \cdot 1 / \left[\sqrt{2\pi} \sigma \right] \int_{-\infty}^{+\infty} \exp\left[-\frac{x^2}{2\sigma^2}\right] e^{-jw_x x} dx \int_{-\infty}^{+\infty} \exp\left[-\frac{y^2}{2\sigma^2}\right] e^{-jw_y y} dy \\ &= F(I_I) \cdot F(G_x) \cdot F(G_y). \end{aligned}$$

Il vient :

$$I_F = I_I \otimes G_X \otimes G_Y$$

Nous voyons donc que l'on obtient un résultat identique en convoluant l'image I_I successivement par deux filtres de taille $N \times 1$. Le premier filtre convolue l'image par une gaussienne à une dimension suivant X, le résultat obtenu est convolue suivant Y par un filtre dont les coefficients sont identiques au premier afin de ne pas introduire de distorsions spatiales dans le filtrage. Le processus est résumé sur la Fig.II.7 . On peut toutefois noter que l'ordre des convolutions est indifférent. [ref 8]

Le temps de calcul est alors pour chaque filtre de 6σ multiplication est $6\sigma-1$ additions par pixel de l'image, soit un total pour le filtrage de 12σ multiplications et $12\sigma-2$ additions par pixels. Nous voyons donc que dans ce cas le temps de calcul est linéaire en fonction de N , ce qui est un avantage indéniable.

2.2.5.2. Calcul des coefficients du filtre :

On procède de la manière suivante :

- Choix de $N=6\sigma+1$, taille du filtre en pixels
- Calcul de $\alpha=(N-1)/6$
- Pour i variant de 0 à $N-1$ on calcule

$$N(i) = \left[\frac{1}{\sqrt{2\pi} \sigma} \right] e^{-\left[\frac{(i-(N-1)/2)^2}{2\sigma^2} \right]}$$

2.2.5.3. Choix de la taille du filtre :

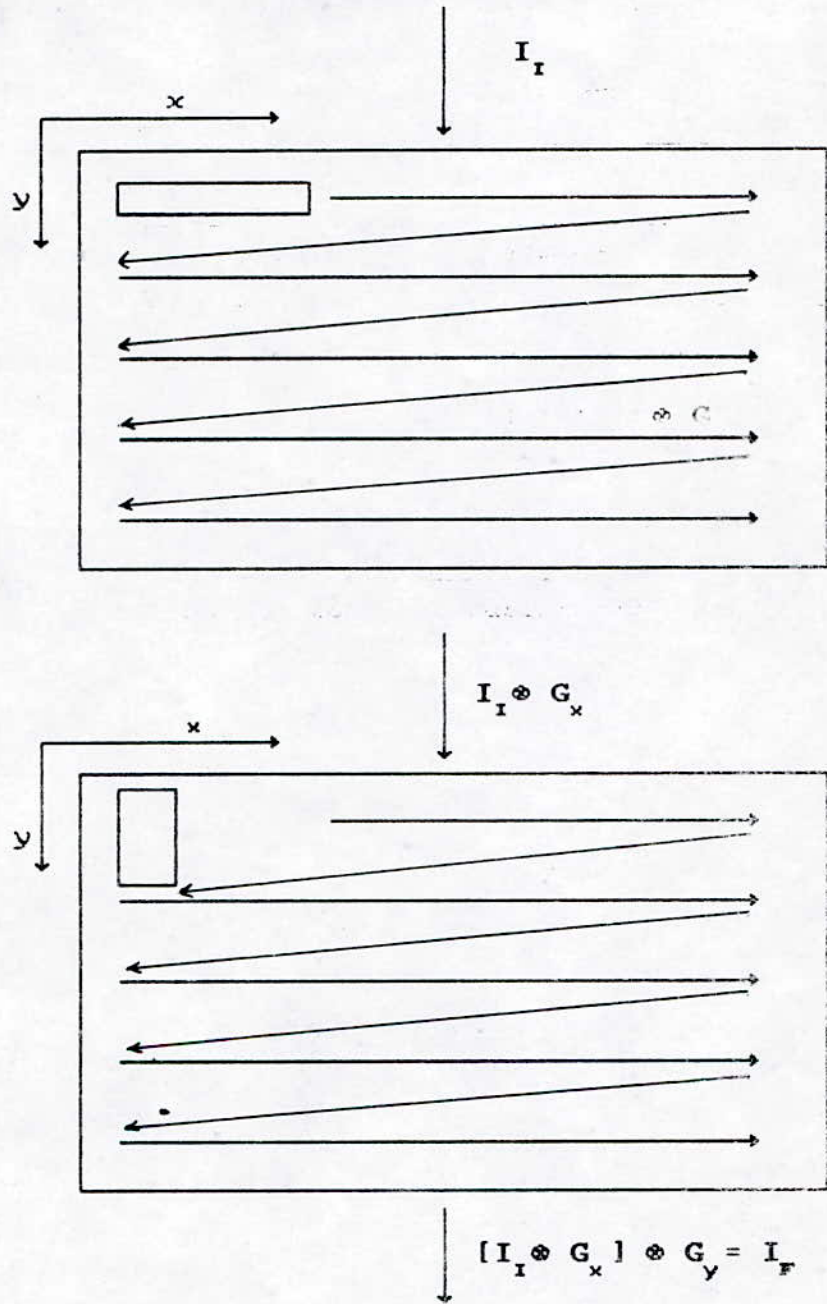


Fig II.7 : Principe de la convolution par une succession de deux filtres unidimensionnels.

Nous avons vu que, plus la taille du filtre d'un filtre est importante plus l'image filtrée est floue, donc plus puissants sont ses effets (Voir Démo.II.3). Lorsqu'un fort filtrage est nécessaire, il faut donc choisir une valeur élevée de N . Or considérons la transformée de Fourier du filtre, soit [ref 8]:

$$g(\omega) = F[G(x, \sigma)] = \exp\left(-\frac{\sigma^2 \omega^2}{2}\right)$$

et considérons un ensemble G_i de filtres gaussiens :

$$G_i(x, \sigma_i) = 1/\left[\sqrt{2\pi} \sigma_i\right] \exp\left[-\frac{x^2}{2\sigma_i^2}\right]$$

La TF du produit de convolution est :

$$F\left[\prod_{i=1}^N G_i(x, \sigma_i)\right] = \prod_{i=1}^N \left[e^{-\frac{\sigma_i^2 \omega^2}{2}}\right] = e^{-\frac{\omega^2}{2} \sum_{i=1}^N \sigma_i^2}$$

en posant $\sigma^2 = \sum_{i=1}^N \sigma_i^2$, l'expression précédente s'écrit :

$$F\left[\prod_{i=1}^N G_i(x, \sigma_i)\right] = F[G(x, \sigma)] = e^{-\frac{\omega^2}{2} \sigma^2}$$

En appliquant la transformée de Fourier inverse, il vient :

$$\prod_{i=1}^N G_i(x, \sigma_i) = G(x, \sigma)$$

Donc un filtre Gaussien ayant une fenêtre de grande taille peut être décomposé en une cascade de filtres gaussiens de taille plus petite.

2.2.5.4. Organigramme du filtre :

Variables :

TailleFiltre.....: Taille du filtre.
DemiTaille.....: Demi taille du filtre.
Sigma.....: Variance.
Filtre.....: Vecteur des coefficients du filtre.
Somme.....: Somme des coefficients.
Ima.....: Image initiale qui recevra les résultats.
ImaTemp.....: Image intermediaire.

Le schéma de l'organigramme est sur la Fig II.8.

2.3. Le filtrage non lineaire :

Ce type de filtrage, s'oppose au précédent dans sa dénomination car il n'est pas le resultat d'une combinaison lineaire de pixels.

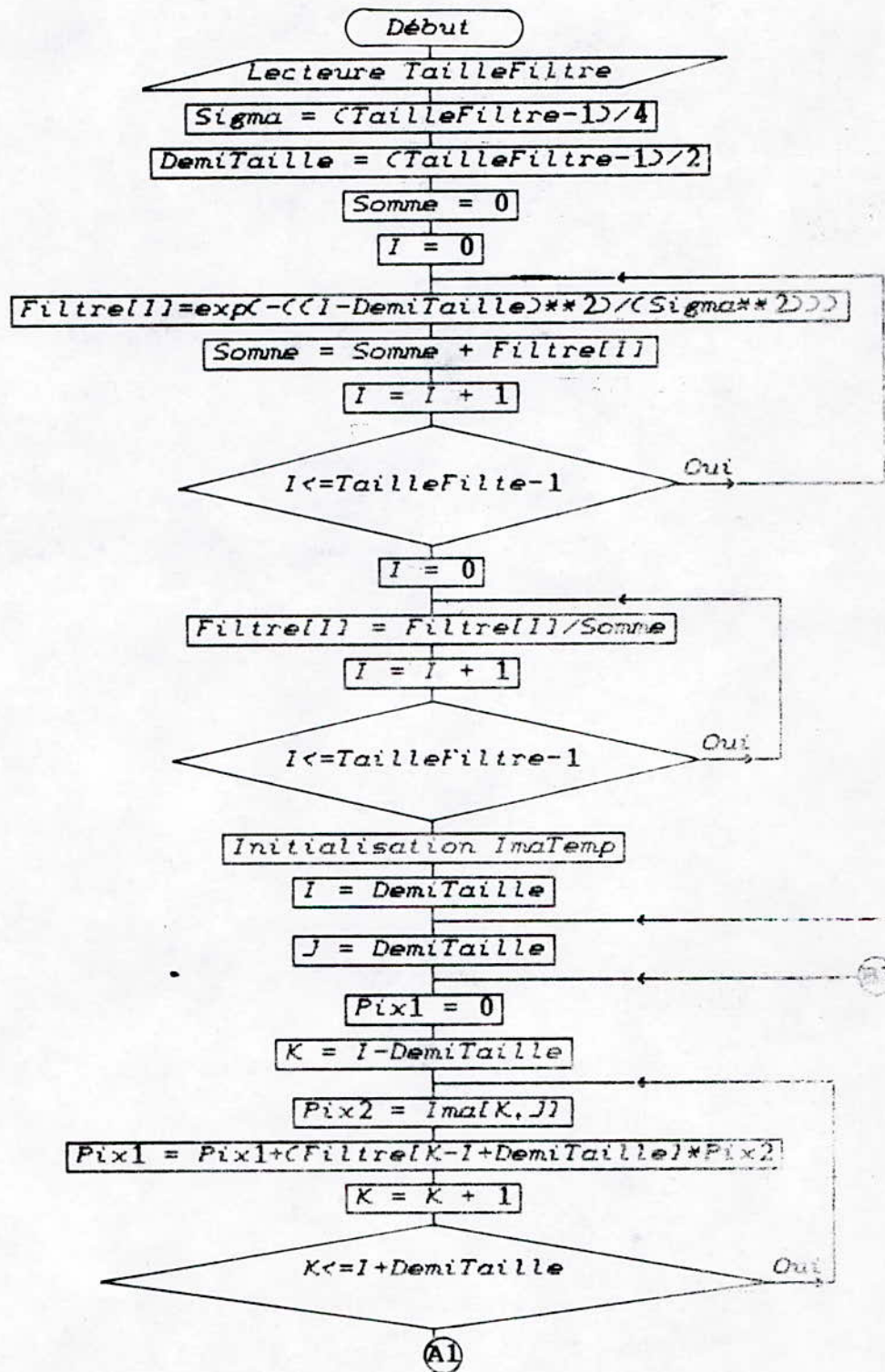
2.3.1. Le filtre median :

L'exemple le plus classique du filtrage non lineaire est le *filtre median de Tuckey*. Son principe est illustré sur la figure II.9 et il peut-être decomposé selon les étapes suivantes :

Pour chaque pixel de l'image :

- On classe les pixels voisins du pixel courant (compris dans la fenêtre) par valeurs croissantes;
- On prend la valeur médiane des pixels classés et on l'affecte au pixel courant.

2.3.2. Taille et forme du filtre median :



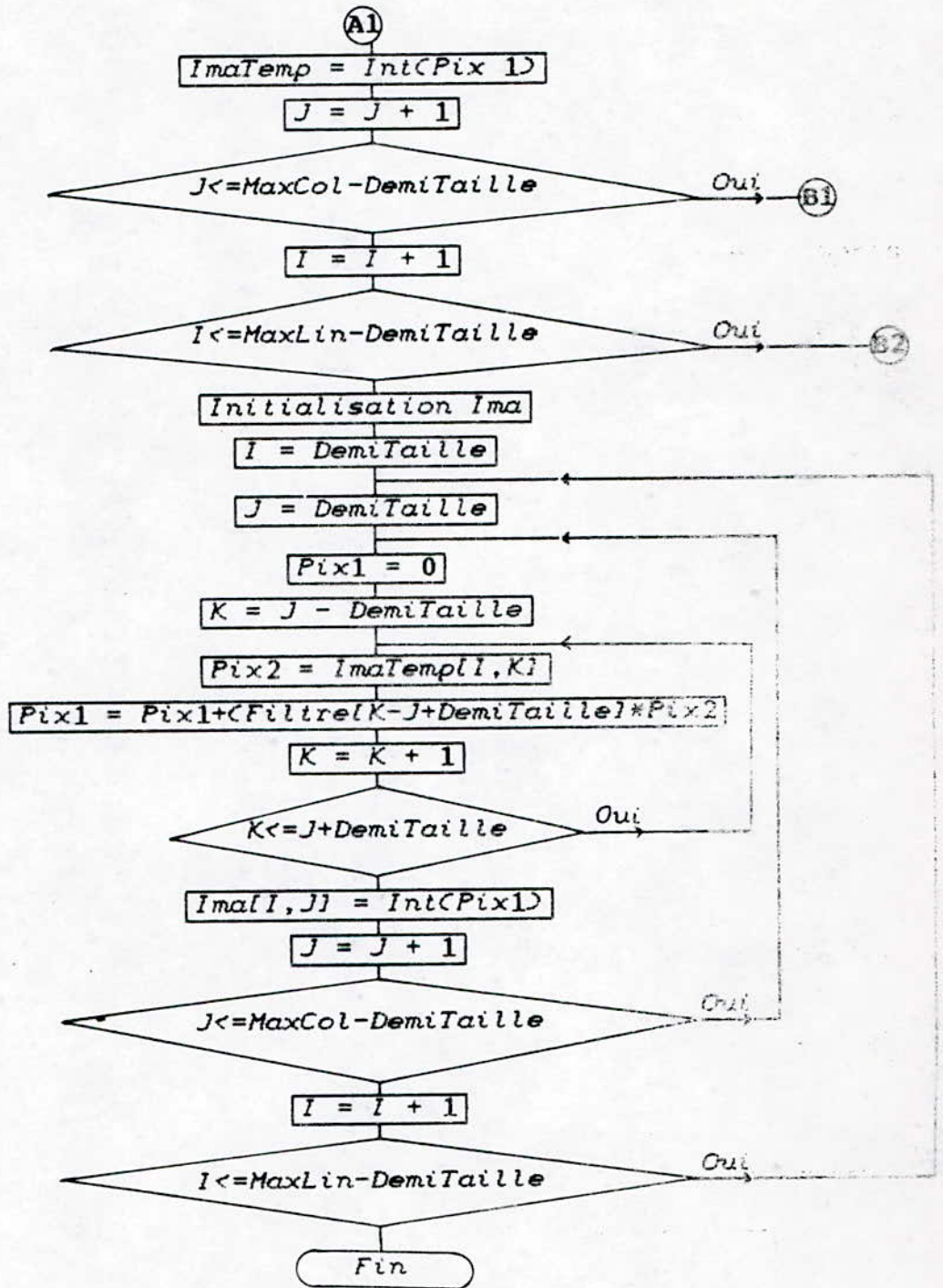


Fig II.8 : Organigramme du filtre de GAUSS.

Plus la taille du filtre est grande plus le filtrage peut paraître efficace, mais plus il déforme l'image sans pour autant adoucir son contraste. En fait, le filtre median est efficace lorsque l'image est dégradée par une source de bruit de type impulsionnel (neige), donc lorsqu'on assiste à des variations brusques de pixels isolés. En contre partie ce filtre introduit une petite perte de résolution. (Voir Démo.III.4)

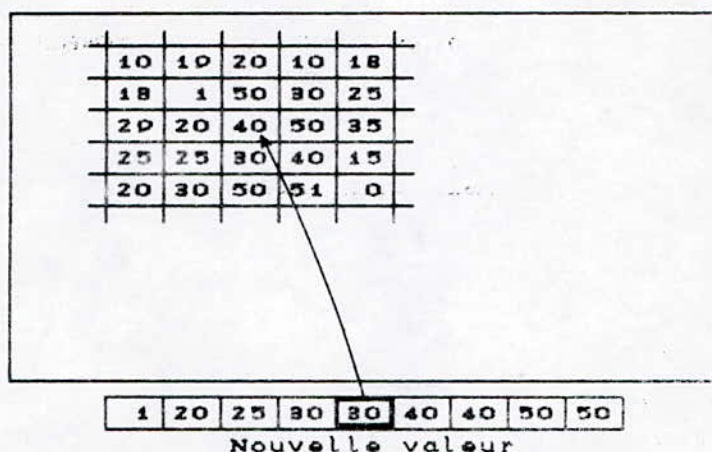


Fig II.9. : Principe de fonctionnement du filtre median.

D'autres masques en forme de croix, a été préféré au masque carré classique, engendrant moins de déformations, tout en étant aussi efficaces vis à vis des perturbations agissant sur des pixels isolés. (voir Fig II.10).

2.3.3. Organigramme du filtre median :

Variables :

ImaIn : Image initiale.

ImaOut : Image finale.
Tri : Table des tris.
EndTri : Variable booléenne.

L'organigramme est sur la Fig II.11.

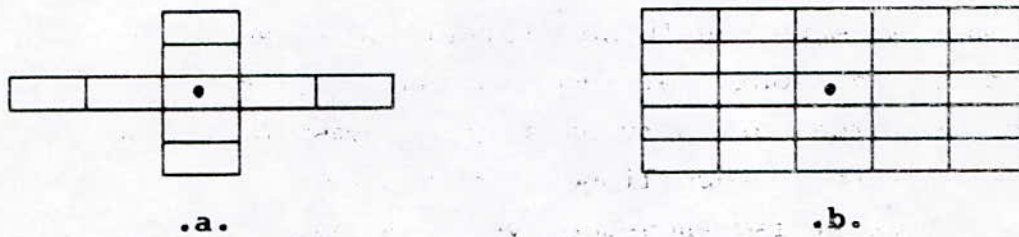
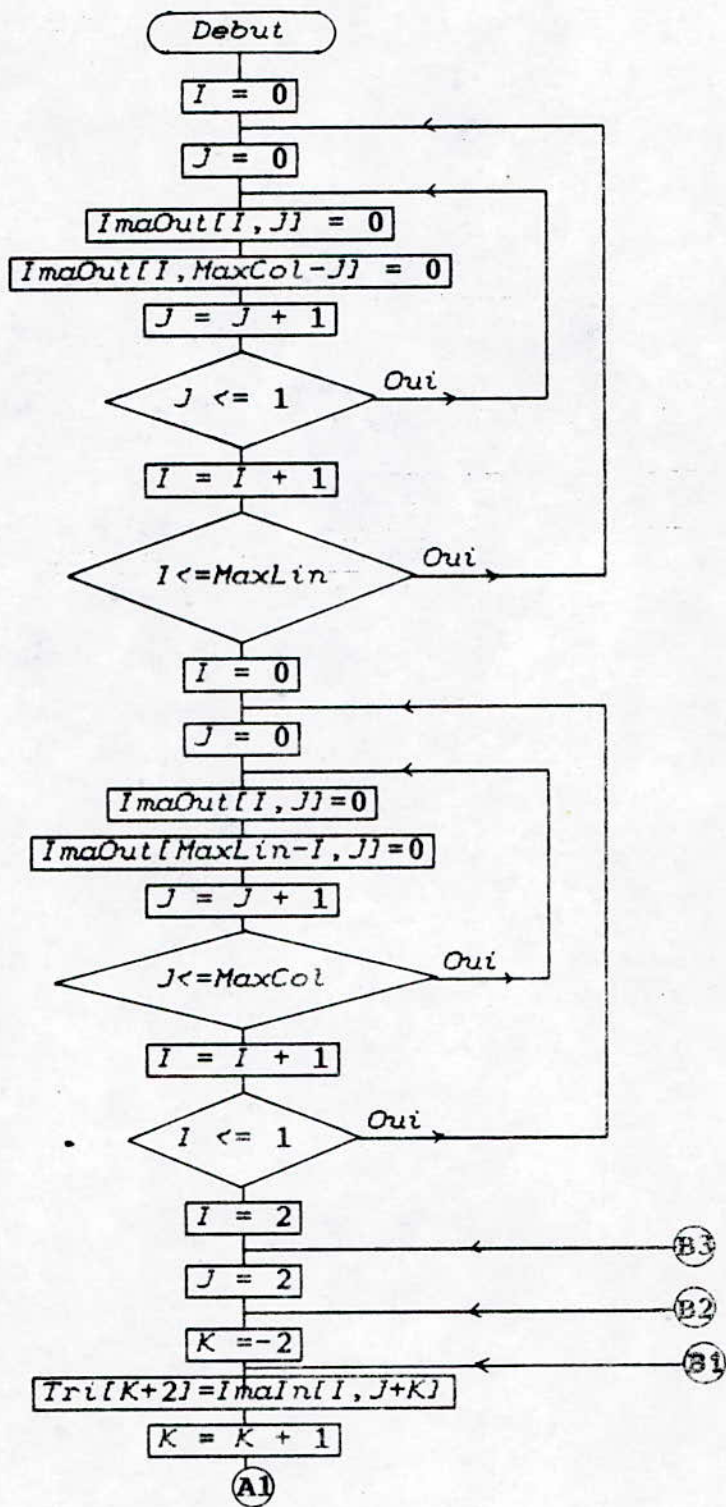


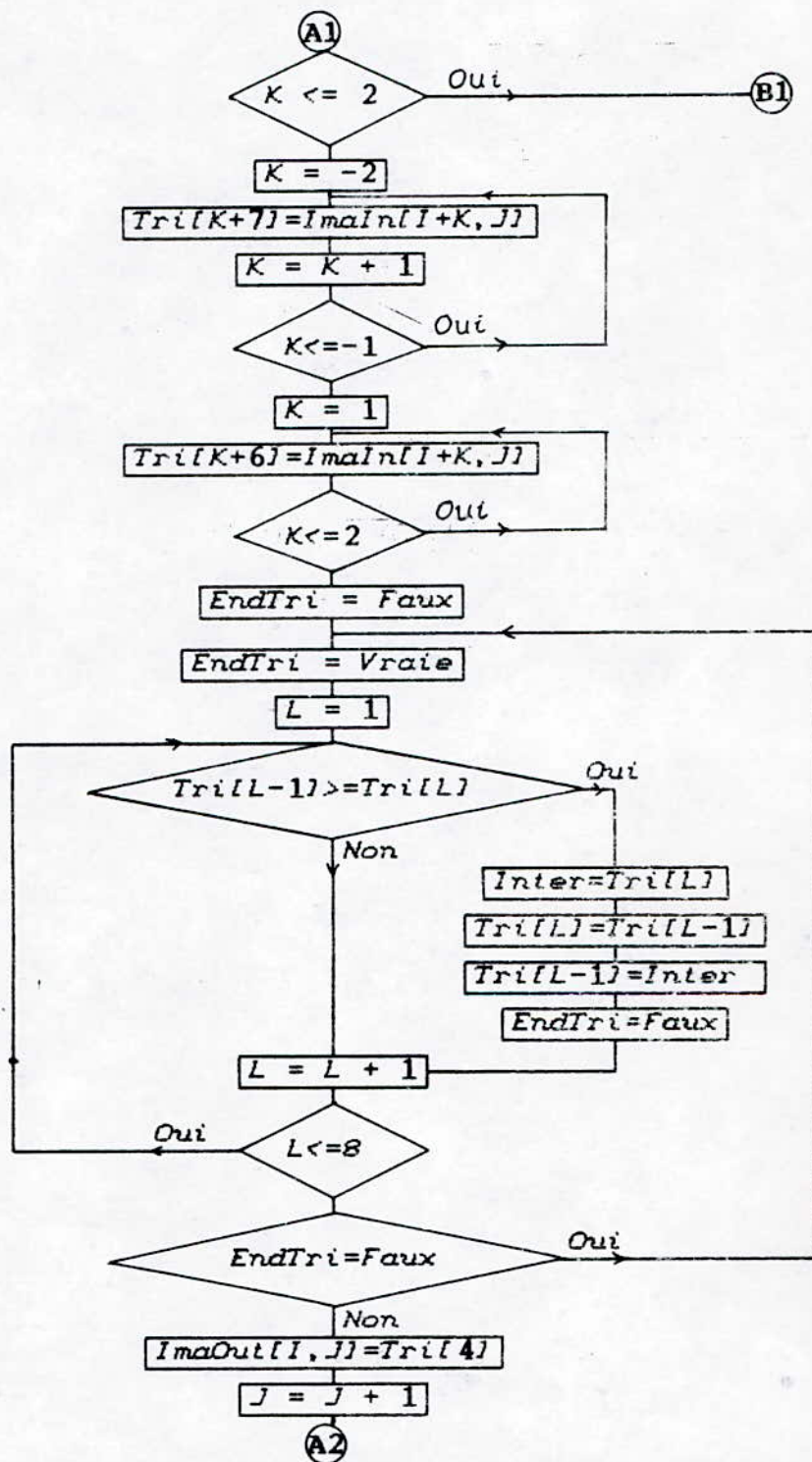
Fig II.10. : Masques utilisées par le filtre median. a: Masque en croix, b: Masque carré.

2.4 CONCLUSION SUR LE FILTRAGE :

Cet important paragraphe nous a permis de voir qu'il existe deux techniques pour filtrer une image : la première dans le domaine fréquentiel avec les filtres passe-bas et passe-haut qui font appel aux FFT; la deuxième dans le domaine spatial avec les techniques de masquage qui s'appuient sur les propriétés de la convolution d'une image par une fenêtre.

Pour finir, notons que pour les images bruitées binaires c'est-à-dire à gamme de gris réduite au noir ou blanc, il existe des techniques spécifiques dites *Opérateurs morphologiques* que nous développerons par la suite.





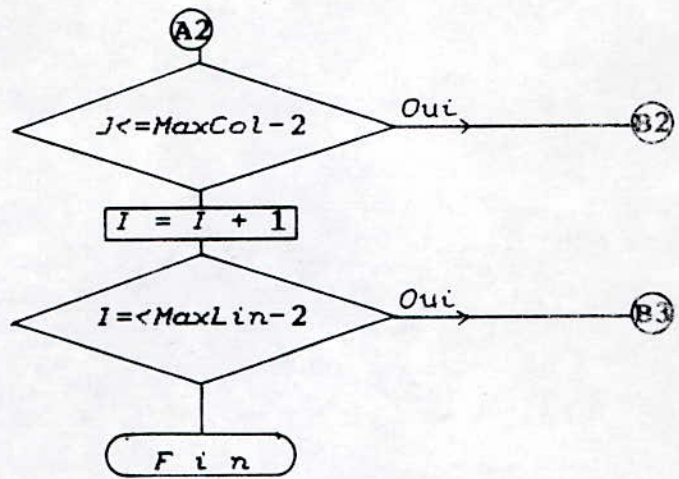
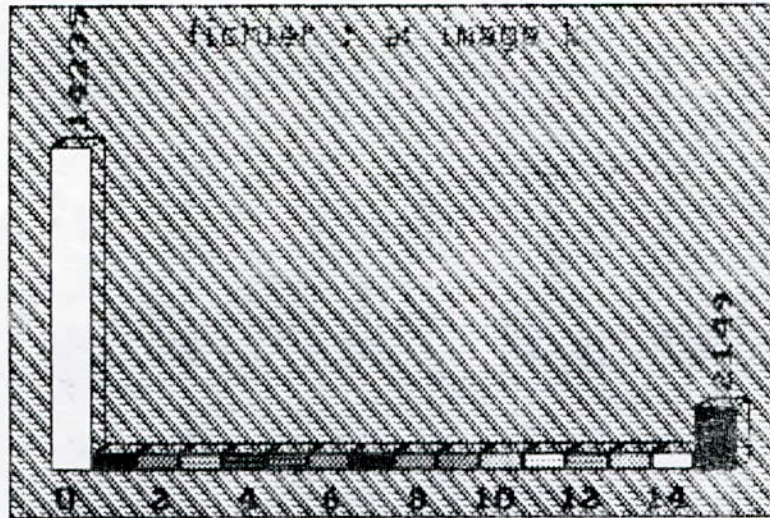


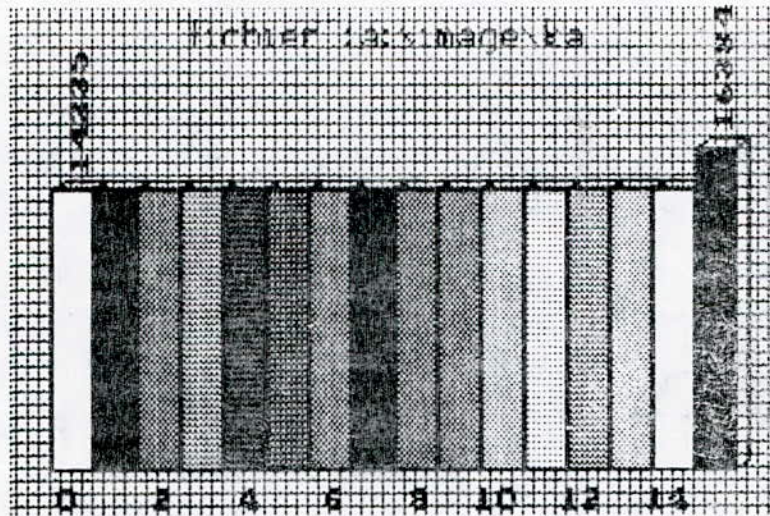
Fig II.11 : Organigramme du filtre median.



a

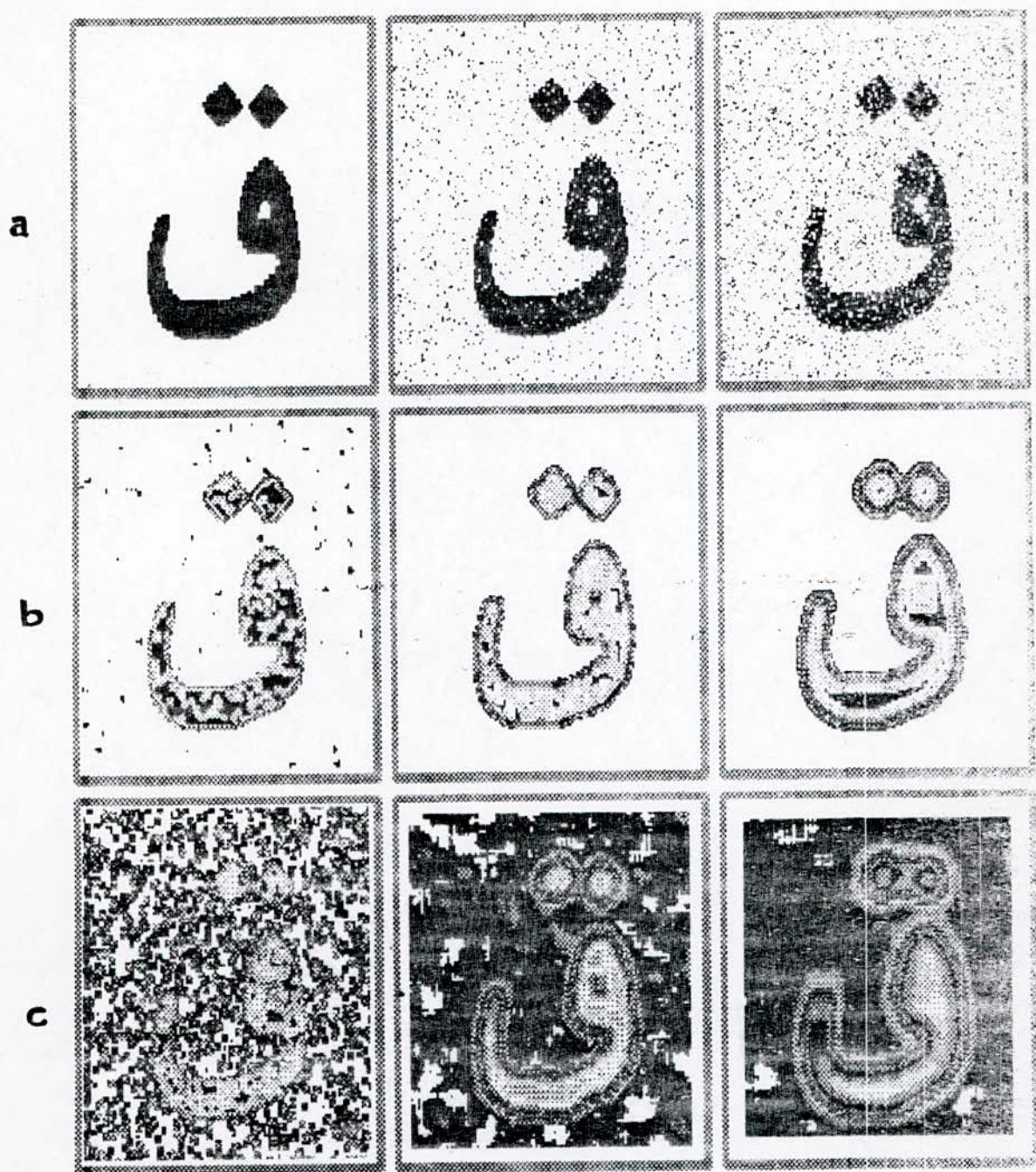


b

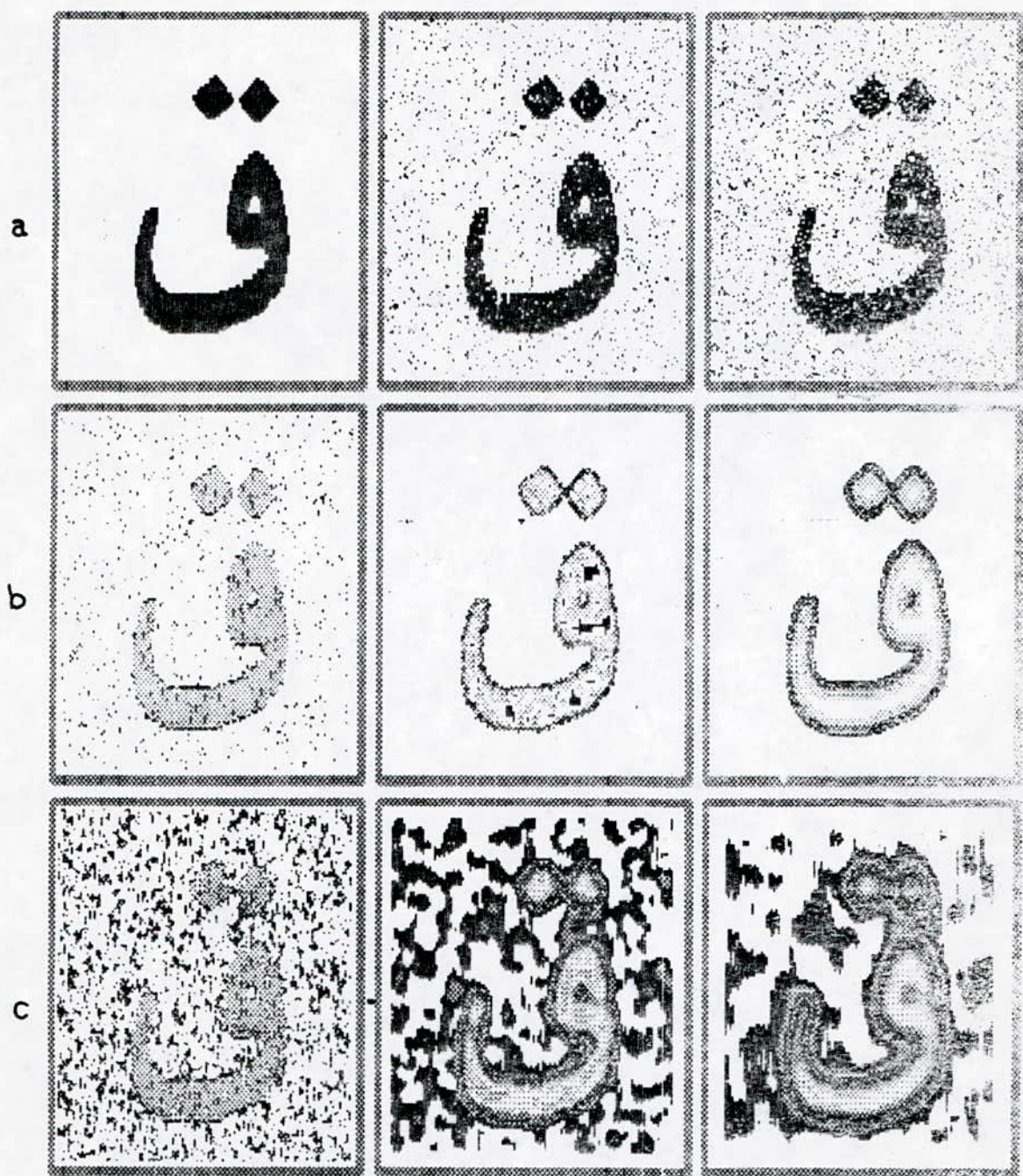


c

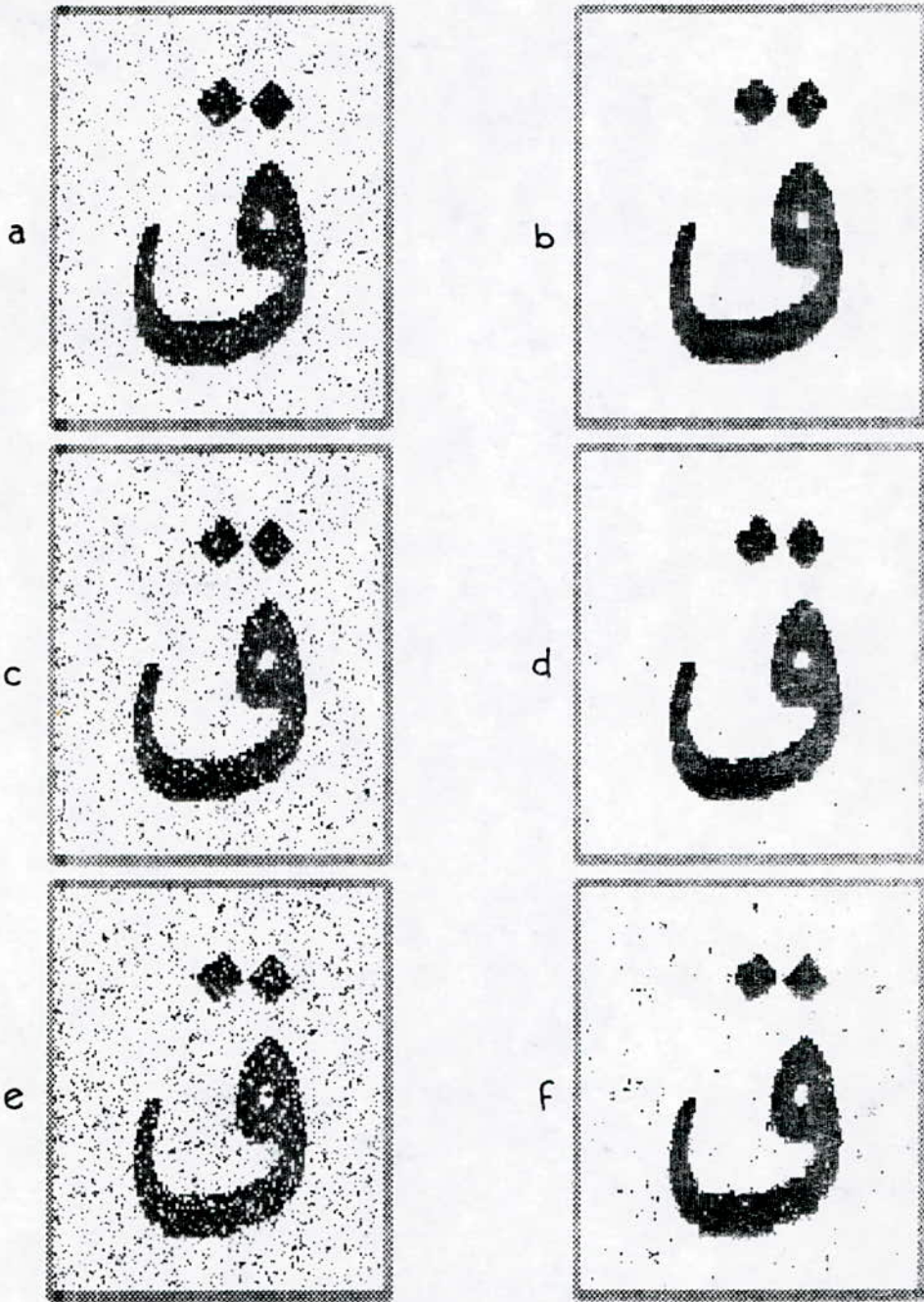
Demo II.1. Histogramme d'une image; (a) : Image binaire.
 (b) : Histogramme Simple; (c) : Histogramme cumule.



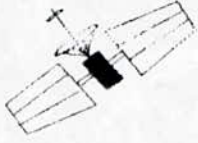
Demo II.2. Filtrage moyen. (a): image originale; 1^{ère} image bruitée ($d=10, n=5$); 2^{ème} image bruitée ($d=5, n=15$). (b): 1^{ère} image filtrée avec les masques de taille 3, 5 et 9. (c): 2^{ème} image filtrée avec les masques de taille 3, 9 et 15.



Demo II.3. Filtre de Gauss. (a): image originale; 1^{re} image bruitée ($d=10, n=5$); 2^{me} image bruitée ($d=5, n=15$). (b): 1^{re} image filtrée avec les masques de taille 3, 5 et 9. (c): 2^{me} image filtrée avec les masques de taille 3, 9 et 15.



Demo II.4. Filtre Median. (a): Image bruitée ($d=10, n=5$). (b): Image filtée. (c): Image bruitée ($d=8, n=10$). (d): Image filtée. (e): Image bruitée ($d=5, n=15$). (f): Image filtée.



CHAPITRE III

SEGMENTATION

EXTRACTION DES CONTOURS

La segmentation est l'opération qui consiste à subdiviser une scène réelle en ses parties constituantes ou objets. Ces régions peuvent être caractérisées par leurs frontières et c'est le cas de la segmentation par extraction de contours ou bien être directement caractérisées par les pixels qui les composent, il s'agit alors de la segmentation en régions homogènes.

Il est évident que ces deux approches de la segmentation sont duales. Cependant l'information qu'elles mettent en évidence est différente. Les contours possèdent l'essentiel des caractéristiques de forme de la région; la segmentation en régions homogènes fait intervenir les caractéristiques non géométriques liées au critère de segmentation, donc au contenu de la région plus qu'à sa forme.

Ces dernières considérations nous amènent à utiliser la première approche de la segmentation vu qu'on a à faire à un problème de reconnaissance de forme.

1. EXTRACTION DE CONTOUR :

Le but de l'analyse d'image est d'obtenir une description synthétique des divers éléments qui la constituent à partir de la masse énorme d'information qu'elle contient à l'état brut. L'un des processus fondamentaux dans la chaîne de reconnaissance visuelle consiste à diminuer cette quantité d'information en ne gardant que les points essentiels de l'image. Les points du contour constituent en ce lieu une approche rationnelle. Des études ont en effet montré que

l'homme est capable de reconnaître un objet par simple observation de ses contours.

La notion de contour dans une image est fortement liée à ce que l'on désire voir dans celle-ci. Il est donc nécessaire dans l'idéal d'avoir une information à priori sur le contexte telle que taille des objets, contraste moyen de ceux-ci avec le fond etc Ceci n'est autre que la définition globale de l'œil humain. Actuellement les systèmes de vision industriels ne fonctionnent pas encore sous ce principe idéal mais simplement en chaîne directes, les paramètres et le choix des opérateurs étant déterminés en fonction de l'application.

1.1. Définition du contour :

Les considérations précédentes nous amènent à devoir fixer une définition mathématique d'un contour, indépendamment de tout critère subjectif.

On définit ainsi un contour comme étant une brève variation de niveau de gris dans l'image (Voir Fig. III.1). On peut caractériser cette variation par son amplitude (Paramètre h) et par sa pente (Paramètre ρ). Cette définition détermine donc toute variation de niveau de gris, aussi faible soit-elle, comme étant un point de contour de plus ou moins grande intensité. Le choix des contours que l'on désire éliminer ou garder peut alors être déterminé en seuillant ceux-ci.

1.2. Processus d'extraction :

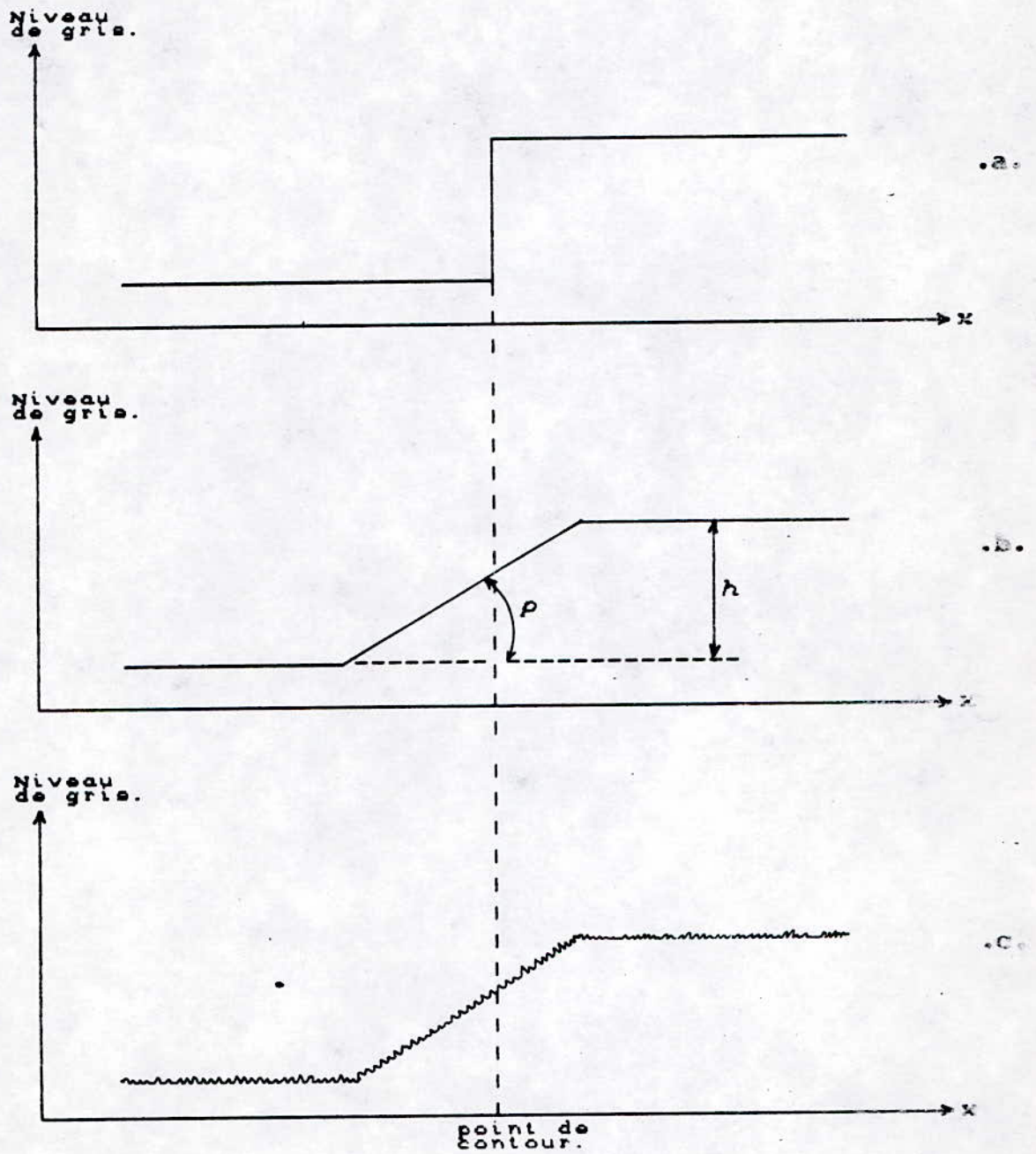


Fig III.1 : Exemples de contours.

(a): Contour idéal, (b): Rampe, (c): Contour réel.

Le processus d'extraction de contours peut être décomposé en plusieurs étapes distinctes qui peuvent être décrites comme suit :

1.1.2. Mise en évidence des contours :

Elle s'obtient par une différentiation de l'image. Elle peut s'appliquer à des images binaires ou non. Dans le cas d'images initiales binaires, le résultat peut être directement binaire lui aussi suivant le type d'opérateur de dérivation employé. Ce qui permet de sauter la seconde étape du processus d'extraction. Signalons de plus que dans le cas d'images binaires, il existe aussi des extracteurs de contours dits *topologiques* qui procèdent à un suivi du contour sans effectuer de dérivation. Ils fournissent directement un contour binaire.

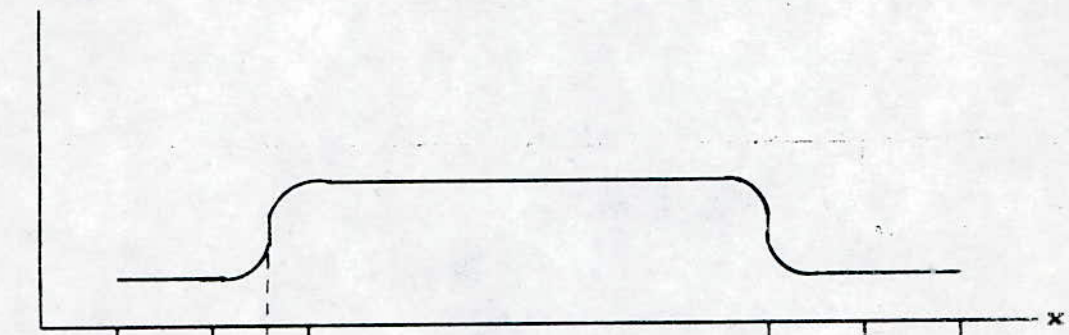
1.2.2. Binarisation des contours :

Lorsque le contour présente plusieurs niveaux de gris on peut avoir recours à la binarisation. Cette procédure est décrite dans le prochain chapitre.

2. OPERATEURS DE DIFFERENTIATION :

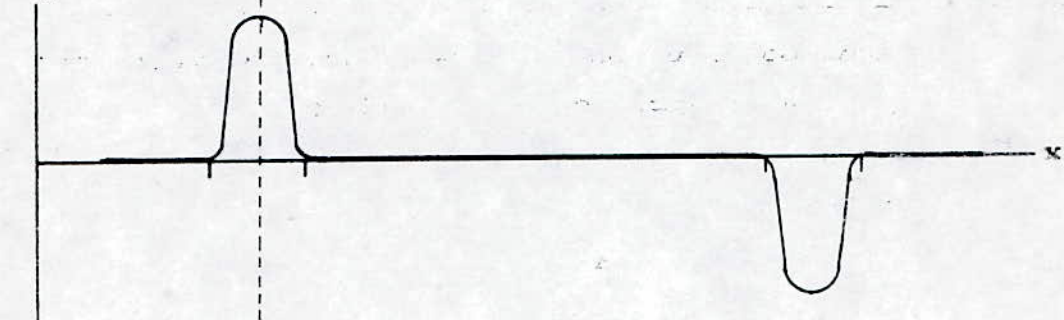
Nous venons de voir qu'un premier traitement dans le processus, l'extraction des contours consiste à mettre ceux-ci en évidence. Ceci est réalisé en dérivant l'image une fois ce qui permet d'obtenir un *Gradient*, ou bien en dérivant l'image deux fois et on obtient alors un *Laplacien*. La Fig. III.2 montre les effets de la dérivation en présence d'un contour.

Niveau
de gris.



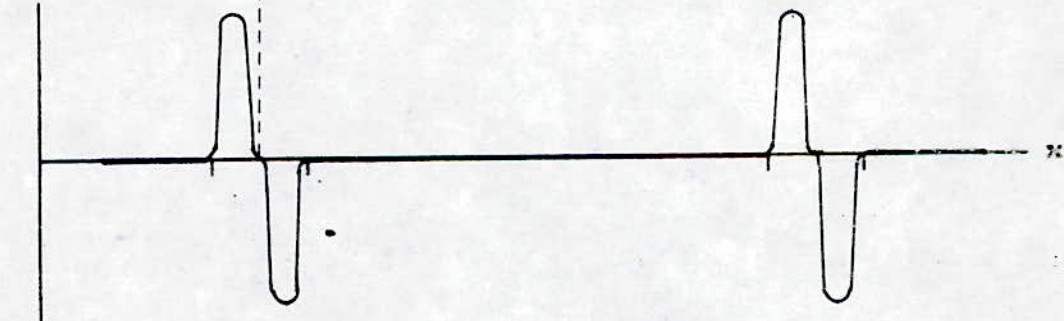
.a.

Amplitude.



.b.

Amplitude.



.c.

Fig III.2. Derivation en présence d'un contour
(a): Contour, (b): Gradient, (c): Laplacien,

Dans de nombreux ouvrages les opérateurs de différenciation sont considérés comme faisant partie des prétraitements. Nous les avons néanmoins séparés des autres types de filtrage du fait de leurs applications spécifiques à l'extraction des contours.

2.1. Le Gradient :

Les opérateurs de dérivation sont nombreux. Parmi ceux-ci, le premier développé fut celui de Robert en 1965 et n'est autre qu'une application directe de la formule d'une dérivée. Il se présente sous la forme suivante pour chaque pixel $I(x,y)$ d'une image I .

Les dérivées en x et y sont :

$$\begin{aligned} A_x &= I(x, y+1) - I(x, y) \\ A_y &= I(x+1, y) - I(x, y) \end{aligned}$$

ce qui revient à convoluer l'image avec les masques :

$$H_x = \begin{bmatrix} -1 & +1 \end{bmatrix} \quad H_y = \begin{bmatrix} - & 1 \\ + & 1 \end{bmatrix}$$

L'amplitude du gradient est alors :

$$A(x,y) = \sqrt{A_x^2 + A_y^2}$$

La direction du gradient est donnée par :

$$D(x,y) = \text{Arctan}\left[A_x/A_y\right]$$

Pour des raisons de rapidité de calcul, le calcul de l'amplitude du gradient a été modifié. Nous avons précédemment défini celle-ci comme étant :

$$A_0 = \sqrt{A_x^2 + A_y^2}$$

La nouvelle expression est donnée par :

$$A_1 = \text{Max}(|A_x|, |A_y|)$$

Notons que celle-ci introduit des distorsions dans le calcul de l'amplitude car elle dépend de la direction du gradient et non de sa seule amplitude. En effet, lorsque A_x ou A_y sont nul, nous avons $A_1 = A_0$, mais par exemple pour le cas simple $A_x = A_y$, nous avons $A_1 = A_x$ alors que $A_0 = A_x \sqrt{2}$. Les raisons de ces distorsions sont simples : les masques opérateurs constituent une approximation discrète de la dérivée réelle et de ce fait la norme à appliquer pour le calcul de l'amplitude est dépendante des valeurs des composantes A_x et A_y .

2.1.1. Masque de Roberts :

Avec l'opérateur de Roberts, la détection de contour, (voir Démo.III.1.b), s'effectue en convoluant l'image initiale, avec les masques suivants :

$$H_x = \begin{pmatrix} 0 & 0 & 0 \\ -1 & 1 & 0 \\ 0 & 0 & 0 \end{pmatrix} \quad \text{pour le gradient suivant X}$$

$$H_y = \begin{pmatrix} 0 & -1 & 0 \\ 0 & 1 & 0 \\ 0 & 0 & 0 \end{pmatrix} \quad \text{pour le gradient suivant Y}$$

L'inconvénient majeur de cet opérateur, est sa sensibilité au bruit. (Voir Démo.III.2)

Organigramme :

L'organigramme de ce masque est sur la Fig.III.3, les variables utilisées sont :

ImaIn :Image initiale.
ImaOut :Image finale.
GradX :Gradient suivant X.
GradY :Gradient suivant Y.

2.1.2.Masque de Sobel :

Contrairement à l'opérateur de Roberts, cet opérateur présente l'avantage d'être moins sensible au bruit. (Voir Démo.III.1.d)

$$H_x = \begin{bmatrix} -1 & 0 & 1 \\ -2 & 0 & 2 \\ -1 & 0 & 1 \end{bmatrix} \quad H_y = \begin{bmatrix} -1 & -2 & -1 \\ 0 & 0 & 0 \\ 1 & 2 & 1 \end{bmatrix}$$

En effet, tout processus de dérivation d'un signal tend à accentuer le bruit présent dans le signal. La sensibilité au bruit est diminuée en effectuant une moyenne locale sur le domaine couvert par le masque. (Voir Démo.III.2)

Organigramme :

L'organigramme de cet opérateur est donné dans la Fig.III.4, les variables utilisées sont :

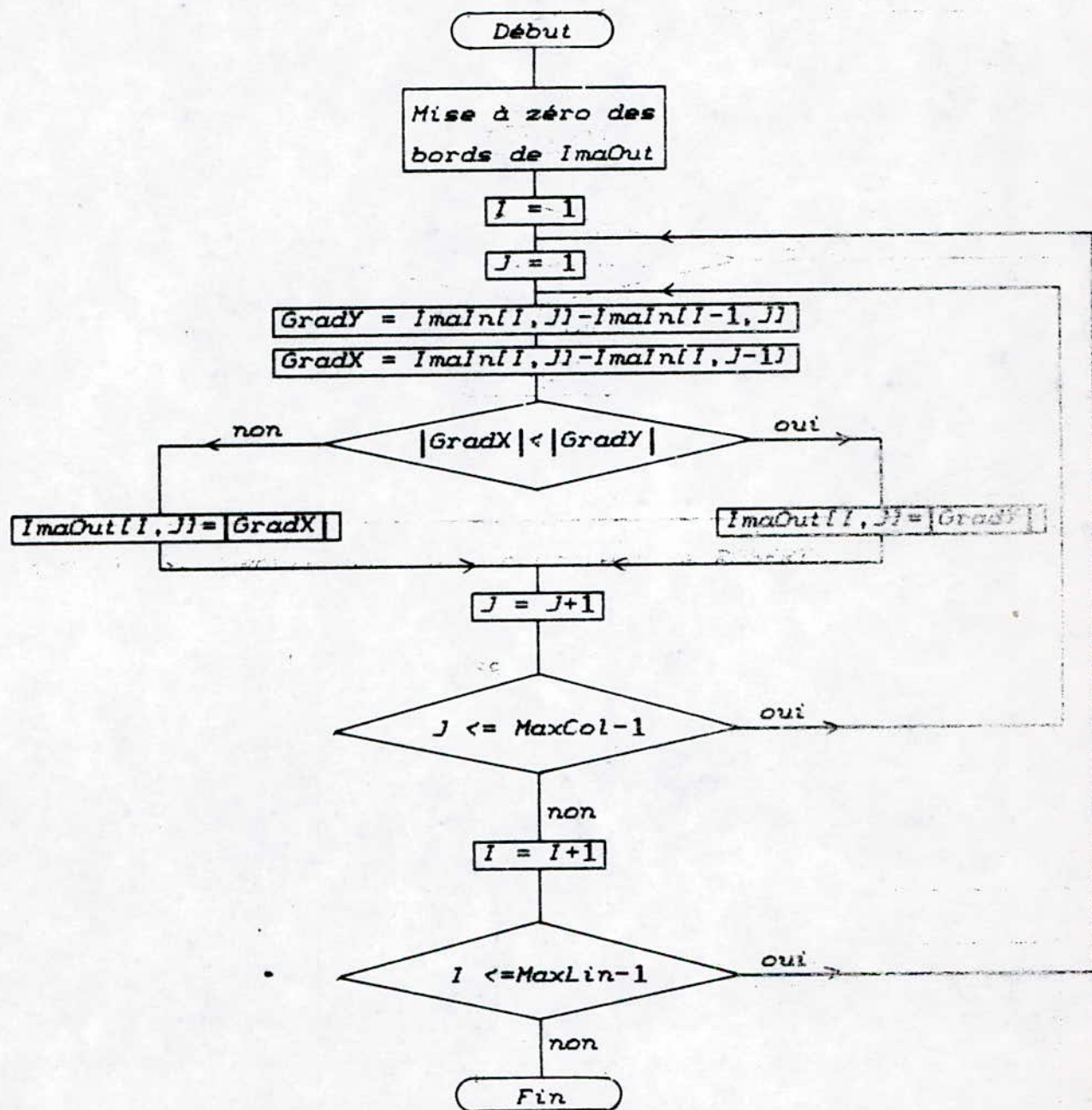


Fig III.3. Organigramme de l'opérateur de ROBERTS.

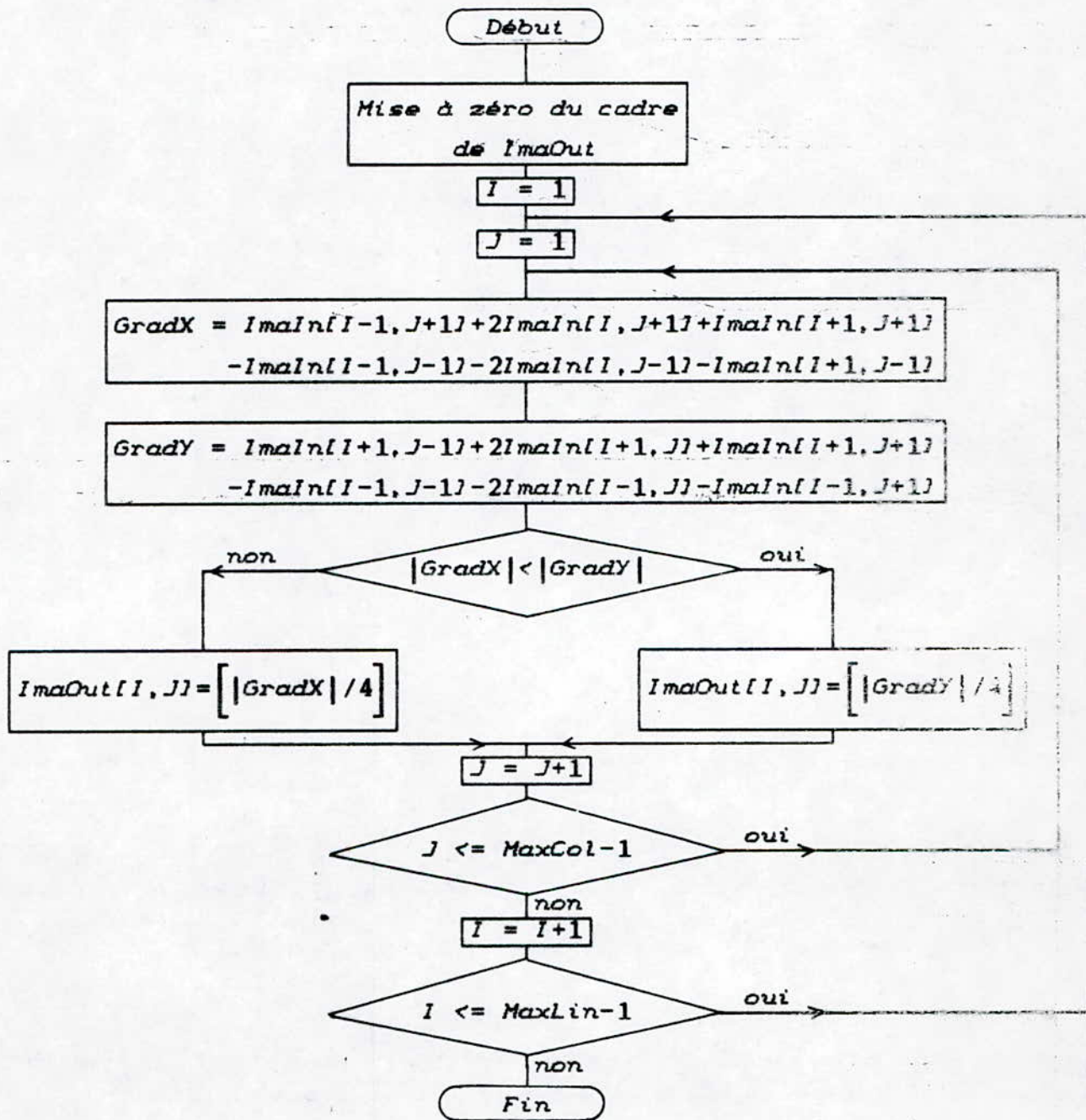


Fig III.4. Organigramme de l'opérateur de SOBEL.

ImaOut :Image finale.
GradX :Gradient suivant X.
GradY :Gradient suivant Y.

2.1.3. Masque de Perwitt :

L'opérateur de *Perwitt* agit de la même manière que le précédent, en effectuant la moyenne. La seule différence réside dans les coefficients du masque.

$$H_x = \begin{pmatrix} -1 & 0 & 1 \\ -1 & 0 & 1 \\ -1 & 0 & 1 \end{pmatrix} \qquad H_y = \begin{pmatrix} -1 & -1 & -1 \\ 0 & 0 & 0 \\ 1 & 1 & 1 \end{pmatrix}$$

Les résultats donnés par ces deux derniers opérateurs sont satisfaisants en ce qui concerne la sensibilité au bruit, mais présentent l'inconvénient de donner un contour épaissi. Dans ce cas on peut avoir recours à des méthodes d'amincissement des lignes du contour.

Organigramme :

L'organigramme de cet opérateur est donné dans la Fig.III.5, les variables utilisées sont :

ImaIn :Image initiale.
ImaOut :Image finale.
GradX :Gradient suivant X.
GradY :Gradient suivant Y.

2.2.Le Laplacien :

Le Laplacien d'une image représente sa dérivée seconde. Cette dernière peut s'exprimer de plusieurs manières selon les différences finies utilisées pour approximer les dérivées partielles (centrées, à droite, à gauche). De ce fait, plusieurs masques de laplaciens très similaires ont été développés : (Voi Démo.III.1.f)

$$H_1 = \begin{bmatrix} 0 & -1 & 0 \\ -1 & 4 & -1 \\ 0 & -1 & 0 \end{bmatrix} \quad H_2 = \begin{bmatrix} -1 & -1 & -1 \\ -1 & 8 & -1 \\ -1 & -1 & -1 \end{bmatrix} \quad H_3 = \begin{bmatrix} 1 & -2 & 1 \\ -2 & 8 & -2 \\ 1 & -2 & 1 \end{bmatrix}$$

Comme indiqué sur la Fig.III.2 les points du contour correspondent à un laplacien nul bordé par deux extrêmes. Le passage par zéro étant unique, le Laplacien fournit des contours d'un pixel d'épaisseur. Cependant, le laplacien possède un inconvénient majeur qui est sa grande sensibilité au bruit. En effet, cet opérateur réalise une dérivée seconde de l'image et est donc très instable. (Voir Démo.III.2)

Organigramme :

L'organigramme de cet opérateur est sur la FIG.III.6, les variables utilisées sont :

Ima : Image initiale qui recevra le résultat final.
ImaAux : Matrice des dérivées secondes.
Scale : Facteur d'echelles pour le recadrage.

3.CONCLUSION SUR LA SEGMENTATION :

La méthode de balayage par masque est très couramment employée, puisque finalement elle englobe les opérateurs de

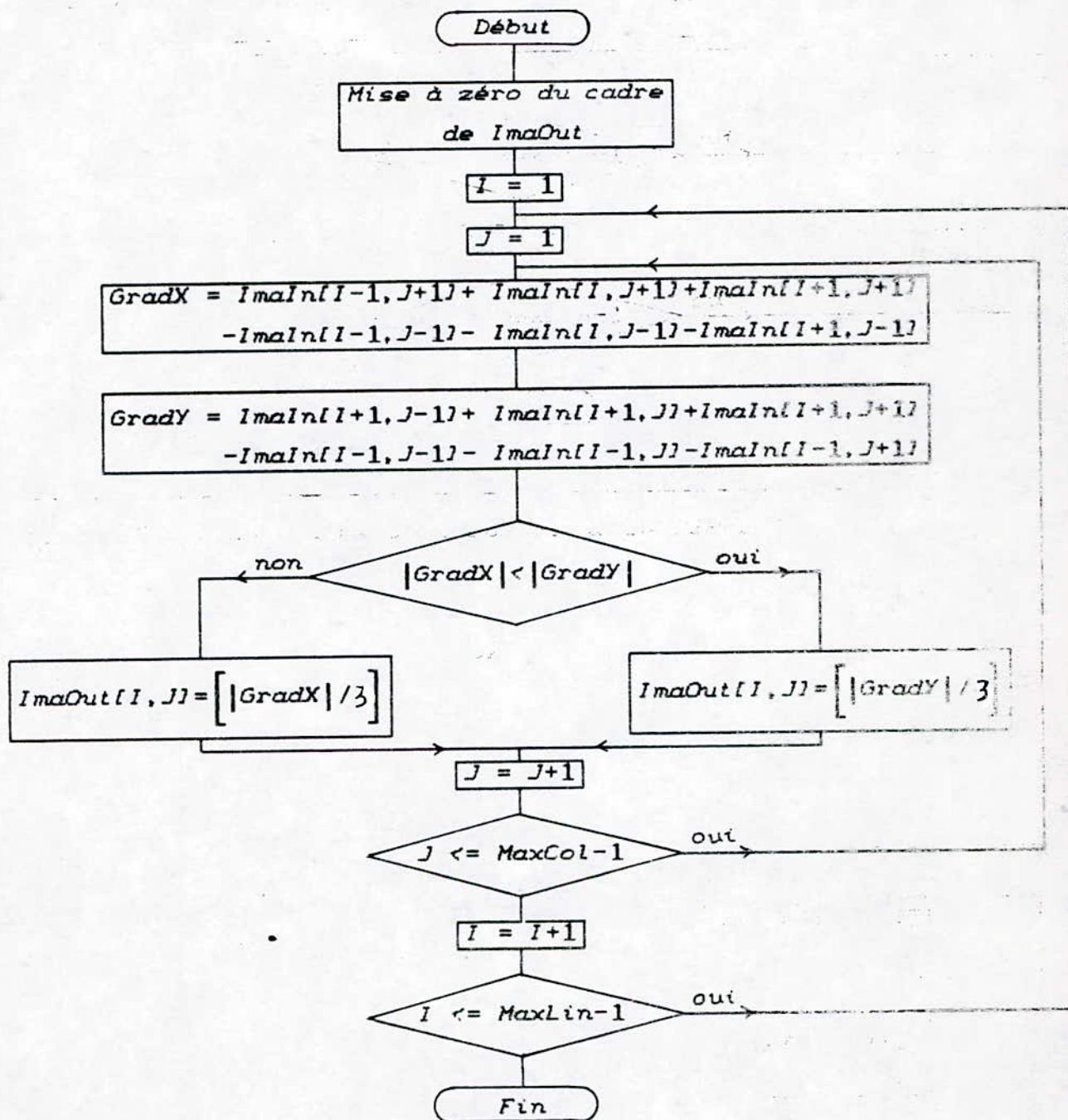
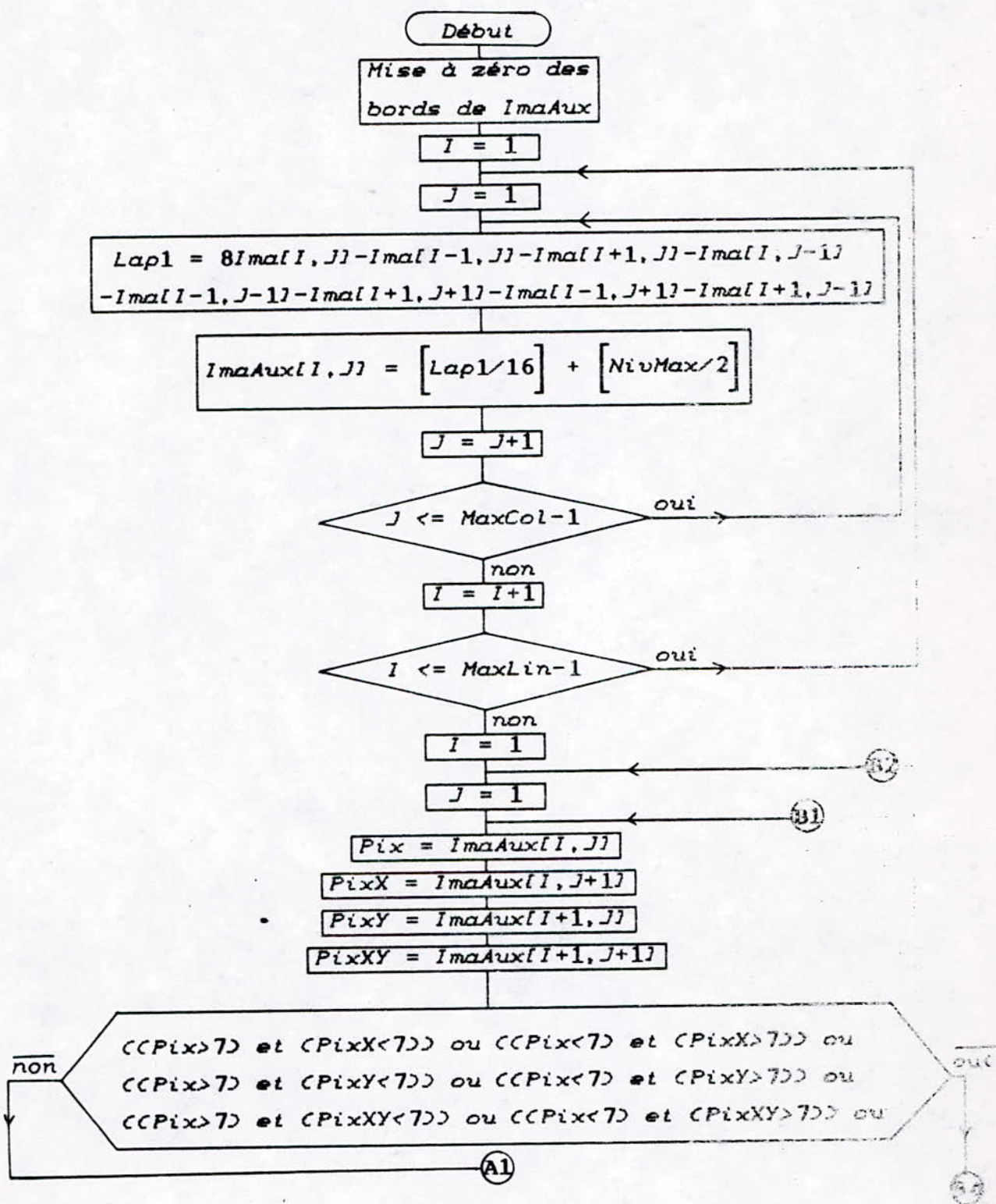
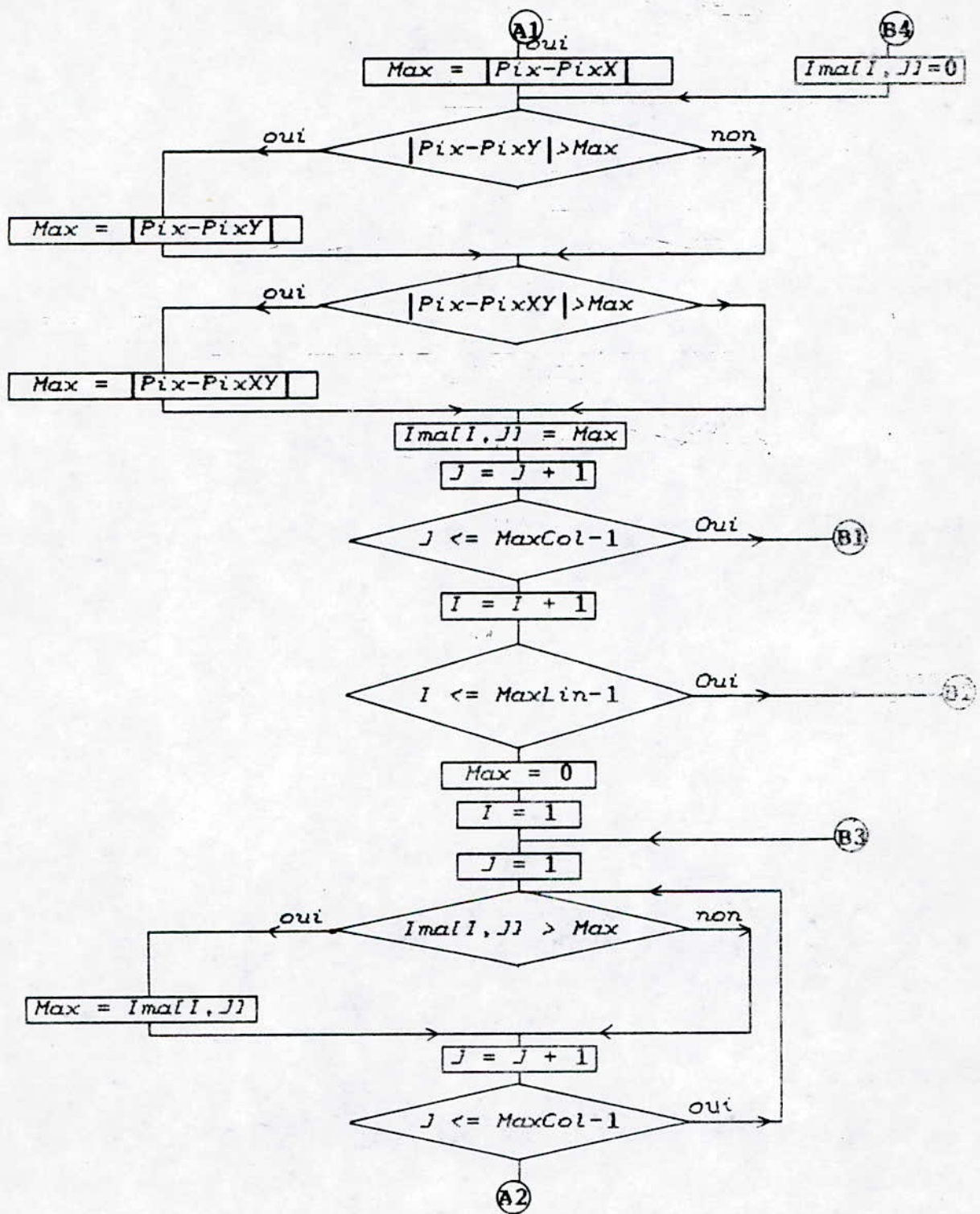


Fig III.5. Organigramme de l'opérateur de PERWITT.





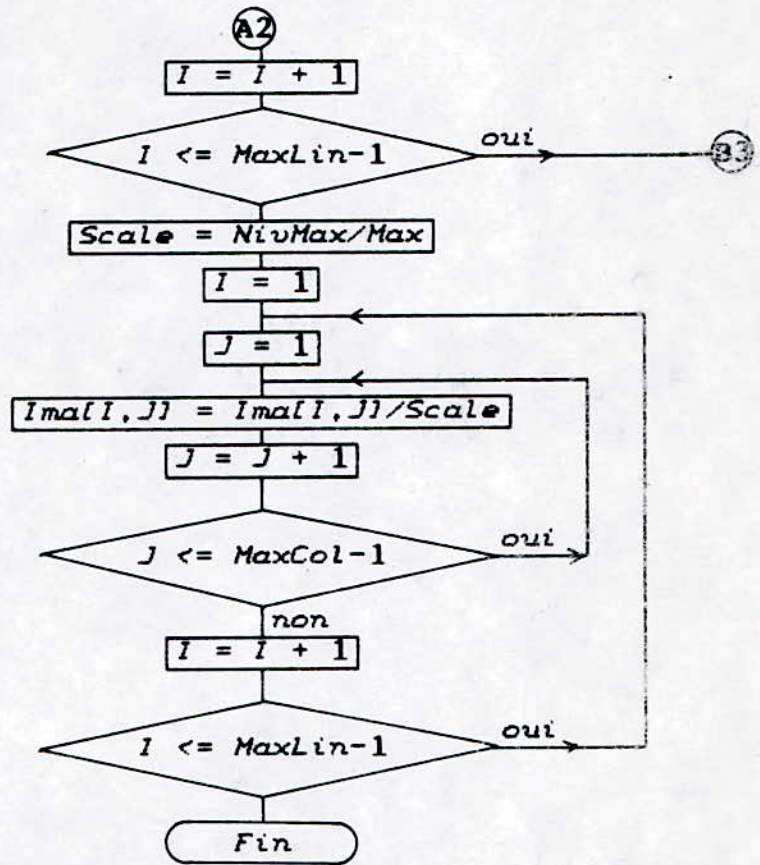
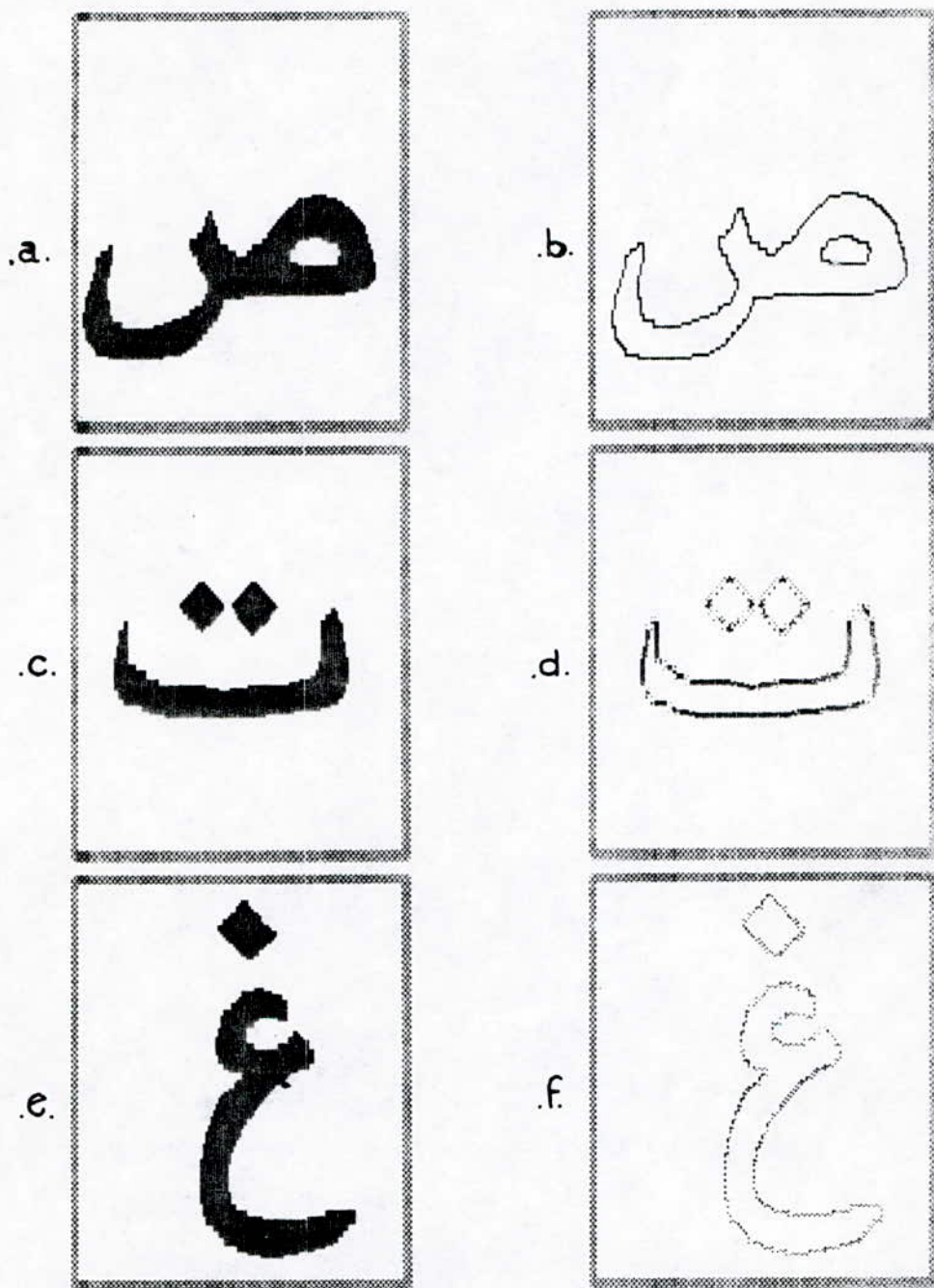
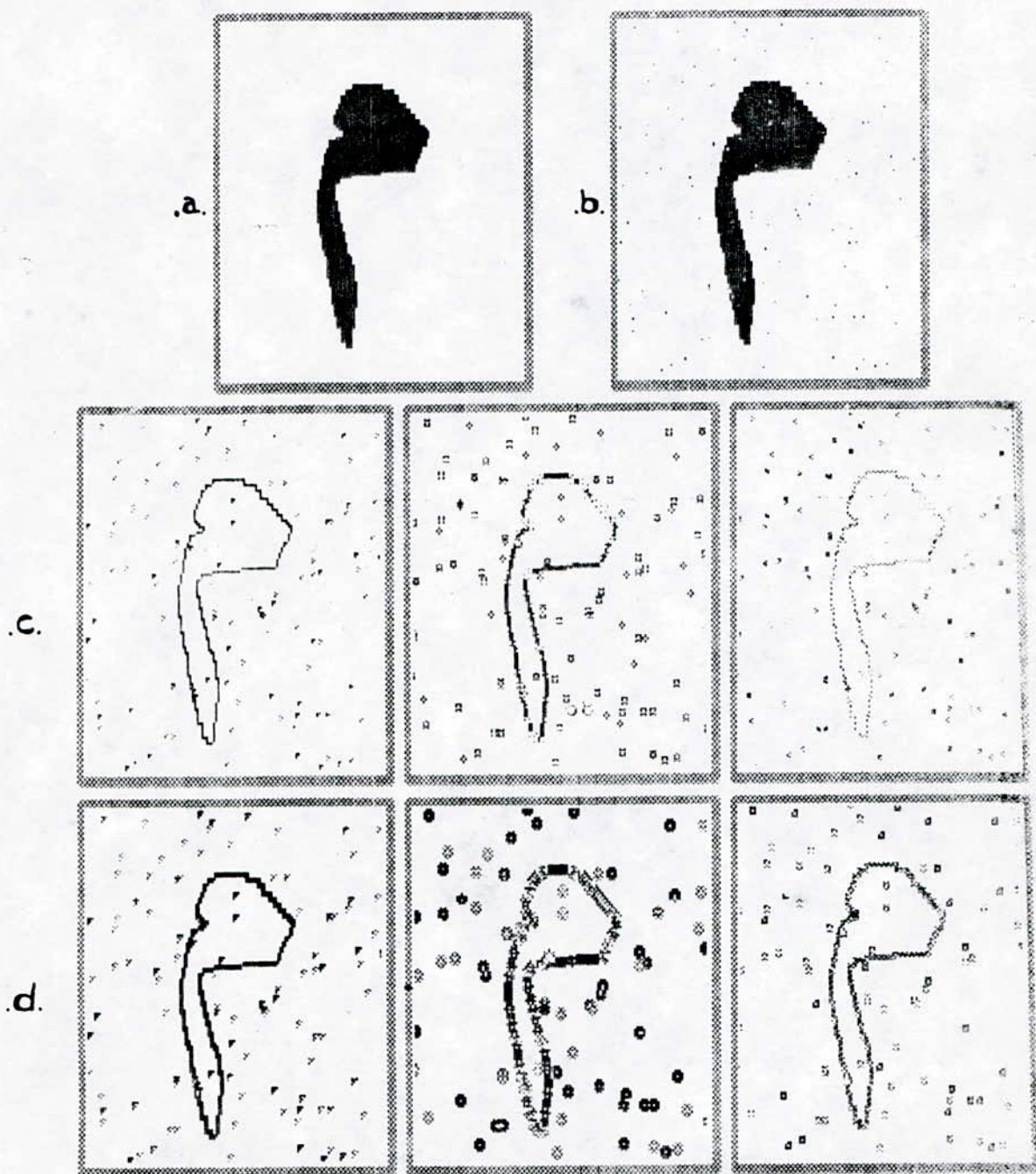


Fig III.6 : Organigramme de l'opérateur de LAPLACE .

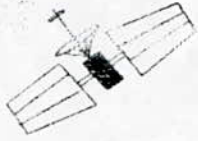
différentiation comme les gradients et le laplacien. Elle a fait l'objet de développements intensifs dans la littérature et chez les industriels du traitement d'image. Les logiciels commercialisés offrent tous, les différents masques que nous avons passé en revue.



Demo III.1. Detection de contour. (a): Image originale. (b): Contour avec l'opérateur de Roberts. (c): Image originale. (d): Contour avec Sobel. (e): Image originale. (f): Contour avec le LAPLACIEN.



Demo III.2. Effet du bruit sur la détection du contour. (a): Image originale. (b): Image bruitée ($d=145, n=10$). (c): 1^{ère} dérivée avec respectivement les opérateurs de Roberts, Sobel et Laplace. (d): 1^{ère} dérivée avec respectivement Roberts, Sobel et Laplace.



CHAPITRE IV

BINARISATION

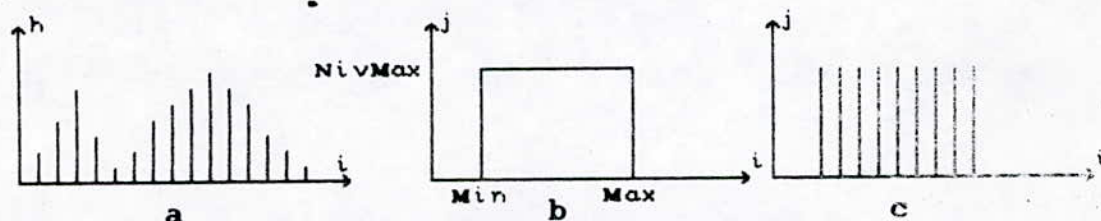
OPERATEURS MORPHOLOGIQUES

La binarisation d'une image présente plusieurs avantages dont l'un des plus importants est certainement le faible espace mémoire nécessité par une image binaire et la simplicité des opérateurs qui lui sont associés. En effet, l'image possédant que deux niveaux, noir ou blanc, il suffit d'un bit pour coder un pixel d'où une taille mémoire plus réduite. La binarisation peut être aussi, la première étape d'isolement des objets par rapport au fond.

Du fait de leurs codages sur deux niveaux de gris, chaque pixel d'une image binaire peut être codé comme un élément logique, donc à valeur vrai ou faux. Les opérateurs morphologiques sont issus des études sur la morphologie mathématique et reposent sur le concept de transformation géométrique d'une image par un élément structurel.

1. BINARISATION :

Généralement, une binarisation nous permet d'isoler les objets en blanc sur fond noir. Le principe consiste à forcer les pixels, dont le niveau de gris est compris dans l'intervalle $[Min, Max]$, à la valeur $NivMax$. Le reste des pixels est forcé à zéro (Voir Fig.IV.1)



FigIV.1. Binarisation. (a): Histogramme originale. (b): Lut de la binarisation. (c): Histogramme final.

Il est courant dans un processus de binarisation de n'utiliser qu'un seul seuil (*Min* ou *Max*). Dans ce cas, l'autre est porté à sa valeur extrême (*zero* pour *Min*, *NivMax* pour *Max*). Cette binarisation peut être déterminée automatiquement par recherche du minimum de l'histogramme (Voir *Démo.IV.1*). Ceci peut être fait en réalisant une interpolation polynômiale de celui ci, puis en dérivant le polynome obtenu afin de déceler le minimum et d'ajouter le seuil en conséquence.

Organigramme :

L'organigramme de la binarisation est sur la Fig.IV.2.

Variables :

ImaIn.....: Image originale.

ImaOut.....: Image finale.

I, J.....: Indices.

2. OPERATEURS MORPHOLOGIQUES :

L'élément structurant, introduit précédemment, est un masque de forme quelconque dont les éléments forment un motif. L'application de l'opérateur consiste à balayer l'image avec ce masque et à effectuer pour chaque pixel une mise en correspondance du pixel et de ses voisins, avec le motif du masque, puis d'en effectuer l'union ou l'intersection. Cette technique se rencontre dans la terminologie anglaise sous le nom de *template matching*. Chaque pixel est ainsi l'objet d'une transformation par une fonction logique plus ou moins complexe. (Voir Fig IV.3)

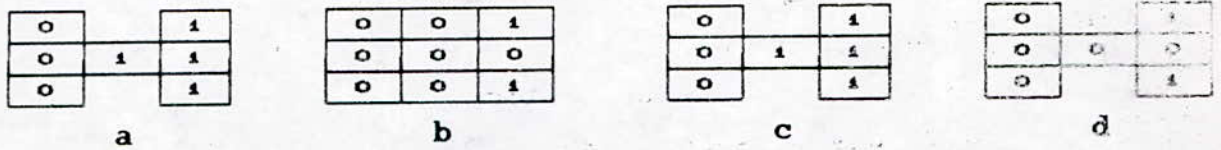


Fig IV.3. Exemple d'éléments structurant. (a):élément structurant. (b): image originale. (c):union. (d):intersection.

2.1.DILATATION :

Elle consiste à dilater l'image. De ce fait, les points isolés au milieu des parties blanches sont "mangés" par la dilatation des parties blanches (Voir Démo IV.2).

Le processus est réalisé en balayant l'image avec une fenêtre carrée de taille $(N+1) \times (N+1)$ et en effectuant pour chaque pixel de l'image le "ou" logique des $(N+1)^2 - 1$ voisins: c'est à dire tous les pixels de la fenêtre sauf le pixel central. Le résultat de cette fonction est alors: si le ou des voisins vaut 1, alors le pixel courant est forcé à 1 dans l'image résultat ceci est illustré dans la Fig IV.4.

Organigramme :

L'organigramme de la dilatation est illustré sur la Fig IV.5.

Variables :

- Ima.....: Image originale.
- ImaBin1.....: Image binaire initiale.
- ImaBin2.....: Image binaire finale.

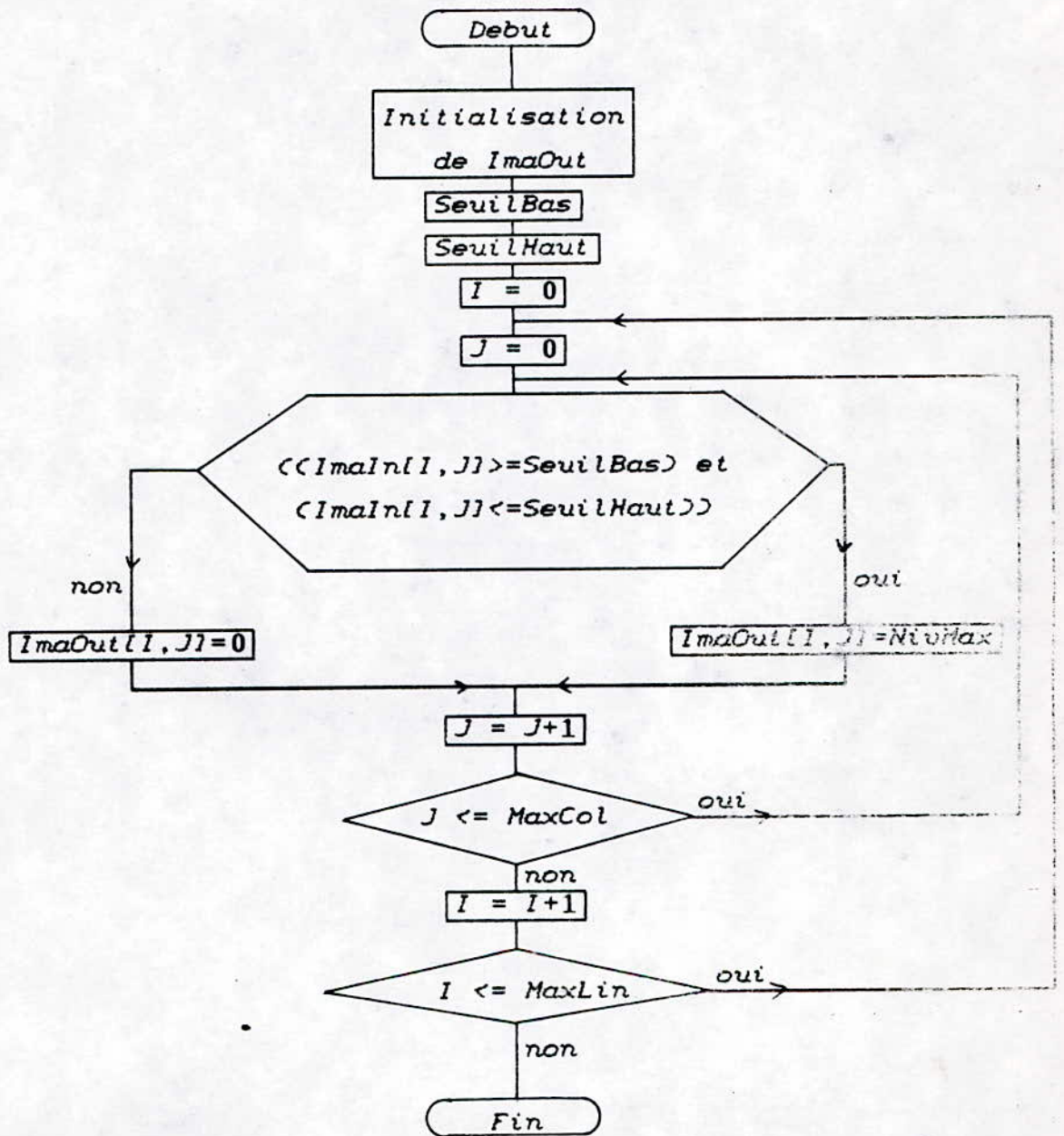


Fig IV.2. Organigramme de la binarisation

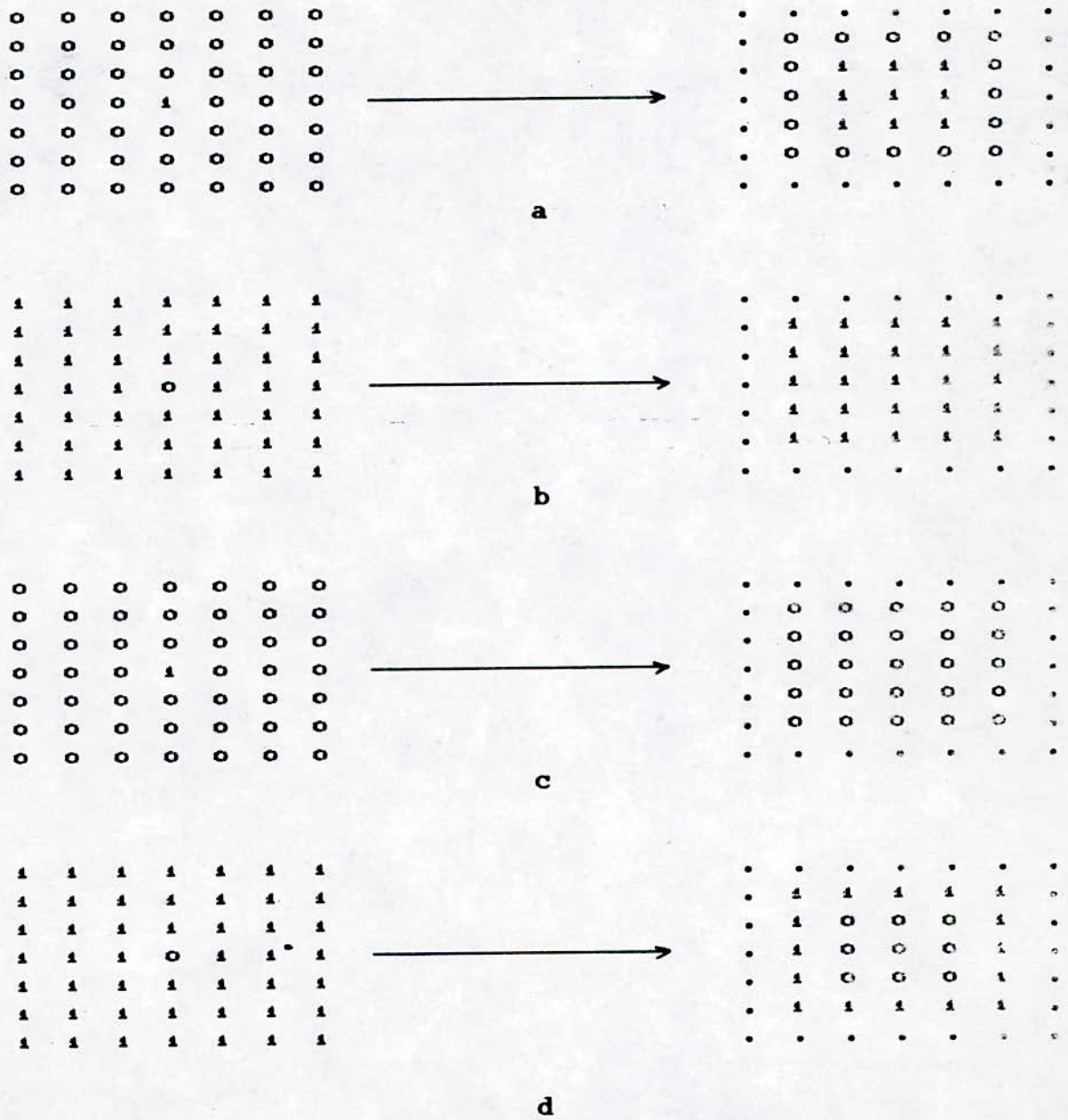


Fig IV.4. Effets de dilatation et d'érosion. (a, b): Dilatation. (c, d): Erosion.

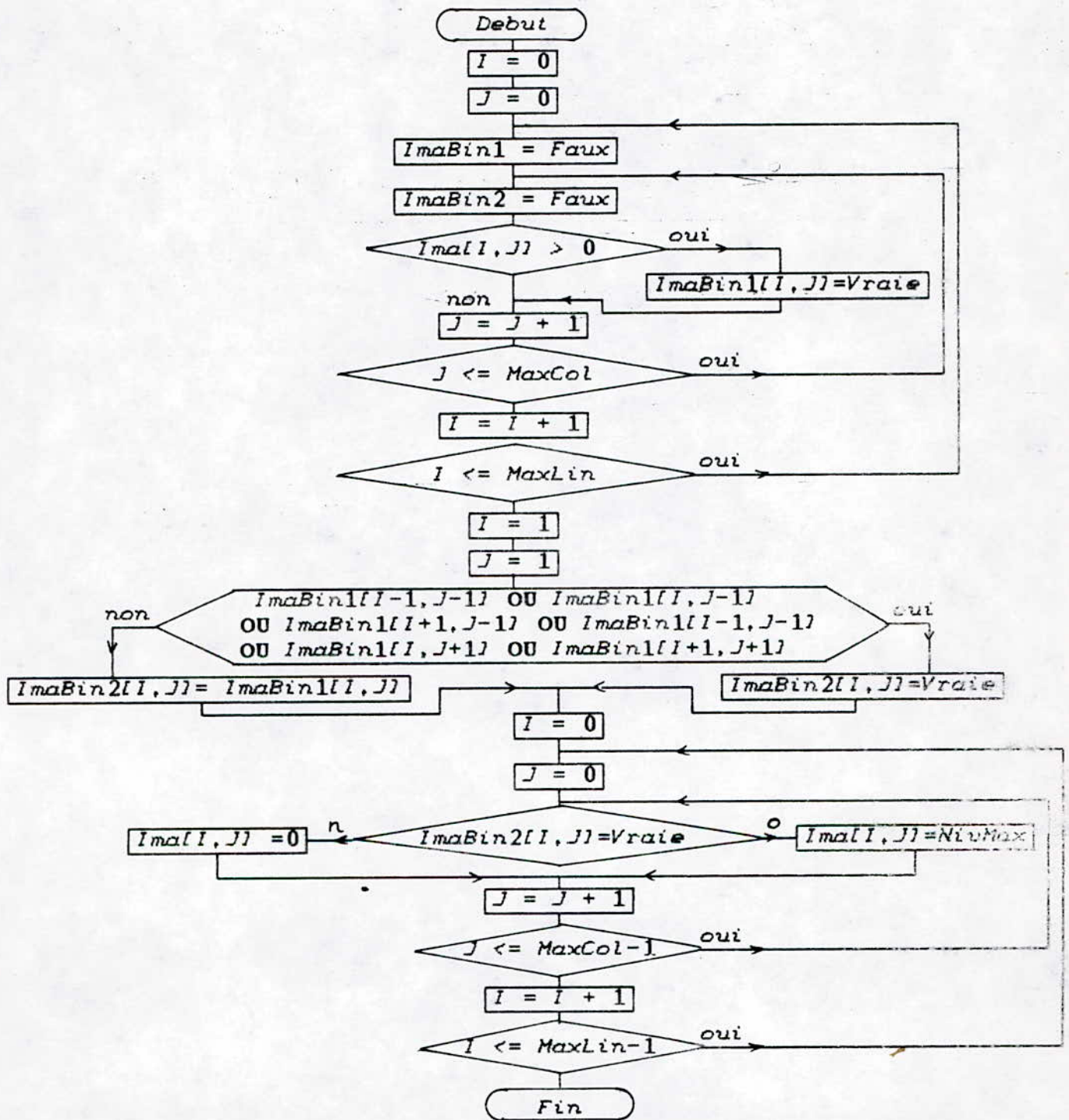


Fig IV.5 Organigramme de la dilatation.

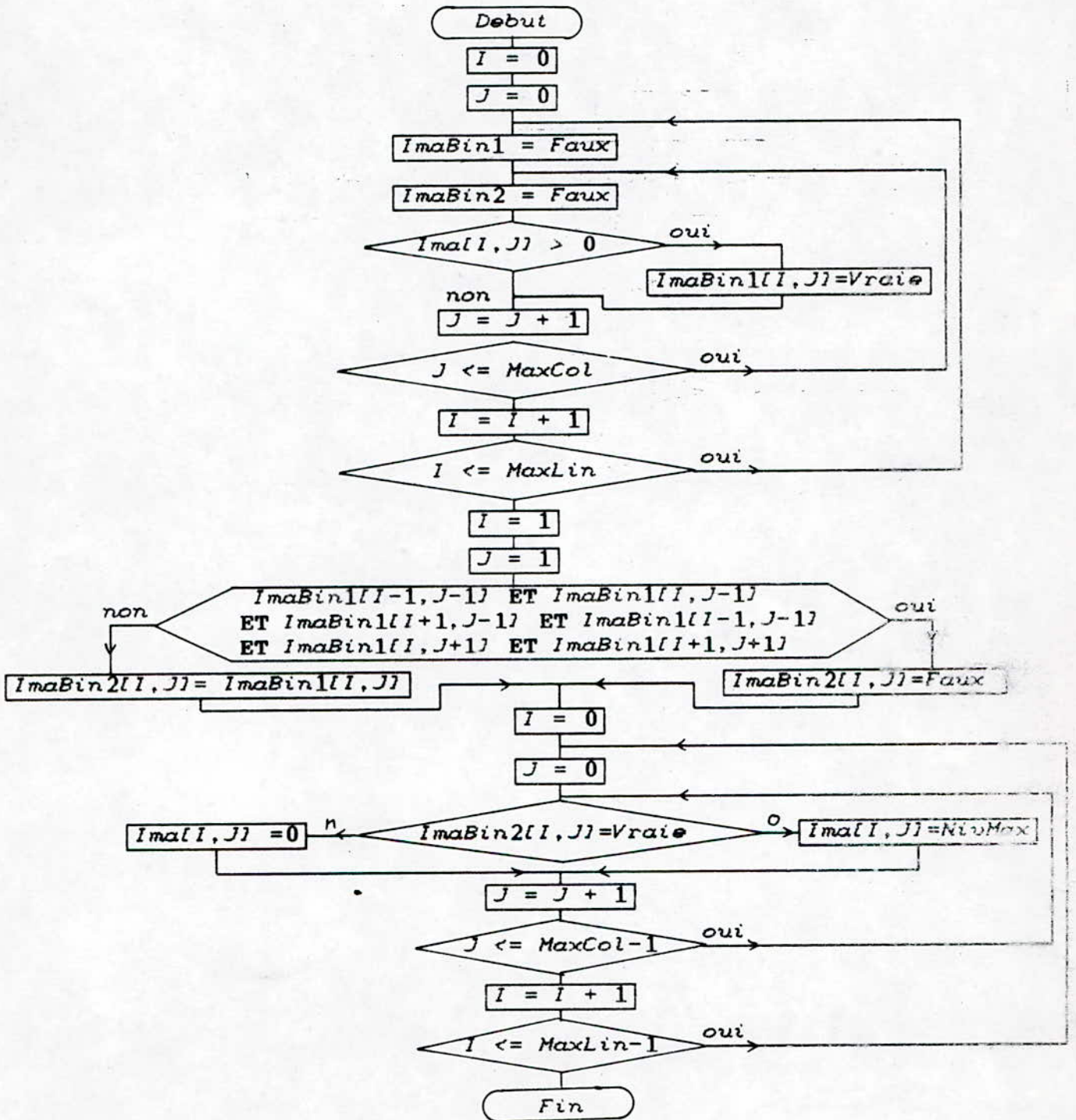


Fig IV.6 Organigramme de l'érosion.

2.2. EROSION :

Le procédé est dual à la dilatation. On effectue cette fois le "ET" logique des $(N+1)^2-1$ voisins. De ce fait l'image se trouve érodée, et tout pixel blanc isolé, disparaît (voir Démo IV.2). Le principe est illustré sur la Fig IV.4.

Organigramme :

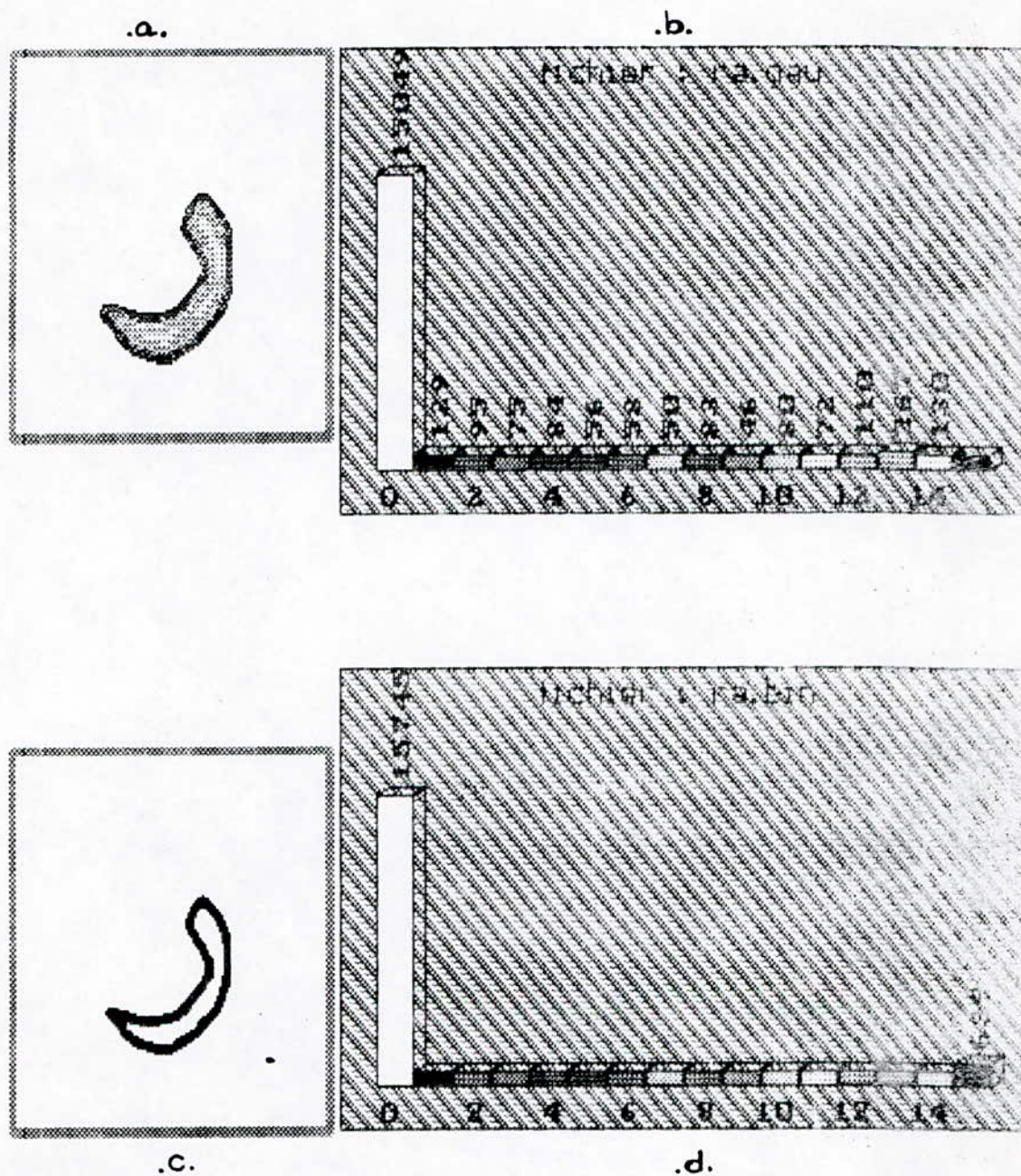
Voir Fig IV.6 .

Variables :

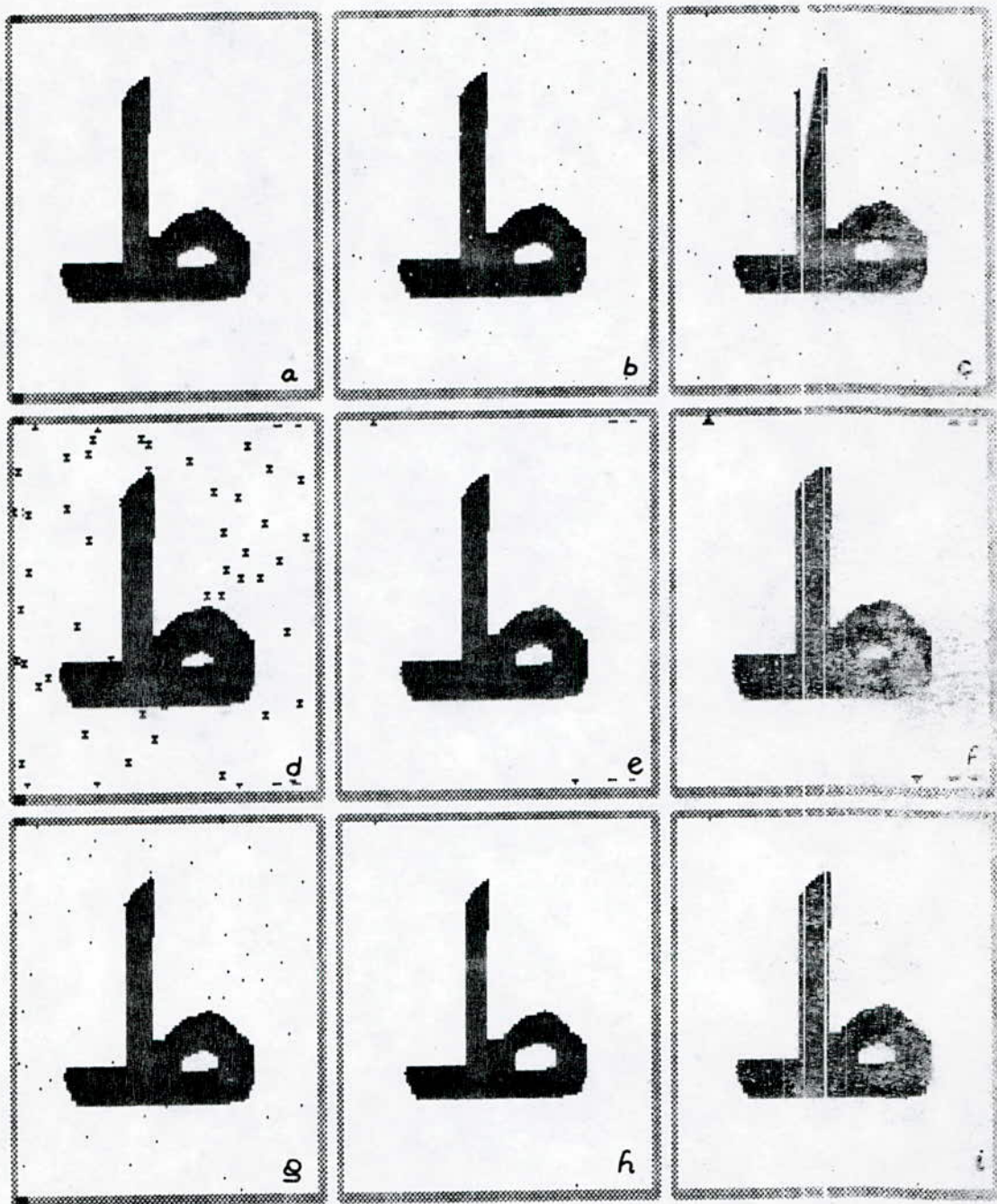
Ima..... : Image originale.
ImaBin1..... : Image binaire initiale.
ImaBin2..... : Image binaire finale.

3. CONCLUSION :

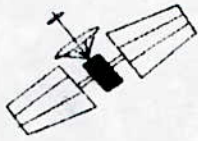
Les tâches noires de l'image peuvent être éliminées par plusieurs dilatations, de même les tâches blanches par plusieurs érosions. Cependant, ces procédures influent sur la taille des objets présents dans l'image. Il est donc nécessaire de faire suivre un nombre D de dilatations par un même nombre d'érosions et réciproquement. En général on effectue une dilatation/érosion suivie d'une érosion/dilatation afin de supprimer les points isolés de l'image. On dépasse rarement ce nombre du fait de la puissance de ces opérateurs qui suppriment une grande quantité d'information dans l'image par la perte des détails de petite taille.



Demo IV.1. Binarisation. (a,b): Image et son histogramme simple.
 (c,d) : Image binarisée (Seuil bas=2, seuil haut=10) et son histogramme simple.



Demo IV.2. Opérateurs morphologiques. (a): Image originale. (b): Image bruitée ($d=220, n=10$). (c): Image binarisée entre 1 et 15. (d,e,f): 1^{ère}, 2^{ème} et 3^{ème} dilatation. (g,h,i): 1^{ère}, 2^{ème} et 3^{ème} érosion.



CHAPITRE V

RECONNAISSANCE

Une fois la segmentation de l'image effectuée, c'est à dire extraire d'une image les formes, qui à ce stade sont définies par leurs primitives de contour. En effet après la segmentation les caractères sont caractérisés par une séquence de pixels qui appartiennent à leurs contours fermés. Pour pouvoir reconnaître ces caractères, il est nécessaire de placer sur chaque forme une *étiquette*.

Dans ce chapitre on expose un moyen de *décrire* et modéliser nos images dans le plan afin de leur donner une identité; les caractères ne seront plus des formes géométriques mais deviendront un *vecteur d'attributs*. Ces derniers sont dans notre cas des descripteurs de contour représentés par une série de sept(7) moments. Avant, la reconnaissance proprement dite, il est au préalable nécessaire d'en extraire les caractéristiques de tous les caractères : ce qui constitue la phase d'*apprentissage*. La dernière opération importante restant à faire pour arriver à identifier le caractère est la *reconnaissance*.

1. EXTRACTION DES CARACTERISTIQUES :

L'extraction des caractéristiques est le dernier processus de réduction de l'information et est fortement liée à la structure de la bibliothèque des objets que l'on désire pouvoir reconnaître. En effet, ces caractéristiques doivent avoir la propriété d'effectuer une bonne discrimination d'un objet à l'autre tout en restant en nombre limité afin de réduire les temps de calcul tant au niveau de leur extraction qu'au niveau de leur analyse par le système de reconnaissance. Ceci explique pourquoi les systèmes actuels de vision sont capables de reconnaître un nombre limité d'objets pour une

application donnée tout en gardant des performances honorables.

On peut classer les caractéristiques suivant trois familles :

- * Les caractéristiques topologiques.
- * Les caractéristiques fonctionnelles.
- * Les caractéristiques géométriques.

Dans notre cas on a à faire à des caractères arabes isolés. Ces derniers sont décrits par une série de moments, qui font partie des caractéristiques fonctionnelles. On obtient ainsi par décomposition de l'image dans une base de fonctions (moments) une représentation des caractères sous forme de série. La dimension de la base est sept du fait qu'on s'est limité aux sept premiers termes du développement.

Les Moments :

soit $I(i, j)$ l'image traitée que l'on veut reconnaître. Le moment généralisé d'ordre $(p+q)$ d'une telle image s'écrit :

$$m_{pq} = \sum_{i=0}^{\text{Maxlin}} \sum_{j=0}^{\text{Maxcol}} i^p j^q I(i, j) \quad [\text{ref 5}]$$

pour $p, q = 0, 1, 2, 3$.

Dans une image blanche sur fond noir, le moment d'ordre 0 représente la surface du caractère : $m_{00} = \sum_i \sum_j I(i, j)$

Les moments d'ordre 1 sont définis par :

$$m_{10} = \sum_i \sum_j i I(i, j) \quad m_{01} = \sum_i \sum_j j I(i, j)$$

ils définissent le centre de gravité (\bar{X}, \bar{Y}) du caractère considéré :

$$\bar{X} = \frac{m_{10}}{m_{00}} \quad \bar{Y} = \frac{m_{01}}{m_{00}}$$

Les moments centrés d'ordre (p, q) sont donnés par :

$$\mu_{pq} = \sum_{i=0}^{\text{Maxlin}} \sum_{j=0}^{\text{Maxcol}} (i-\bar{X})^p (j-\bar{Y})^q I(i, j) \quad \text{[ref 5]}$$

Les moments centrés allant jusqu'à l'ordre trois (3) sont :

$$\mu_{10} = \sum_{i=0}^{\text{Maxlin}} \sum_{j=0}^{\text{Maxcol}} (i-\bar{X})^1 (j-\bar{Y})^0 I(i, j) = m_{10} - \frac{m_{10}}{m_{00}} m_{00} = 0$$

$$\mu_{01} = \sum_{i=0}^{\text{Maxlin}} \sum_{j=0}^{\text{Maxcol}} (i-\bar{X})^0 (j-\bar{Y})^1 I(i, j) = m_{01} - \frac{m_{01}}{m_{00}} m_{00} = 0$$

$$\mu_{11} = \sum_{i=0}^{\text{Maxlin}} \sum_{j=0}^{\text{Maxcol}} (i-\bar{X})^1 (j-\bar{Y})^1 I(i, j) = m_{11} - \frac{m_{10} m_{01}}{m_{00}}$$

$$\mu_{20} = \sum_{i=0}^{\text{Maxlin}} \sum_{j=0}^{\text{Maxcol}} (i-\bar{X})^2 (j-\bar{Y})^0 I(i, j) = m_{20} - \frac{m_{10}^2}{m_{00}}$$

$$\mu_{02} = \sum_{i=0}^{\text{Maxlin}} \sum_{j=0}^{\text{Maxcol}} (i-\bar{X})^0 (j-\bar{Y})^2 I(i, j) = m_{02} - \frac{m_{01}^2}{m_{00}}$$

$$\mu_{30} = \sum_{i=0}^{\text{Maxlin}} \sum_{j=0}^{\text{Maxcol}} (i-\bar{X})^3 (j-\bar{Y})^0 I(i, j) = m_{30} - 3\bar{X}m_{20} + 2m_{10}\bar{X}^2$$

$$\mu_{12} = \sum_{i=0}^{\text{Maxlin}} \sum_{j=0}^{\text{Maxcol}} (i-\bar{X})^1 (j-\bar{Y})^2 I(i, j) = m_{12} - 2\bar{Y}m_{11} - \bar{X}m_{02} + 2\bar{Y}^2 m_{00}$$

$$\mu_{21} = \sum_{i=0}^{\text{Maxlin}} \sum_{j=0}^{\text{Maxcol}} (i-\bar{X})^2 (j-\bar{Y})^1 I(i, j) = m_{21} - 2\bar{X}m_{11} - \bar{Y}m_{20} + 2\bar{X}^2 m_{00}$$

$$\mu_{03} = \sum_{i=0}^{\text{Maxlin}} \sum_{j=0}^{\text{Maxcol}} (i-\bar{X})^0 (j-\bar{Y})^3 I(i, j) = m_{03} - 3\bar{Y}m_{02} + 2\bar{Y}^3 m_{00}$$

En resumé ;

$$\mu_{00} = m_{00} ;$$

$$\mu_{10} = 0 ;$$

$$\mu_{01} = 0 ;$$

$$\mu_{20} = m_{20} - \bar{X} m_{10} ;$$

$$\mu_{02} = m_{02} - \bar{Y} m_{01} ;$$

$$\mu_{11} = m_{11} - \bar{Y} m_{10}$$

$$\mu_{30} = m_{30} - 3\bar{X}m_{20} + 2m_{10}\bar{X}^2$$

$$\mu_{21} = m_{21} - 2\bar{X}m_{11} - \bar{Y}m_{20} + 2\bar{X}^2 m_{01}$$

$$\mu_{12} = m_{12} - 2\bar{Y}m_{11} - \bar{X}m_{02} + 2\bar{Y}^2 m_{10}$$

$$\mu_{03} = m_{03} - 3\bar{Y}m_{02} + 2m_{01}\bar{Y}^2$$

Ces moments sont invariants par translation de l'image.

Les moments centrés normés notés η_{pq} se définissent par l'expression :

$$\eta_{pq} = \frac{\mu_{pq}}{\mu_{00}^\gamma} \quad \text{avec} \quad \begin{cases} p+q = 2, 3, \dots \\ \gamma = \frac{p+q}{2} \end{cases} \quad [\text{ref 5}]$$

Ces moments engendrent des moments généralisés invariants par translation, rotation et homothétie, c'est à dire par le groupe des similitudes affines (Voir Démo.V.1). Nous en présenterons ci-dessous un groupe de sept :

$$\phi_1 = \eta_{20} + \eta_{02} ;$$

$$\phi_2 = (\eta_{20} + \eta_{02})^2 + 4\eta_{11}^2 ;$$

$$\phi_3 = (\eta_{30} - 3\eta_{12})^2 + (3\eta_{21} + \eta_{03})^2 ;$$

$$\phi_4 = (\eta_{30} - \eta_{12})^2 + (\eta_{21} + \eta_{03})^2 ;$$

$$\phi_5 = (\eta_{30} - 3\eta_{12})(\eta_{30} + \eta_{12})[(\eta_{30} + \eta_{12})^2 - 3(\eta_{21} + \eta_{03})^2] + (3\eta_{21} - \eta_{03})(\eta_{21} + \eta_{03})[3(\eta_{30} + \eta_{12})^2 - (\eta_{21} + \eta_{03})^2] ;$$

$$\phi_6 = (\eta_{20} - \eta_{02})[(\eta_{30} + \eta_{12})^2 - (\eta_{21} + \eta_{03})^2] + 4\eta_{11}(\eta_{30} + \eta_{12})(\eta_{21} + \eta_{03}) ;$$

$$\phi_7 = (3\eta_{12} - \eta_{30})(\eta_{30} + \eta_{12})[(\eta_{30} + \eta_{12})^2 - 3(\eta_{21} + \eta_{03})^2] + (3\eta_{21} - \eta_{03})(\eta_{21} + \eta_{03})[3(\eta_{30} + \eta_{12})^2 - (\eta_{21} + \eta_{03})^2] ;$$

Il est intéressant de noter que des silhouettes d'avions en vol ont pu être décrites par la mesure des sept moments généralisés. [ref 3]

II. APPRENTISSAGE :

Comme on l'a dit, avant d'être opérationnel, le processus de reconnaissance doit passer par une phase d'apprentissage. L'apprentissage consiste à établir une correspondance entre le caractère et son modèle. Notre système va en extraire les moments de chaque caractère (de l'alphabet arabe isolé) de manière à constituer une bibliothèque de moments. Cette notion de bibliothèque montre bien que l'on évolue dans un univers limité de caractères reconnaissables. Ceci signifie que si l'on demande par la suite au système de reconnaître un

caractère qui n'appartient pas à la bibliothèque (ou non isolé) il en sera incapable ou bien donnera une réponse erronée.

La base de donnée que nous avons élaborée est constituée de 29 caractères isolés. Elle a été intégrée dans un fichier portant le nom "BASE.DAT" et possède une structure matricielle 29 lignes x 7 colonnes. Chaque ligne présente les caractéristiques (moments) d'un des caractères constituant la base de donnée (Voir Fig V.1).

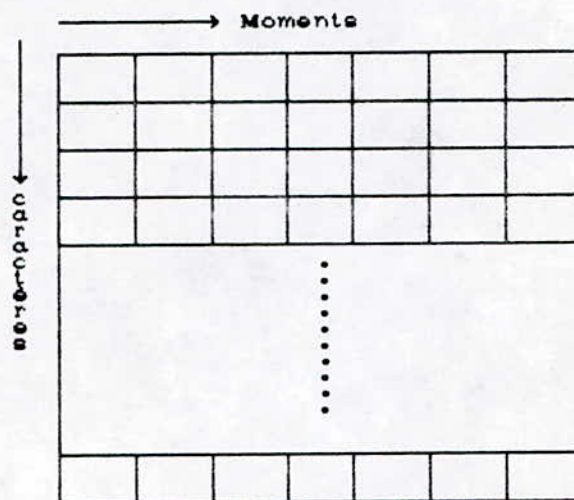


Fig V.1. : Organisation de la base de données.

3. RECONNAISSANCE ET DECISION :

L'étape finale de la vision constitue l'interprétation

des caractéristiques extraites de l'image; c'est à dire la reconnaissance des formes.

Le choix d'un processus de reconnaissance de formes est lié à la base au type de description que l'on désire pour caractériser un objet. Il existe grossièrement deux:

- Description paramétrique
- Description structurelle

Le modèle choisi dans notre cas est un modèle paramétrique qui consiste à caractériser un caractère par un vecteur dont les éléments sont les sept moments invariants décrits précédemment^m. Le choix d'un tel modèle est dû à sa simplicité de construction ce qui lui a permis une large application. La seule difficulté consiste à choisir une liste de caractéristiques qui permettent une bonne discrimination entre les différents objets de la bibliothèque (Voir Fig V.2 représentant la distribution des moments dans la base de données).

Règle de décision :

Nous avons vu que chaque caractère de la base de données est représenté par un vecteur S_{ij} $i=1..29$, $j=1..7$, où i désigne l'indice du caractère et j l'indice relatif aux caractéristiques (Ordre du moment).

La règle de décision utilisée s'appuie sur la notion de distance euclidienne. On définit cette distance entre deux points repérés par leurs vecteurs r_1 et r_2 de dimension N par :

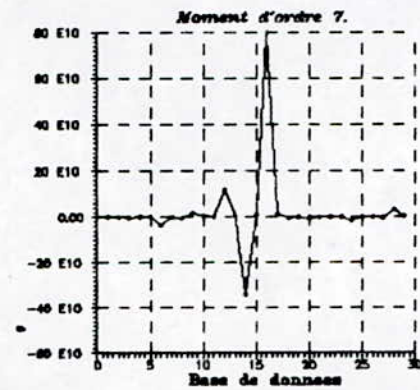
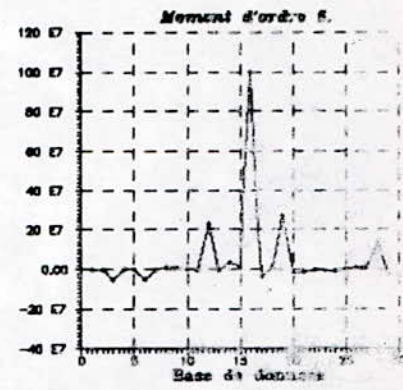
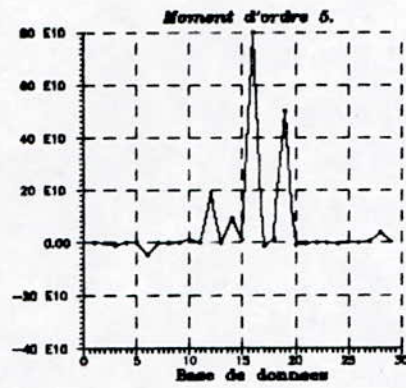
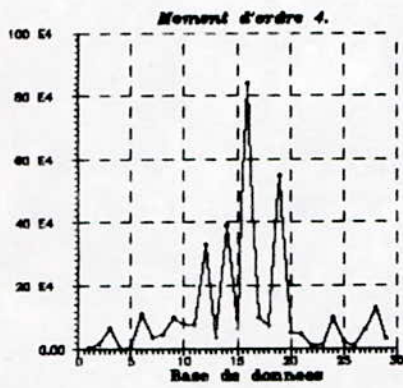
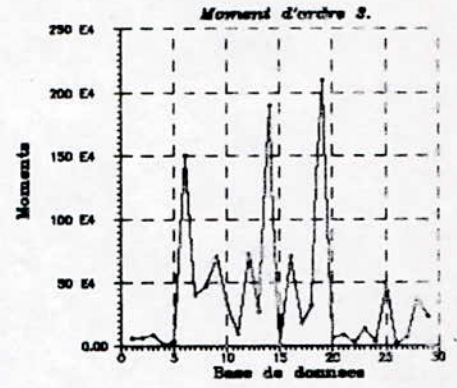
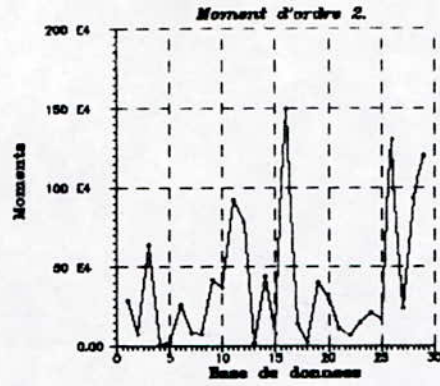
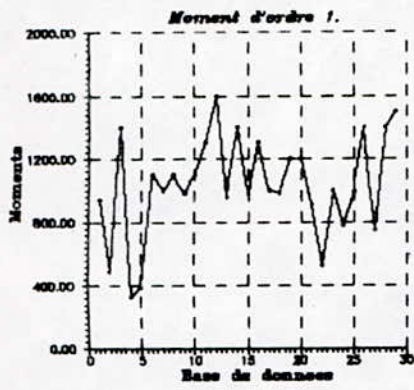


Fig V.2 Courbes représentant les variations des sept moments.
L'axe des X représente les 29 caractères arabes donnés dans l'ordre suivant :

$$\begin{aligned}
 D(r_1, r_2) &= \|r_1 - r_2\| \\
 &= ((r_1 - r_2)^T (r_1 - r_2))^{1/2} \\
 &= \left[\sum_{k=1}^N (r_{1k} - r_{2k})^2 \right]^{1/2}
 \end{aligned}$$

La reconnaissance d'un caractère représenté par un vecteur X consiste à trouver la distance minimale $D(S_i, X)$ définie comme suit :

$$D(S_i, X) = \text{Min} \left\{ D(S_l, X) \right\}_{l=1..20}$$

Donc la $i^{\text{ème}}$ ligne de la base de données représente les moments de l'élément le plus voisins du caractère X que l'on veut reconnaître.

4. RESULTATS OBTENUS :

4.1. Temps moyens :

4.1.1. Temps moyen de filtrage :

Les valeurs données ont été obtenues par une moyenne sur des caractères pris aléatoirement de l'alphabet arabe.

Filtre	Taille 3	5	7	9
Moyen	11.40 "	25.85 "	45.90 "	1'5.40"
Gauss	18.90 "	27.80 "	35.80 "	44.00 "
Median		17.70 "		

4.1.2. Temps moyen de detection de contour :

<i>Opérateurs</i>	<i>Roberts</i>	<i>Sobel</i>	<i>Perwitt</i>	<i>Laplace</i>
<i>Résultats</i>	3.15 "	6.60 "	7.10 "	11.40 "

4.1.3. Temps moyen de binarisation :

<i>Opérations</i>	<i>Binarisation</i>	<i>Dilatation</i>	<i>Erosion</i>
<i>Résultats</i>	1.05 "	5.40 "	3.50 "

4.1.4. Temps moyen de calcul des moments :

Des essais sur un échantillon de caractères ont donné le temps moyen suivant :

40,50 "

4.1.5. Temps moyen de calcul du plus proche voisin :

Pour divers caractères, on a obtenu le temps suivant :

5.5 "

On note que ce temps est très instable, car il dépend de la disposition des moments dans la base de données.

4.1.6. Temps moyen global de reconnaissance automatique :

49.5 "

On précise que la fonction Cettime de Turbo-Pascal utilisée, donne une variation de ± 5 centième de second.

4.2. Taux de reconnaissance :

4.2.1. Taux de reconnaissance pour caractères rotés :

Angle (rad)	$\pi/2$	$-\pi/2$	π
Taux (%)	98	98	99

4.2.2. Taux de reconnaissance pour caractères translétés :

Translation (X, Y)	10,10	-10,10	10,-10	-10,-10
Taux (%)	99	99	98	99

Les valeurs de la translation ne sont pas limitées pourvu que le caractère ne sort pas du cadre.

4.2.3. Taux de reconnaissance pour caractères ayant subit une homothétie :

<i>Rapport d'homothétie</i>	0.9	0.97	1.03	1.1
<i>Taux (%)</i>	1	99	98	1

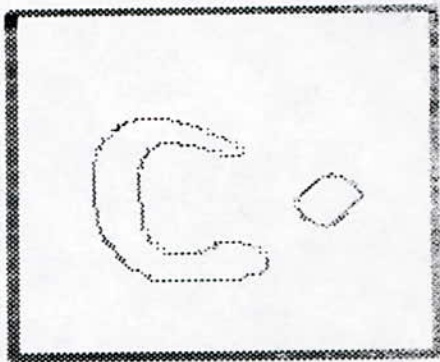
On voit bien que le caractère n'est pas reconnu lorsque le rapport d'homothétie est hors de l'intervalle [0.97,1.03]. A cause des erreurs d'arrondissements.

4.2.4. Taux de reconnaissance pour caractères ayant subi une symétrie :

<i>Axe de symétrie</i>	X	Y	XY
<i>Taux (%)</i>	99	99	98

4.2.5. Taux globale de reconnaissance :

95 %

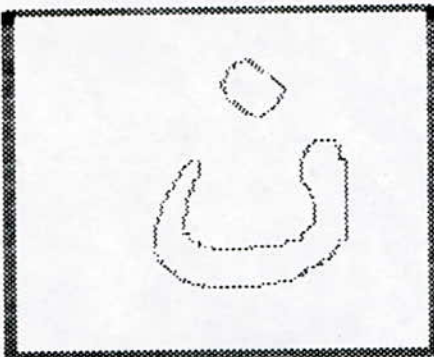


Fichier : noun.mom

```

M01 = 9.8E+02
M02 = 7.7E+04
M03 = 4.3E+03
M04 = 6.4E+04
M05 = 1.1E+10
M06 = 1.4E+07
M07 = 1.0E+10

```

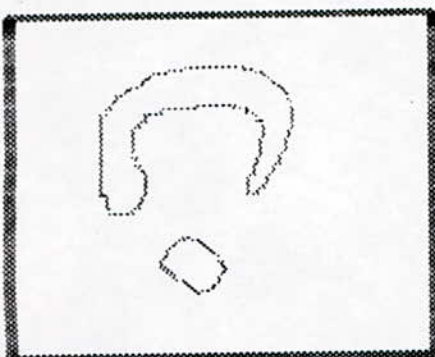


Fichier :> noun.rpp

```

M01 = 9.8E+02
M02 = 7.7E+04
M03 = 4.9E+05
M04 = 6.4E+04
M05 = 1.1E+10
M06 = 1.4E+07
M07 = -1.0E+10

```

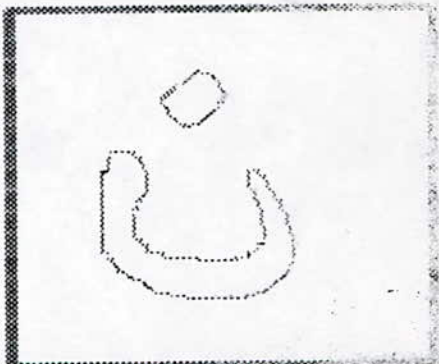


Fichier :> noun.rmp

```

M01 = 9.8E+02
M02 = 7.7E+04
M03 = 4.9E+05
M04 = 6.4E+04
M05 = 1.1E+10
M06 = 1.4E+07
M07 = -1.0E+10

```

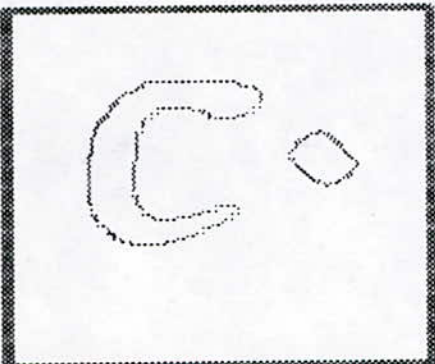


Fichier :> noun.inv

```

M01 = 9.8E+02
M02 = 7.7E+04
M03 = 4.9E+05
M04 = 6.4E+04
M05 = 1.1E+10
M06 = 1.4E+07
M07 = -1.0E+10

```

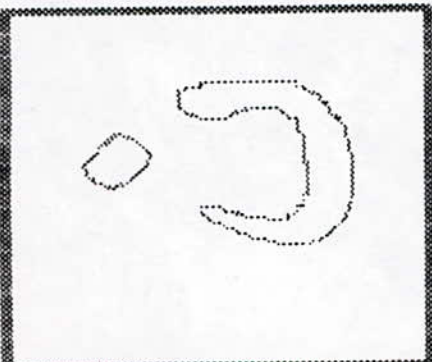


Fichier :> noun.say

```

M01 = 9.8E+02
M02 = 7.7E+04
M03 = 4.3E+03
M04 = 6.4E+04
M05 = 1.1E+10
M06 = 1.4E+07
M07 = 1.0E+10

```

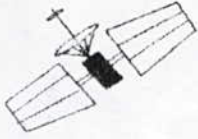


Fichier :> noun.rpi

```

M01 = 9.8E+02
M02 = 7.7E+04
M03 = 4.3E+03
M04 = 6.4E+04
M05 = 1.1E+10
M06 = 1.4E+07
M07 = 1.0E+10

```



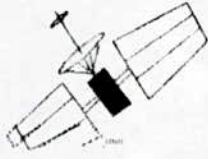
CONCLUSION

Dans la présente étude, nous avons développé un logiciel qui nous a permis d'étudier la méthode des moments pour la reconnaissance des caractères arabes isolés. Elle nous a permis de voir les principales techniques du traitement d'image. Les caractères utilisés sont des caractères eus par scanner (TIF) ce qui a permis de donner un aspect plus ou moins réaliste à notre étude.

L'objectif visé est largement atteint : il s'agissait d'étudier les performances des moments sur les caractères arabes isolés. Les sept moments invariants ont été suffisants pour modéliser les caractères avec une discrimination acceptable. En effet, le taux de reconnaissance globale, qui est de 95 % , est acceptable avec un temps de calcul relativement bon (50"). La méthode s'est avérée efficace pour les caractères ayant subi des translations, rotations et symétries, mais moins performante pour l'homothétie à cause des erreurs d'arrondie qui interviennent dans le calcul de cette transformation. Ce qui n'est pas le cas pour une homothétie réelle (non simulée).

En ce qui concerne le filtrage, l'opérateur est invité à choisir le filtre le plus adapté à son application. Par contre, pour la détection de contour, le choix s'est porté sur l'opérateur de Laplace qui est le plus approprié, dans notre cas, pour la reconnaissance.

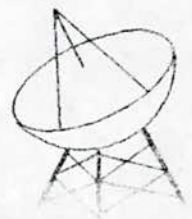
Le produit réalisé, présente l'avantage d'être réalisé sur matériel compatible, d'où la possibilité d'une large utilisation. On espère qu'il fournira une main d'aide dans le domaine de la *vision assistée par ordinateur* V . A . O .



ANNEXE I

PRINCIPALES PROCEDURES

PASCAL REALISEES



PRINCIPALES DECLARATIONS ET PROCEDURES UTILISEES

```

unit Declarations;
interface
uses crt,graph,dos;
const
  maxlin=127;
  maxcol=127;
  nivmax=15;
  nbrelet=29;
type
  Mom=array[1..7] of real;
  Base=array[1..nbrelet] of Mom;
  FileMom=File of Mom;
  FileBase=File of Base;
  lin=array[0..maxlin] of byte;
  image=array[0..maxcol] of lin;
  fimage=file of image;
  nomfich=string[20];
  linlon=array[0..maxcol] of integer;
  imalon=array[0..maxlin] of linlon;
  flinlon=file of linlon;
  fimalon=file of imalon;
  imabin=array[0..maxlin,0..maxcol] of Boolean;
var
  ImaOut,ImaIn      :image;
  procedure SaveIma(nom:nomfich;var ima:image);(*sauvegarde une image*)
  procedure ChargeIma(nom: nomfich;var ima:image;var tem:boolean);
  procedure Affima(imag:image;xie,yje:integer);
  procedure DetruitDmage(ch:nomfich);
  procedure CreeImage(var ch:nomfich);
  procedure lecgr(var strg:string);(* lit un string *)
  procedure lecnbr(var nbr:integer;message:string);(* lit un nombre *)
  procedure TraceHisto(var imag:image;X,Y:integer;sg:nomfich);
  procedure TraceHistoCum(var imag:image;X,Y:integer;sg:nomfich);
  procedure Efface_Fenetre;
  procedure ROBERTS(var CH:NOMFICH);
  procedure Sobel(var ch:nomfich);
  procedure Perwitt(var ch:nomfich);
  procedure LAPLACE(var ch:nomfich);
  procedure Binair(ch:nomfich);
  procedure Dilatation(Ch:NomFich);
  procedure Erosion(ch:nomfich);
  procedure Moyenne(var ch:nomfich);
  procedure EgalHis(var nf:nomfich);
  procedure Gauss(var ch:nomfich);
  procedure Median(var ch:nomfich);
  procedure IntroBruit(var ch:nomFich);
  procedure Renomer;
  procedure lgr(mi:string;var strg:string); (* lit un string *)
  procedure Impr; (* imprime l'écran de sortie *)
  procedure Auto (var ch:nomfich); (* reconnaissance automatique *)
begin
end.

```

Cette procedure calcul le nombre de niveaux de gris reellement present dans l'image, puis effectue l'egalisation en divisant ce nombre par deux pour obtenir le nombre de niveaux finaux.

```

procedure moyenne(var ch:nomfich);
label 22;
var
    taille,demi_taille    :integer;
    ImaI,ImaO             :image;
    i,j,k,l               :integer;
    scale,Somme           :integer;
    boo                   :boolean;

begin
    chargeIma(ch,ImaI,boo);
    if boo=false then goto 22;
    settxtstyle(2,0,5);setcolor(7);
    lecnbr(taille,'Taille du filtre en pixel : "Taille>3 ;Taille<127"');
    scale:=taille*taille;
    demi_taille:=(taille-1) div 2;

    { i n i t i a l i s a t i o n   t a b l e a u }

    for i:=0 to maxlin do
        for j:=0 to maxcol do
            ImaO[i,j]:=0;

    efface(49);outtextxy(50,getmaxy-22,' Calcul en cours.... ');

    (*   F I L T R A G E   *)

    for i:= demi_taille to Maxlin-demi_taille do
    for j:= Demi_taille to Maxcol-demi_taille do

        begin
            somme:=0;
            for k:=i-demi_taille to i+demi_taille do
                for l:=j-demi_taille to j+demi_taille do

                    begin
                        somme:= somme + imaI[k,l];textbackground(14);
                    end;

                    imao[i,j]:= somme div scale;
                end;
            end;

        repeat until keypressed;

22: end;

```

Cette procedure réalise un filtrage passe bas. La taille du masque doit être impaire et peut être comprise entre 0 et 127.

```

procedure egalhis(var nf:nomfich);
label 22;
const  nivmax=15;
type
  hist=array[0..255] of integer;
var    imin,imout      :image;
       histo,transf   :hist;
       gd,gm,pixel,moyen :integer;
       bande,centrebande,ec :integer;
       somme,sommeprec  :integer;
       OrigNiv,Finniv  :integer;
       i,j,ideb,iprec  :integer;
       boo             :boolean;

begin
  chargeima(nf,ImIn,boo);if boo=false then goto 22;
  gettime(h0,m0,t0,hd0); t0:=3600*h0+60*m0+t0;
  redfich(nf);
  for i:=0 to nivmax do
    histo[i]:=0;

  (***** Calcul Histograme *****)

  settextstyle(2,0,5);setcolor(7);
  efface(49);outtextxy(50,getmaxy-22,' Calcul en cours ... ');
  for i:=0 to maxlin do
    for j:=0 to maxcol do
      begin
        pixel:=imin[i,j];
        histo[pixel]:=histo[pixel]+1;
      end;
  (** Calcul du nombre de niveaux de gris reellement present dans l'image **)
  OrigNiv:=0;
  for i:= 0 to nivmax do
    if histo[i]>0 then  origniv:=origniv+1;

  (**CALCUL DE NOMBRE DE NIVEAUX FINAUX ET LARGUEUR DE CHAQUE BANDE FINALE**)

  finniv:=(origniv div 1);
  bande:=nivmax div finniv;
  centrebande:=(bande div 2);
  moyen:=(((maxlin+1)*(maxcol+1)) div finniv);

  (***** CALCUL DE LA TABLE DE TRANSFORMATION *****)

  i:= 0 ; ideb:=0 ; iprec :=0;
  while i <= nivmax do

  (** INTEGRATION DES NIVEAU TANT QUE LA VAL MOY PAS DEPASSE *****)

begin
  SOMME:=0;

```

```

WHILE (SOMME< MOYEN) and (i<= nivmax) do
begin
  sommeprec:= somme;
  somme:=somme+histo[i];
  if (somme<moyen) and (histo[i]>0) then      iprec:=i;
  i:=i+1;
end;

```

(***ON REGARDE QUELLE SOMME EST LA PLUS PROCHE DE LA VALEUR IDEALE***)

```

  if abs(somme-moyen)<=abs(sommeprec-moyen) then
begin
  for j:=ideb to i-1 do transf[j]:=centrebande;
  ideb:=i;
end
else
begin
  for j:= ideb to iprec do begin transf[j]:=centrebande;end;
  ideb:=iprec+1;
end;

```

(***** ON PASSA A LA BANDE SUIVANTE *****)

```

  centrebande:=centrebande + bande;
  iprec:=i;
  if centrebande> nivmax then begin
  writeln;gotoxy(20,20);
  efface(49);outtextxy(50,getmaxy-22,'niveau 15 dépassé...');
  end;
end;

```

{ ////////////////*** Egalisation ***\\}

```

  for i:=0 to maxlin do
  for j:= 0 to maxcol do
  begin
    pixel:=ImIn[i,j];ImOut[i,j]:=transf[pixel] ;
  end;
  repeat until keypressed;
22: end;

```

Cette procedure assure un filtrage gaussien d'une image en utilisant la separabilité du filtre. La taille du filtre est paramétrable et doit être impaire, comprise entre 3 et 127.

```

procedure gauss(var ch:nomfich);
label 22;
var
  filtre                :array[0..128] of real;
  taillefiltre,detaille :integer;
  sigma,somme           :real;

```

```

ima, imatemp           :image;
s0                     :string[10];
i, j, k, l            :integer;
pix1, pix2            :real;
boo                    :boolean;

```

```
begin
```

```

chargeima(ch, ima, boo); if boo=false then goto 22;
settextstyle(2, 0, 5); setcolor(7);
lecnbr(taillefiltre, 'Taille du filtre en pixel (impaire) : ');
gettime(h0, m0, t0, hd0); t0:=3600*h0+60*m0+t0;
sigma:=(taillefiltre-1) / 4; writeln;
efface(49); outtextxy(50, getmaxy-22, ' sigma = '+str(sigma, s0));
demitaille:=(taillefiltre-1) div 2;

```

```
(*..... coeficient.....*)
```

```
efface(49); outtextxy(50, getmaxy-22, ' Calcul en cours ... ');
```

```
somme:=0;
```

```
for i:=0 to taillefiltre-1 do
```

```
begin
```

```
    filtre[i]:=exp(-((i-demitaille)*(i-demitaille)/2./sigma/sigma));
```

```
    somme:=somme+filtre[i]
```

```
end;
```

```
for i:=0 to taillefiltre-1 do
```

```
    filtre[i]:=filtre[i]/somme;
```

```
(*****INITIALISATION DES DIFFERENTS TABLEAUX*****)
```

```
for i:=0 to maxlin do
```

```
    for j:=0 to maxcol do
```

```
        imatemp[i, j]:=0;
```

```
101
```

```
(*****FILTRAGE SUIVANT LES COLONNES*****)
```

```
for i:=demitaille to maxlin-demitaille do
```

```
    for j:=demitaille to maxcol-demitaille do
```

```
        begin
```

```
            pix1:=0;
```

```
            for k:= i-demitaille to i+demitaille do
```

```
                begin
```

```
                    pix2:=ima[k, j];
```

```
                    pix1:=pix1+(filtre[k-i+demitaille]*pix2)
```

```
                end;
```

```
            imatemp[i, j]:=trunc(pix1);
```

```
        end;
```

```
(*****MISE A ZERO DE L'IMAGE RESULTAT*****)
```

```
for i:=0 to maxlin do
```

```
    for j:=0 to maxcol do
```

```
        ima[i, j]:=0;
```

```
(*****FILTRAGE SUIVANT LES LIGNES *****)
```

```

for i:=demitaille to maxlin-demitaille do
  for j:=demitaille to maxcol-demitaille do
    begin
      pix1:=0;
      for k:=j-demitaille to j+demitaille do
        begin
          pix2:=imatemp[i,k];
          pix1:=pix1+(filtre[k-j+demitaille]*pix2)
        end;
      ima[i,j]:=trunc(pix1);
    end;
repeat until keypressed;
22: end;

```

Cette procedure réalise un filtrage median d'une image avec un masque en croix de taille 5. L'algorithme de tri utilisé est de type methode de la BULLE.

```

procedure median(var ch:nomfich);
label 22;
var imain,imaout           :image;
    i,j,k,l,inter         :integer;
    tri                    :array[0..8] of integer;
    endtri                 :boolean;
    boo                    :boolean;

begin
  setcolor(7);
  chargeima(ch,imain,boo);if boo=false then goto 22;
  setttextstyle(2,0,5);setcolor(7);
  efface(49);outtextxy(50,getmaxy-22,' Calcul en cours ... ');

  (***** MISE A ZERO DU CADRE *****)

  for i:=0 to maxlin do
    for j:=0 to 1 do
      begin
        imaout[i,j]:=0;
        imaout[i,maxcol-j]:=0;
      end;
    for i:=0 to 1 do
      for j:=0 to maxcol do
        begin
          imaout[i,j]:=0;
          imaout[maxlin-i,j]:=0;
        end;
      outtextxy(50,getmaxy-22,' Calcul en cours ... ');
      for i:=2 to maxlin-2 do
        for j:=2 to maxcol-2 do
          begin
            (****REPLISSAGE DE LA TABLE DE TRI A L'AIDE DES PIXELS VOISINS DU PIXEL****
            (*****COURANT COMPRIS DANS LA CROIX DE LA TAILLE 5*5*****

```

```

for k:=-2 to 2 do tri[k+2]:=imain[i,j+k];
for k:=-2 to -1 do tri[k+7]:=imain[i+k,j];
for k:=1 to 2 do tri[k+6]:=imain[i+k,j];

```

(*****TRI DESPIXELS DE LA TABLE PAR ORDRE CROISSANT*****)

```

endtri:=false;
while not(endtri) do
begin
endtri:=true;
for l:=1 to 8 do
if tri[l-1]>tri[l] then
begin
inter:=tri[l];
tri[l]:=tri[l-1];
tri[l-1]:=inter;
endtri:=false;
end
end;

```

(*****CHOIX DES VALEURS MEDIAN *****)

```

imaout[i,j]:=tri[4]
end;
repeat until keypressed;
22: end;

```

Cette procedure genere un bruit impulsional et l'ajoute à l'image de travail. Ce bruit est paramétrable en intensité et en densité.

```

PROCEDURE IntroBruit(var ch:nomFich);

```

```

label 22;

```

```

var

```

```

ImaIn, ImaOut           :image;
i, j, c1, c2            :integer;
pixel, pixBruit, bruit  :integer;
Densite                 :integer;
NivBruit1, Nivbruit2    :integer;
boo:boolean;

```

```

begin

```

```

ChargeIma(ch, ImaIn, boo); if boo=false then goto 22;
randomize;

```

```

(*INTRODUCTION DS PARAMETRES*)

```

```

setcolor(7); settextstyle(2,0,5);
outtextxy(50, getmaxy-22, 'INTRODUCTION DE BRUIT DANS L''IMAGES' );
delay(1000); efface(0);
lecnbr(NivBruit1, 'Niveau du bruit : ');
lecnbr(Densite, 'Densite de bruit : ');

```

```

(* introduction du bruit *)

```

```

efface(49);outtextxy(50,getmaxy-22,' Calcul en cours... ');
for i:=0 to maxlin do
  for j:=0 to maxcol do
    begin
      (* DETERMINATION DE L'AFFECTION DE BRUIT SUR UN PIXEL OU NON *)

      Pixel:=random(Densite)+1;

      (* PIXEL AFFECTE PAR LE BRUIT *)

      if Pixel=Densite then
        begin
          Bruit:=random(NivBruit1);
          PixBruit:=ImaIn[i,j]+Bruit;
          if PixBruit>NIVMAX then PixBruit:=0;
          if PixBruit<0 then PixBruit:=nivmax;
          ImaOut[i,j]:=PixBruit;
        end

        (* PIXEL NON AFFECTE PAR LE BRUIT *)

      else
        ImaOut[i,j]:=ImaIn[i,j]
      end;
    repeat until keypressed;
  22:end;

```

Cette procedure calcul le gradient d'une image en utilisant l'opérateur de Roberts. Le résultat est un tableau contenant les amplitudes du gradient. Celle-ci sont calculées par le max des valeurs en X et Y.

```

PROCEDURE ROBERTS(var CH:NOMFICH);
label 11;
var
    imain, imaout      : image;
    GradX, GradY       : integer;
    i, j               : integer;

begin
    chargeima(ch, imain, bop); if bop=false then goto 11;
    settxtstyle(2,0,5);      efface(49);
    outtextxy(50, getmaxy-22, ' Calcul en cours... ');
    for i:=0 to maxlin do
        for j:=0 to 1 do
            begin
                imaout[i,j]:=0;
                imaout[i,maxcol-j]:=0;
            end;
        for i:=0 to 1 do
            for j:=0 to maxcol do
                begin
                    imaOut[i,j]:=0;
                    imaout[maxlin-i,j]:=0;
                end;
            end;

    (*          D E R I V A T I O N          *)
    for i:= 1 to maxlin-1 do
        for j:=1 to maxcol-1 do
            begin
                gradX:=ImaIn[i,j]-ImaIn[i,j-1];
                gradY:=imain[i,j]-imain[i-1,j];
            {*** Calcul de l'amplitude par le max des valeurs absolues **** }
                if abs(gradx)<abs(grady) then imaout[i,j]:=abs(grady)
                else imaout[i,j]:=abs(gradx);
            end;
    repeat until keypressed;
    11:end;

```

Cette procedure calcul le gradient d'une image en utilisant l'opérateur de Sobel. Le résultat est un tableau contenant les amplitudes du gradient. Celle-ci sont calculées par le max des valeurs en X et Y.

```

procedure sobel(var ch:nomfich);
label 11;
var
    Imain, ImaOut      : image;
    Gradx, GradY       : integer;
    i, j               : Integer;

begin
    chargeima(ch, ImaIn, bop); if bop=false then goto 11;

```

```

    settextstyle(2,0,5);
    efface(49);outtextxy(50,getmaxy-22,' Calcul en cours... ');

{ mise à zero du cadre...}

for i:=0 to maxlin do
  for j:=0 to 1 do
    begin
      ImaOut[i,j]:=0;
      Imaout[i,maxcol-j]:=0;
    end;
  for i:=0 to 1 do
    for j:=0 to maxcol do
      begin
        ImaOut[i,j]:=0;
        ImaOut[maxlin-i,j]:=0;
      end;
    for i:=1 to maxlin-1 do
      for j:=1 to maxcol-1 do
        begin
          GradX:= ImaIn[i-1,j+1]+2*ImaIn[i,j+1]+imain[i+1,j+1]
                -Imain[i-1,j-1]-2*Imain[i,j-1]-imain[i+1,j-1];
          Grady:= ImaIn[i+1,j-1]+2*ImaIn[i+1,j]+imain[i+1,j+1]
                -Imain[i-1,j-1]-2*Imain[i-1,j]-imain[i-1,j+1];
          if abs(GradX)<abs(gradY) then ImaOut[i,j]:=abs(GradY) div 4
            else ImaOut[i,j]:=abs(gradX) div 4;
        end;
      repeat until keypressed;
    ll: end;

```

Cette procedure calcule le Laplacien d'une image. L'image resultat est une matrice des passages par zéro du laplacien. Les valeurs sont recadrées entre zéro et NivMax.

```

PROCEDURE LAPLACE(var ch:nomfich);
label ll;
var
  ima,ImaAux      :image;
  i,j,lapl,max,pix :integer;
  pixx,pixY,pixXY :integer;
  scale           :real;

Begin
  chargeima(ch,Ima,bop);if bop=false then goto ll;
  settextstyle(2,0,5);

(* MISE A ZERO DES BORDS *)

efface(49);outtextxy(50,getmaxy-22,' Calcul en cours...');
  for i:=0 to maxlin do
    for j:=0 to 1 do
      begin
        imaAux[i,j]:=0;
        imaAux[i,maxcol-j]:=0;

```

```

end;
for i:=0 to 1 do
  for j:=0 to maxcol do
    begin
      ImaAux[i,j]:=0;
      ImaAux[maxlin-i,j]:=0;
    end;
end;

{***** DERIVATION resultat ds ImaAux, 0<val *****}
{***** negative<126, 128<val positive<255 *****}
for i:=1 to maxlin-1 do
  for j:=1 to maxcol-1 do
    begin
      lapl:=8*ima[i,j]-ima[i-1,j]-ima[i+1,j]-ima[i,j-1]-ima[i,j+1]
            -ima[i-1,j-1]-ima[i+1,j+1]-ima[i-1,j+1]-ima[i+1,j-1];
      imaAux[i,j]:=lapl + 120
    end;
end;

{ D E T E C T I O N   D E S   P A S S A G E S   P A R   Z E R O   }
for i:=1 to maxlin-1 do
  for j:=1 to maxcol-1 do
    begin
      pix:=imaAux[i,j];
      pixX:=imaAux[i,j+1];
      pixY:=imaAux[i+1,j];
      pixXY:=imaAux[i+1,j+1];
      if (((pix>120) and (pixX<120)) or ((pix<120) and (pixX>120)) or
          ((pix>120) and (pixY<120)) or ((pix<120) and (pixY>120)) or
          ((pix>120) and (pixXY<120)) or ((pix<120) and (pixXY>120)))
      then
        begin
          Max:=abs(pix-pixX); ima[i,j]:=max;
          if abs(pix-pixY) > Max then begin
            Max:=abs(pix-pixY); ima[i,j]:=max;
          end;
          if abs(pix-pixXY) > Max then begin
            Max:=abs(pix-pixXY); ima[i,j]:=max;
          end;
        end
      else ima[i,j]:=0;
    end;
end;

{ calcul de l'amplitude max pour recadrer le resultat entre 0 et 255 }
max:=0;
for i:=1 to maxlin-1 do
  for j:=1 to maxcol-1 do
    if ima[i,j]> max then max:=ima[i,j];
  end;
end;

(***** R E C A D R A G E *****)
scale:= nivmax/max;
for i:=1 to maxlin-1 do
  for j:=1 to maxcol-1 do
    ima[i,j]:=trunc(ima[i,j]*scale);
  end;
end;
repeat until keypressed;
ll: end;

```

Cette procedure réalise la binarisation de l'image. L'utilisateur est invité à entrer les seuils bas et hauts de binarisation.

```

procedure Binarisation(ch:nomfich);
label 22;
var
  ImaIn,ImaOut      :image;
  i,j               :integer;
  seuilBas,SeuilHaut :integer;
  boo               :boolean;
begin
  for i:=0 to maxlin do
    for j:=0 to maxcol do
      Imaout[i,j]:=0;
  chargeIma(ch,ImaIn,boo);if boo=false then goto 22;
  begin

  (*      le choix des seuils de binarisation      *)
  lecnbr(SeuilBas,' Seuil Bas : ');
  lecnbr(SeuilHaut,' Seuil Haut: ');
  settxtstyle(2,0,5);setcolor(7);
  efface(49);outtextxy(10,getmaxy-22,'Calcul en cours . . .');

  (*****binarisation de l'image binaire*****)

    for i:=0 to maxlin do
      for j:=0 to maxcol do
        if (Imain[i,j]>=SeuilBas) and (ImaOut[i,j]<=seuilHaut)
        then
          begin
            ImaOut[i,j]:=nivmax;
          end
        else
          begin
            ImaOut[i,j]:=0;
          end;
      repeat until keypressed;
  22:end;
end;

```

Cette procédure effectue une dilatation de l'image en utilisant un masque de taille fixe 3x3.

```

procedure Dilatation(ch:NomFich);
label 22;
VAR
  ima           :image;
  Imabin1,imaBin2 :imaBin;
  i,j           :integer;
  boo           :boolean;
begin
  chargeIma(ch,Ima,boo);if boo=false then goto 22;
  settxtstyle(2,0,5);setcolor(7);efface(49);
  outtextxy(50,getmaxy-20,' Calcul en cours... ');

```

```
(***** INITIALISATION DES DIFFERENTS TABLEAUX *****)
(*****IMAGE INITIALE ImaBin1 RESULTAT DANS ImaBin2*****)
```

```
for i:=1 to maxlin-1 do
  for j:=1 to maxcol-1 do
    begin
      ImaBin1[i,j]:=false;
      ImaBin2[i,j]:=false;
      if Ima[i,j]>0 then ImaBin1[i,j]:=true
    end;
```

```
(*****DILATATION*****)
```

```
for i:=1 to maxlin-1 do
  for j:=1 to maxcol-1 do
    if ImaBin1[i-1,j-1] or ImaBin1[i,j-1]
       or ImaBin1[i+1,j-1] or ImaBin1[i-1,j+1]
       or ImaBin1[i,j+1] or ImaBin1[i+1,j+1]
    then ImaBin2[i,j]:=true
    else ImaBin2[i,j]:=ImaBin1[i,j];
```

```
(* TRANSFERT DANS Ima POUR SAUVEGARDE *)
```

```
for i:=1 to maxlin-1 do
  for j:=1 to maxcol-1 do
    if ImaBin2[i,j] then
      begin
        Ima[i,j]:=nivmax;
      end
    else
      begin
        Ima[i,j]:=0;
      end;

    repeat until keypressed;
  22:end;
```

Cette procédure effectue une érosion de l'image en utilisant un masque de taille fixe 3x3.

```
procedure Erosion(ch:romfich);
label 22;
var
  Ima          :image;
  ImaBin1,ImaBin2:imabin;
  i,j         :integer;
  boo         :boolean;
begin
```

```
  chargeIma(ch,Ima,boo);if boo=false then goto 22;
  setttextstyle(2,0,5);setcolor(7); efface(49);
  outtextxy(50,getmaxy-25,' Calcul en cours ... ');
```

```
(****INITIALISATION DES DIFFERENTS TABLEAUX IMAGE INITIALE DANS ****)
(*****ImaBin1 RESULTAT DANS ImaBin2 *****)
```

```

for i:=0 to maxlin do
  for j:=0 to maxcol do
    begin
      ImaBin1[i,j]:=false;
      ImaBin2[i,j]:=false;
      if Ima[i,j]>0 then ImaBin1[i,j]:=true
    end;

    (*****EROSION*****)

  for i:=1 to maxlin-1 do
    for j:=1 to maxcol-1 do

      if      ImaBin1[i-1,j-1]
      and ImaBin1[i,j-1]
      and ImaBin1[i+1,j-1]
      and ImaBin1[i-1,j+1]
      and ImaBin1[i,j+1]
      and ImaBin1[i+1,j+1] then ImaBin2[i,j]:=ImaBin1[i,j]

    else ImaBin2[i,j]:=false;

    (* TRANSFERT DANS Ima POUR SAUVEGARDE*)

  for i:=1 to maxlin-1 do
    for j:=1 to maxcol-1 do
      if ImaBin2[i,j] then
        begin
          Ima[i,j]:=nivmax;
        end
      else
        begin
          Ima[i,j]:=0;
        end;

      repeat until keypressed;

22:end;

```

Cette procedure permet de calculer le plus proche voisin du caractère à reconnaître.

```

procedure distance(harf:NomFich);
label 4,100,11,12;
var tab          :Base;
    dist         :array[1..nbrelet]of real;
    vect         :mom;
    d1,d2        :real;
    i,j,k,h      :integer;
    ha           :NomFich;
    dist_min     :real;
    dst,pb       :string;
    bom          :boolean;
begin  h:=1;
{***** lecture du nom du fichier moment à reconnaître *****}
11: lgr('le nom du fichier à reconnaître : ',harf);
{***** lecture du fichier moment et mise des valeurs dans VECT *****}
    lect_mom(harf,vect,test);if not(test) then
        begin
            efface(0);
            outtextxy(10,getmaxy-22,'Autre fichiers O/N :');
            4: case readkey of
                'o','O':goto 11;
                'n','N':goto 12;
                else goto 4;
            end;end;
{** Lecture de la base de données et mise des valeurs dans TAB **}
    lect_base('bas.dat',tab,test);
    for i:=1 to nbrelet do {X=nombre de caracteres}
        begin
            d2:=0;d1:=0;
            for j:=1 to 7 do {7=nombre de moments}
                begin
                    d1:=tab[i,j]-vect[j];
                    d2:=d2+sqr(d1);
                end;
            dist[i]:=sqrt(d2);
            end;
            dist_min:=dist[1];
            for i:=1 to 29 do
                begin if dist[i]<dist_min then begin h:=i;dist_min:=dist[i];end;end;
                str(dist_min,dst); str(h,pb);
                outtextxy(10,getmaxy-22,'dist/min = '+dst+'.position dans BD:'+pb);
                outtextxy(10,getmaxy-22,' Afficher la lettre resultat O/N :');
            100:case readkey of
                'o','O': begin dst:='a:\image\' +letre[h]+' .let';
                            chargeima(dst,imaout,bom);
                            case bom of
                                true:affima(imaout,i,j);end;end;
                'n','N':begin end;
                else goto 100;end;
            repeat until keypressed;
        12:end;

```

Cette procedure permet de calculer les sept moments à partir du contour d'une image.

```

procedure moment(var mo:nomfich);
label 1,2,3;
var mi:nomfich;
(*****)
function pu(a:real;b:real):real;
begin
  if a=0 then pu:=0
  else
    pu:= exp( b*ln(a));
  end;
(*****)
function pui(a:real):real;
begin
  pui:=a*a;
end;
(*****)
begin
  chargeima(mo,imain,bo);if bo=false then goto 2;
  efface(49);settextstyle(2,0,5);
  outtextxy(20,getmaxy-22,'Fichier :'+mo+'. Calcul en cours ...');

  (*****MOMENTS GENARALISES*****);

  for p:=0 to 3 do
    for q:=0 to 3 do
      begin
        m[p,q]:=0;
        for i:=0 to maxlin do
          for j:=0 to maxcol do
            begin
              if imain[i,j]<>0 then
                m[p,q]:=m[p,q] + pu(i,p)*pu(j,q);
            end;
          end;
        end;
        Xbar:=m[1,0]/m[0,0];
        Ybar:=m[0,1]/m[0,0];

        (*****MOMENTS CENTRES *****);
        u[0,0]:=m[0,0];
        u[1,0]:=0;
        u[0,1]:=0;
        u[2,0]:=m[2,0] - Xbar*m[1,0];
        u[0,2]:=m[0,2] - Ybar*m[0,1];
        u[1,1]:=m[1,1] - Ybar*m[1,0];
        u[3,0]:=m[3,0] - 3*Xbar*m[2,0] + 2*(Xbar*Xbar)*m[1,0];
        u[1,2]:=m[1,2] - 2*Ybar*m[1,1] - Xbar*m[0,2] + 2*(Ybar*Ybar)*m[1,0];
        u[2,1]:=m[2,1] - 2*Xbar*m[1,1] - Ybar*m[2,0] + 2*(Xbar*Xbar)*m[0,1];
        u[0,3]:=m[0,3] - 3*Ybar*m[0,2] + 2*(Ybar*Ybar)*m[0,1];

        (*****MOMENTS CENTRES NORMALISES*****);
        for p:=0 to 3 do
          for q:=0 to 3 do

```

```

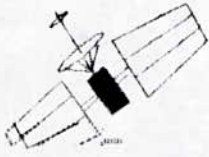
begin
  k:=(p+q)/2;
  if ((p+q)>1) then n[p,q]:=u[p,q]/(pu(u[0,0],k));
end;

```

```

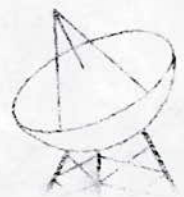
(*****MOMENTS INVARIANTS*****)
f[1]:=n[2,0]+n[0,2];
f[2]:=pui((n[2,0]-n[0,2])) + 4*pui(n[1,1]);
f[3]:=pui((n[3,0]-3*n[1,2])) + pui((3*n[2,1]+n[0,3]));
f[4]:=pui((n[3,0]+n[1,2])) + pui((n[2,1]+n[0,3]));
f[5]:=(n[3,0]-3*n[1,2])*(n[3,0]+n[1,2]) * ( pui((n[3,0]+n[1,2]))-3*
  pui((n[2,1]+n[0,3])) ) + (3*n[2,1]-n[0,3])*(n[2,1]+n[0,3]) *
  (3*pui((n[3,0]+n[1,2]))-pui((n[2,1]+n[0,3])) );
f[6]:=(n[2,0]-n[0,2])*(pui((n[3,0]+n[1,2]))-pui((n[2,1]+n[0,3])) )
  +4*n[1,1]*(n[3,0]+n[1,2])*(n[2,1]+n[0,3]);
f[7]:=(3*n[1,2]-n[3,0])*(n[3,0]+n[1,2]) * ( pui((n[3,0]+n[1,2]))-3*
  pui((n[2,1]+n[0,3])) ) + (3*n[2,1]-n[0,3])*(n[2,1]+n[0,3]) *
  (3*pui((n[3,0]+n[1,2]))-pui((n[2,1]+n[0,3])) );
repeat until keypressed;
end;

```



ANNEXE 2

PRISE EN MAIN DU LOGICIEL REALISE



La version du logiciel donné ,appelé *VISION 1.0*, et qui tourne sur IBM-PC et compatible a été écrite à l'aide du TURBO PASCAL 5.5/6.0.

Les fichier importants de vision 1.0 :

VISION.EXE : Principal fichier du logiciel.
**.CHR, *.BGI* : Pour la sélection du police d'écriture et du pilote graphique.
BASE.DAT : Constitue la base de données du système.
**.LET* : Fichiers contenant les 29 caractères de référence.
*GRAPHICS.** : Fichiers nécessaires pour l'impression.

La structure d'acceuil :

Sa présentation permet de visualiser trois parties distinctes :

* *Le menu des commandes principales* : Il affiche les commandes principales de *VISION 1.0* .

* *La fenêtre de sortie* : Elle permet de visualiser la sortie à l'écran.

* *La fenêtre des commentaires* : Elle permet de visualiser les commentaires, et d'introduire les données.

1. Le menu des commandes principales :

Le menu principal comporte sept commandes :

fichier Image Contour Filtre Binarisation Outil Vision

ficHier : Regroupe les opérations sur les fichiers (détruire, renommer) et les répertoires (affichage des fichiers du répertoire, changement du répertoire actif).

Image : Permet d'afficher et de créer une image, ainsi que l'affichage d'histogramme, l'affichage de texte et l'effacement de l'écran.

Contour : Permet de détecter le contour à l'aide des différents opérateurs.

Filtre : Effectue le filtrage de l'image à l'aide du filtre choisi, ainsi que l'introduction de bruit dans l'image.

Binarisation : Permet de réaliser la binarisation et les opérations morphologiques (dilatation, érosion) sur l'image.

Outil : Permet de réaliser les différentes similitude planes sur l'image (translation, rotation, homothétie) et les différentes symétries.

Vision : Regroupe les opérations concernant la reconnaissance (calcul, affichage des moments et la reconnaissance proprement dite), ainsi que l'impression de l'écran.

2. La fenêtre de sortie :

La fenêtre de sortie contient toutes les dernières sorties sur écran générées par les commandes exécutées. Une fois à l'intérieur de la fenêtre de sortie, vous pouvez déplacer le témoin en utilisant les touches du curseur gauche, droit, haut et bas. Une fois validée par <Return>, la position du témoin représente selon le cas le coin haut droit de l'affichage, ou l'un des coins de la fenêtre à effacer.

3. La fenêtre de commentaires :

Dés que vous exécutez une commande, des commentaires apparaissent sur cette fenêtre.

LES COMMANDES DU MENU PRINCIPAL :

Vous pouvez activer une commande du menu de trois manières :

- * Utilisez les touches du curseur, gauche et droite, pour vous positionner sur la commande sélectionnée. Validez en pressant la touche <Return>.

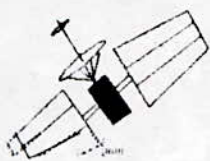
- * Tapez la lettre écrite en majuscule à la commande sélectionnée.

- * Maintenez la touche <Alt> et tapez la lettre écrite en majuscule à la commande sélectionnée.

L'utilisation du menu déroulant suppose la connaissance des deux remarques suivantes :

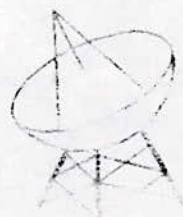
1. Pour choisir une option d'un menu déroulant quelconque, vous devez sélectionner avec les touches du curseur haut et bas avant de valider par <Return>.

2. Quelque soit le menu déroulant actif, pressez <Esc> pour revenir au menu immédiatement supérieur ou maintenez la touche <Alt> et tapez la lettre majuscule correspondant à la commande sélectionnée pour passer au menu déroulant de la nouvelle commande choisie.



ANNEXE 3

BIBLIOGRAPHIE



- [1] - D.H. Ballard and C.M. Brown; *"Computer vision"*; Prentice-Hall 1980.
- [2] - J.E. Besançon; *"Vision par ordinateur en deux et trois dimensions"*; Eyrolles 1988.
- [3] - S.A. Dudani et al; *"Aircraft identification by moments invariants"*; IEEE Trans. on Comput., Vol C-26 n°1, Jan 1977.
- [4] - R.C. Gonzalez et P.Wintz; *"Digital Image Processing"*; Addison-Wesley 1977.
- [5] - M.K Hu; *"Visual patten recognition by moments invariants"*; I.R.E Trans. inf. Theory, IT-8, Feb 1962.
- [6] - M. Kunt ,*"Traitement numérique des signaux"*; Dunod 1981.
- [7] - T. Lachand-Robert ,*"Graphisme en Turbo Pascal"*; Sybex 1988.
- [8] - J.J. Toumazet ,*"Traitement de l'image sur micro-ordinateur"*; Sybex 1989.